

Theoretische Physik VI: Statistische Physik - Theorie der Wärme

letzte Aktualisierung: 29.01.2008

1. Einführung in die Wahrscheinlichkeitstheorie 1
 - 1.1 Grundbegriffe und Axiome der Wahrscheinlichkeitstheorie 2
 - 1.2 Zufallsvariablen 5
 - 1.3 Verteilungsfunktionen 6
 - 1.4 Der zentrale Grenzwertsatz 9
 - 1.5 Zeitabhängige Zufallsvariablen 12
2. Klassische Statistische Physik 16
 - 2.1 Phasenraum & Liouville Theorem 16
 - 2.2 Mikrokanonisches Ensemble 20
 - 2.3 Kanonisches Ensemble 33
 - 2.4 Großkanonisches Ensemble 43
 - 2.5 Weitere Ensembles 49
3. Quantenstatistik 50
 - 3.1 Quantenzustände eines makroskopischen Systems 51
 - 3.2 Gleichgewichtsensembles 54
 - 3.3 Beispiele: Phononen in Festkörpern, Photonengas 61
 - 3.4 Das Prinzip der maximalen Entropie 71
4. Statistische Thermodynamik 76
 - 4.1 Grundbegriffe der Thermodynamik 76
 - 4.2 Die Hauptsätze der Thermodynamik 80
 - 4.3 Thermodynamische Potentiale & Identitäten 93
 - 4.4 Phasenübergänge 113
5. Ideale Quantengase 133
 - 5.1 Quantenmechanische Beschreibung von N -Teilchen-Systemen 134
 - 5.2 Großkanonische Zustandssumme 148
 - 5.3 Klassischer Grenzfall 153
 - 5.4 Entartete Fermi-Gase 155
 - 5.5 Bose-Einstein-Kondensation 161

6. Wechselwirkende Systeme

6.1 Störungstheorie

6.2 Reale Gase & Virialentwicklung

6.3 Molekularfeldnäherung

6.4 Ising-Modell

Woche	Datum	Themen
1	17.10. + 19.10.	Wahrscheinlichkeitstheorie, Zufallsvariablen, Verteilungsfunktionen, zentraler Grenzwert-Satz, zeitabhängige Zufallsvariablen
2	24.10. + 26.10.	Phasenraum & Liouville-Theorem, Ergodenhypothese, mikrokanonische Gesamtheit
3	31.10. + 2.11.	Ableitung der Thermodynamik aus mikrokanonischem Ensemble, Bsp. ideales Gas kanonische Gesamtheit: Maxwell-Verteilung, freie Energie, Energiefluktuationen, Äquivalenz von mikrokanonischem u. kanonischem Ensemble, Gleichverteilungssatz
4	7.11. + 9.11.	großkanonische Gesamtheit: Teilchenfluktuationen, Äquivalenz von mikrokanonischem u. großkanonischem Ensemble, Bsp.: ideales Gas, weitere Ensembles (NpT , SpN = Enthalpie u. freie Enthalpie) Quantenzustände, Dichteoperator, klass.-qm. Korrespondenz in der Statist. Physik, Quantenstatistik: mikrokanonisches Ensemble
5	14.11. + 16.11.	Quantenstatistik: kanonisches Ensemble, 3. Hauptsatz, großkanonisches Ensemble Beispiele: Wärmekapazität im Festkörper, Photonengas Prinzip der max. Entropie
6	21.11. + 23.11.	Prinzip der max. Entropie, Legendre-Transformation, Grundbegriffe der Thermodynamik: Zustandsgrößen, -fkt., -änderungen, vollständiges Differential, thermisches Gleichgewicht, 0. Hauptsatz, 1. Hauptsatz, Ehrenfest-Glg., statist. Interpretation von Wärme & Arbeit, Wärmekraftmaschinen
7	28.11. + 30.11.	2. Hauptsatz, Carnot-Kreisprozess, 3. Hauptsatz, Fundamentalrelation, thermodynamische Potentiale, Gibbs-Duhem-Relation
8	5.12. + 7.12.	Thermodynamische Antwortfunktionen, Maxwell-Relationen, thermische Stabilität, Phasenübergänge 1. Art, Bsp: van der Waals-Gas
9	12.12. + 14.12.	Mischungen, Klassifikation von Phasenübergängen, Ginzburg-Landau-Theorie, kritische Exponenten, Skalenhypothese
10	19.12. + 21.12.	de Broglie-Wellenlänge, Produktzustände, Symmetrisierung, Spin-Statistik-Theorem, 2. Quantisierung

Woche	Datum	Themen
11	9.1. + 11.1.	großkanonische Zustandssumme & großkanonisches Potential der idealen Quantengase, Fermi-Dirac-, Bose-Einstein-Kondensation, Boltzmann-Verteilungsfkt., Kontinuumsliches, klass. Grenzfall & Quantenkorrekturen, Fermi-Kugel, freies Elektronengas, Sommerfeld-Entwicklung
12	16.1. + 18.1.	ideales Fermi-Gas: $\mu(T)$, Wärmekapazität, Zustandsglg., Bose-Einstein-Kondensation: klass. & $T = 0$ -Grenzfall, Kontinuumsliches, kritische Temperatur, Kondensat-Anteil, BEC als Phasenübergang, Phasendiagramm, Zustandsglg., Wärmekapazität, Isothermen, Clausius-Clapeyron-Glg., Thermodyn. Potentiale
13	23.1. + 25.1.	Beschreibung von Wechselwirkungen, Störungstheorie, Virialentwicklung, klassische Näherung für $B_2(T, V)$ & Quantenkorrekturen, Interpolationsformeln, statist. Ableitung der van der Waals-Glg., Konvergenz der Virialentwicklung, analytische Fortsetzung der großkanonischen Zustandssumme, Sätze von Yang & Lee
14	30.1. + 1.2.	physikal. Konsequenzen der Sätze von Yang & Lee, Heisenberg-Modell, Molekularfeldnäherung + Klausur (1.2.)
15	6.2. + 8.2.	Ising-Modell
16	13.2. + 15.2.	... + Nachklausur (15.2.)

Statistik: Verwaltung d. Mangels an Info.
trotz unvollst. Informationen

→ Antwort auf persönliche Fragen

Stat. Physik = therm. Verhalten physik. System,
die quantenmech. verstanden sind

Maß f. Entomangel: Entropie

Boltzmann: Entropie \leftrightarrow Zahl der Zustände im System

(kin. Gastheorie) \rightarrow atom. Begründung d. Thermodyn.

Gliederung

- 1) Einführung in W.-keit Theorie
- 2) Klass. statist. Physik
- 3) Quantenstatistik
- 4) Stat. Thermodynamik
- 5) Ideale Quantengase
- 6) W.-Systeme, Phaseübergänge

I Einführung in WK-Theorie

1.0 Kombinatorik

1.1 Grundbegriffe u. Axiome d. WK-Theorie

Sei S die Menge aller mögl. Ergebnisse ω eines Exp.

S : Ergebnismenge (sample space) $S = \{\omega_i\}$

ω_i schließen sich gegenseitig aus

Die Menge S soll vollst. sein: $\bigcup \omega_i = S$

A sei eine Untermenge von S : A heißt "Ereignis"
(event)

\bar{A} sei das Komplement von A u. ist die Menge aller Elemente die nicht $\in A$ sind.

Der Ereignisraum F ist die Menge der Teilmengen von S , für die folgende Bedingungen gelten

- $S \in F$
- $A \in F \Rightarrow \bar{A} \in F$
- $A_i \in F \Rightarrow \bigcup A_i \in F$

Dies impliziert:

- $\emptyset \in F$
- $A, B \in F \Rightarrow A \cap B \in F$ (wg. $A \cap B = \overline{\bar{A} \cup \bar{B}}$)

Kolmogorow - Axiome

- (1) $\forall A \in \mathcal{F}$ ist die Wk eine reelle Zahl $0 \leq P(A) \leq 1$
- (2) Das sichere Ereignis hat die Wk 1
- (3) $P(\cup_i A_i) = \sum_i P(A_i)$ " σ -Additivität"

Diese Eigenschaft macht aus \mathcal{F} eine σ -Algebra

(S, \mathcal{F}, P) heißt Wahrscheinlichkeitsraum

Erweiterung von (3) auf nicht disjunkte Ereignisse

$$P(A \cup B) = P(A) + P(B) - P(A \cap B)$$

Bedingte Wahrscheinlichkeit und Unabhängigkeit

Die Wk für das Auftreten eines Ereignisses B unter der Voraussetzung, dass das Eintreten von A bekannt ist, heißt bedingte Wk (conditional probability)

$$P(B|A) = \frac{P(A \cap B)}{P(A)}$$

$P(A \cap B)$ gemeinsame Wk (joint probability)

Zwei Ereignisse sind unabhängig voneinander, falls

$$P(B|A) = P(B)$$

$$\Leftrightarrow P(A \cap B) = P(A) \cdot P(B)$$

Frequenz - Interpretation

N Experimente, # Auftrete von $A, B, A \cap B$:

$N_A, N_B, N_{A \cap B}$, falls $N \gg 1$

$$P(A) \approx \frac{N_A}{N} \quad P(B) \approx \frac{N_B}{N}$$

$$P(A \cap B) \approx \frac{N_{A \cap B}}{N}$$

$$\rightarrow P(B|A) = \frac{P(A \cap B)}{P(A)} \approx \frac{N_{A \cap B}}{N_A}$$

\rightarrow WK gibt relative Häufigkeit an

Partitionstheorem

and: Gesetz d. vollst. WK

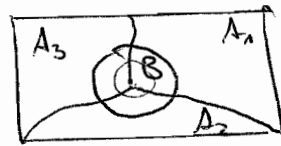
Sind die Ereignisse A_1, \dots, A_n paarweise disjunkt

($A_i \cap A_j = \emptyset \forall i \neq j$) und

spannen das sichere Ereignis auf ($S = \cup_i A_i$),

dann gilt für ein bel. $B \in S$

$$P(B) = \sum_{i=1}^n P(B|A_i) P(A_i)$$



Satz von Bayes

$$P(B \cap A_i) = P(B|A_i) P(A_i) = P(A_i|B) P(B)$$

$$\Rightarrow P(A_i|B) = P(B|A_i) \frac{P(A_i)}{P(B)}$$

$$\Rightarrow P(A_i|B) = P(B|A_i) \frac{P(A_i)}{\sum_j P(B|A_j) P(A_j)}$$

5
Verständbarkeit d. Bedingung einer WK

1.2 Zufallsvariable (random variables)

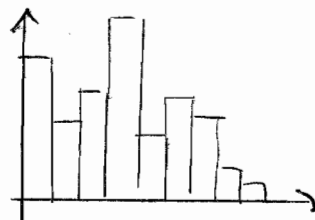
Sei $\omega \in S$ ein Ereignis. Dann ist eine Zufallsvar.
 $X, X: S \rightarrow \mathbb{R}^+$ die Zuordnung einer reellen Zahl
zu $\omega \in S \quad x = X(\omega)$

$$(\omega_1, \omega_2, \dots) \xrightarrow{X} (x_1, x_2, \dots)$$

$$P_i = P(x_i) = P(X = x_i) \quad \text{Zähldichte}$$

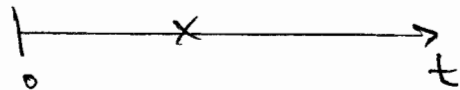
$$0 \leq P_i \leq 1 \quad \sum_i P_i = 1$$

$\{x_i, P(x_i)\}$ heißt WK-Verteilung



Histogramm

Bsp.: Ausfall einer Glühlampe (kontinuierlich)



WK lässt sich nicht für einen Zeitpunkt definieren,
sondern nur für ein Intervall

\Rightarrow WK - Dichteverteilung
(probability density)

Bedingungen:

(1) ~~$0 \leq p(x) \leq 1$~~ $p(x) \geq 0 \quad \forall x$ $p(x)$ stückweise stetig

(2) $P(x_1 < X < x_2) = \int_{x_1}^{x_2} p(x) dx$

(3) $\int_{-\infty}^{+\infty} p(x) dx = 1$

$p(x) dx = \text{Wk, dass } X \in [x, x+dx]$

Kumulative Verteilungsfunktion (distribution fct.)

$$F(x) = P(X \leq x) = \int_{-\infty}^x p(y) dy$$

1.3 Verteilungsfunktionen - Momente

(a) Mittelwert $E(X) = \langle x \rangle = \sum_i x_i p(x_i)$
 $= \int_{-\infty}^{+\infty} x p(x) dx$

(b) Varianz (Standardabweichung)
 σ^2

$$\text{Var}(X) = \sigma^2 = \langle (x - \langle x \rangle)^2 \rangle$$

$$= \sum (x_i - \langle x \rangle)^2 p(x_i)$$

$$= \int_{-\infty}^{+\infty} (x - \langle x \rangle)^2 p(x) dx$$

(c) höhere Momente

\Rightarrow hergeleitet über "erzeugende Funktion"

Erzeugende Fkt

$E(X^r)$ = r-tes Moment der ZVX

$$e^{tx} = 1 + tx + \frac{1}{2!} (tx)^2 + \frac{1}{3!} (tx)^3 + \dots$$

$M_x(t) = E(e^{tx})$ Momente erzeugende Fkt

$$\begin{aligned} M_x(t) &= E(1 + t \cdot X + \frac{1}{2!} (t \cdot X)^2 + \dots) \\ &= \sum_{r=0}^{\infty} \frac{1}{r!} t^r E(X^r) \end{aligned}$$

$$M'_x(0) = \left. \frac{d}{dt} M_x(t) \right|_{t=0} = E(X)$$

$$M''_x(0) = E(X^2)$$

$$\sigma^2 = M''(0) - [M'(0)]^2 = \langle X^2 \rangle - \langle X \rangle^2$$

höhere Momente über höhere Ableitungen

Binomial-Verteilung

ZV mit 2 Ergebnisse $S = \{0, 1\}$

2-Maliges Werfen einer Münze \rightarrow mögl.

Ergebnisse ($\{0, 1\} \rightarrow \sum \{1, 2\}$)

kkk		p^3	1
kkz	kzk	zkk	$3 p^2 q$
zzk	zkk	kzz	$3 p q^2$
zzz		q^3	1
		wk	Vierfachheit

Allgemein: $P_N(m, n) = \binom{N}{m} p^m q^{N-m}$

\uparrow # Erblege \uparrow # Misserfolge \uparrow wk eine spez. Sequenz

Eigenschaften

$$\sum_{m=0}^N P_n(m, n) = (p+q)^N = 1$$

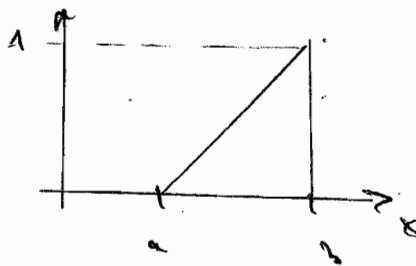
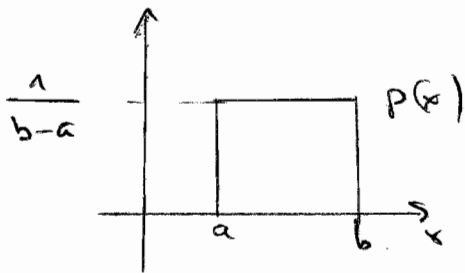
↑
binom.
Formel

$$\langle m \rangle = Np \quad \langle m^2 \rangle - \langle m \rangle^2 = Npq$$

$$\frac{\text{Var}(m)}{\langle m \rangle} = \sqrt{\frac{q}{p}} \frac{1}{\sqrt{N}} \xrightarrow{N \rightarrow \infty} 0$$

Gleichverteilung

Konstante Dichte



Def. Unabhängigkeit

$$P(B|A) = P(B) \Leftrightarrow P(A \cap B) = P(A) \cdot P(B)$$

Bsp: Würfel gerade / ungerade

gauß-Verteilung

$$P(x) = \frac{1}{\sqrt{2\pi\sigma^2}} e^{-\frac{(x-x_0)^2}{2\sigma^2}}$$

Bsp: Meßfehler, Brownsche Bewegung (random walk)

19.10.07

1.4. Der zentrale Grenzwert-Satz (Central Limit Theorem)

Zusammenspiel vieler Einzelergebnisse

Bsp. Druck ($N \sim 10^{23}$), Börsenkurs, telt. Verschreibung

Seien X_1, \dots, X_N unabh. Zufallsvariable in identische
Wk.-Dichte $p(x_1) \dots p(x_N)$, deren Erwartungswert
u. Standardabweichung ex. und endl. sind

$$Y_N = X_1 + X_2 + \dots + X_N \quad N\text{-te Teilsumme}$$

$$E(Y_N) = N \cdot E(X) \quad ; \quad E(X) = \langle X \rangle$$

$$\text{Var}(Y_N) = N \cdot \text{Var}(X) \quad ; \quad \text{Var}(X) = \langle (X - \langle X \rangle)^2 \rangle$$

"Standardisierung" von Y_N :

$$Z_N = \frac{Y - NE(X)}{\sqrt{N}} = \frac{\sum_{i=1}^N (X_i - \langle X \rangle)}{\sqrt{N}}$$

GW-Satz:

Für $N \rightarrow \infty$ geht die Verteilung von Z_N gegen eine
Gaußverteilung

Bew.: nachzulesen in Schwabe Kap. 1.2.2

Bsp:

- System mit N Teilchen
 x_i : Energie der Einzelt. $\rightarrow Y$ Gesamtenergie
- Brownsche Bewegung
 x_i : Zuwachs beim i -ten Schritt $\rightarrow Y$ Position
nach N Schritten

Bemerkungen zum GS:

- gilt auch für schwach korrelierte ZV
- gilt auch für verschiedene wK-Dichte $p_i(x_i)$, wenn $\text{Var}(x_i)$ von derselben Größenordnung
- für endl. N keine Aussage über Flügel der Verteilung.

Aussage nur über "Zentrum" durch Gauß-V
geklärt

Zentrum: Region der Breite σ um $\langle Y \rangle$

"CLT = Paradigma für koll. Phänomene"

d.h. Zusammenspiel von vielen ZV führt zu einem globalen Verhalten der Summe. Dieses globale Verhalten ist zugleich einfach und universell

Momentengenerierende Funktion u. charakt. Funktion (vgl. ob)

n -tes Moment: $m_n^X := E(X^n) = \langle X^n \rangle$

$$m_1^X = E(X); m_2^X = \text{Var}(X) + (E(X))^2$$

$$M_X(t) := \langle e^{tX} \rangle = E(e^{tX}) = E\left(\sum \frac{X^n}{n!}\right)$$

$$= \sum \frac{X^n}{n!} E(X^n) = \sum_{n=0}^{\infty} \frac{t^n}{n!} m_n^X$$

→ Momente durch Able. $\frac{\partial^k}{\partial t^k} M_X(t) = E(X^k) = m_k^X$

≠ Jede wK-Dichte ist durch Angabe aller nichtversch. Momente vollst. bestimmt

Zusammenhang mit charakt. Fkt:

$$M_X(t) = \langle e^{tX} \rangle \Leftrightarrow g_X(t) = \langle e^{itX} \rangle$$

charakt. Fkt.

für kont. ZV $g_X(t) := \int_{-\infty}^{\infty} e^{itx} p(x) dx$

Fouriertransformierte von $p(x) = \frac{1}{2\pi} \int_{-\infty}^{\infty} e^{-itx} g_X(t) dt$

da $M_X(t) = g_X(-it)$

$$m_n^X = (-i)^n \frac{\partial^n}{\partial t^n} g_X(t) \Big|_{t=0}$$

alternative Bestimmung
der Momente

\Rightarrow charakt. Fkt kann als Reihe geschw. werden

$$g_X(t) = \sum_{n=0}^{\infty} \frac{(it)^n}{n!} m_n^X$$

Kumulanten

k. erklären, warum es sinnvoll ist, die charakt. / Verteilungsmomente. Fkt einzuführen

$$c_n^X := (-i)^n \frac{\partial^n}{\partial t^n} \ln g_X(t) \Big|_{t=0}$$

$$\ln(g_X(t)) = \sum \frac{(it)^n}{n!} c_n^X$$

$$c_1^X = \langle X \rangle = m_1^X$$

$$c_2^X = \text{Var}(X) = m_2^X - (m_1^X)^2$$

$$c_3^X = m_3^X - 3m_2^X m_1^X + 2(m_1^X)^3$$

Gauß-Verteilung: $c_n = 0 \quad \forall n \geq 3$

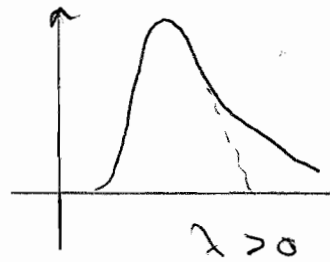
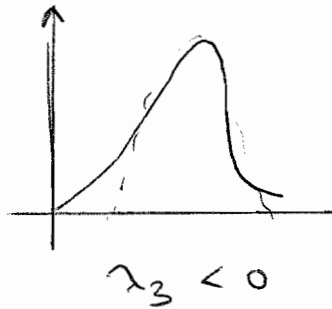
$$g_{X \text{ Gauß}}(t) = e^{i \langle X \rangle t - \frac{1}{2} \sigma^2 t^2}$$

Kumulanten der Ordnung größer $n=2$ geben ein Maß für die Abweichung von einer Gauß-Verteilung.

Charakteristika v. Verteilg.

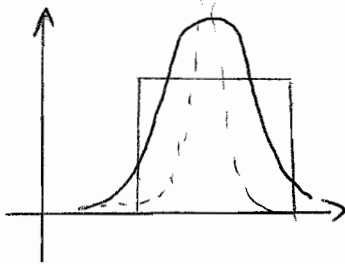
$$\lambda_3 := \frac{C_3}{\sigma^3} = \frac{C_3}{\sigma^{3/2}}$$

"Schiefe"
(Skewness)



$$\lambda_2 = \frac{C_4}{\sigma^2}$$

"Wölbung"
(excess kurtosis)



Gaußvt. : $\lambda_2 = 0$

gl.-vt. : $\lambda_2 < 0$

hyperbol. Schenkeltvt. : $\lambda_2 > 0$

1.5 Zeitabhängige Zufallsvariable

$X(t)$ diskrete Zeitschnitt t_i

Sequenz von ZV $\{X(t_i), i=1, \dots\} = \{X_1, X_2, \dots\}$

"Stochastischer Prozess"

Ein stoch. Prozess ist definiert durch Sequenz von

Wk-Verten:

- $p_1(x_1, t)$

Wk-Dichte, dass x zur Zeit vorliegt

- $p_2(x_2, t_2 | x_1, t_1)$

Wk-Dichte (bedingt), dass x_2 zu t_2 eintritt, wenn x_1 zu t_1 vorliegt

$$- P_n(x_n, t_n | x_{n-1}, t_{n-1}, x_{n-2}, t_{n-2}, \dots, x_1, t_1) \quad \forall n \geq 3$$

id. ∞ viele GröÙen \rightarrow vereinfachende Annahme

$$\text{z.B. } P_n(x_n, t_n | x_{n-1}, t_{n-1}, \dots, x_1, t_1)$$

$$= P_2(x_n, t_n | x_{n-1}, t_{n-1})$$

"Markov-Näherung" : Wk hängt nur von letztem Zustand ab

Wenn die Näherung gerechtfertigt ist, heißt der Prozess "Markov-Prozess" o. "gedächtnisloser Prozess"

z.B.

$$P_3(x_3, t_3; x_2, t_2; x_1, t_1) = P_3(x_3, t_3 | x_2, t_2, x_1, t_1) \quad (*)$$

$$\cdot P_2(x_2, t_2 | x_1, t_1)$$

$$= P_2(x_3, t_3 | x_2, t_2)$$

$$\cdot P_2(x_2, t_2 | x_1, t_1)$$

$$\cdot P_1(x_1, t_1)$$

$P_2(x', t' | x, t)$ u. $P_1(x, t)$ bestimmen Markov-Prozess vollständig

$P_2(x', t' | x, t)$ ist die Übergangswahrscheinlichkeit (transition probability)

Aus diesen Ausdrücken (~~$P_3(x_3, t_3)$~~) *

lässt sich die Chapman-Kolmogorov-Gleichung ableiten

14
 $\int (x) dx_2$: Integriere g (*) über x_2

dann teilen durch $P_1(x_1, t_1)$

$$P_2(x_3, t_3 | x_1, t_1) = P_1(x_1, t_1) \int dx_2 P_2(x_3, t_3 | x_2, t_2) P_2(x_2, t_2 | x_1, t_1)$$

$$\rightarrow \boxed{P_2(x_3, t_3 | x_1, t_1) = \int dx_2 P_2(x_3, t_3 | x_2, t_2) \cdot P_2(x_2, t_2 | x_1, t_1)}$$

Chapman - Kolmogorov - Gsg.

Analog für $P_1(x_3, t_3)$:

multipl. mit $P_1(x_1, t_1)$ und integriere über x_1

$$P_1(x_3, t_3) = \int dx_2 P_2(x_3, t_3 | x_2, t_2) \cdot P_1(x_2 | t_2)$$

Ziel der Überlegung: Differentialgl. für die Wahrscheinlichkeiten

Master - Gleichung

$$(1) P_1(x, t + \tau) = \int dx' P_2(x, t + \tau | x', t) \cdot P_1(x', t)$$

$$(2) \frac{d}{dt} P_1(x, t + \tau) = \lim_{\tau \rightarrow 0} \frac{P_1(x, t + \tau) - P_1(x, t)}{\tau}$$

wir entwickeln $P_2(x, t + \tau | x', t)$ in Taylor-Reihe,
sodass $\int dx' P_2(x, t | x', t) = 1$ für jede Ordnung
von τ

$$P_2(x, t + \tau | x', t) \xrightarrow{\tau \rightarrow 0} \delta(x - x')$$

Wk f. Übergang x' in belzst y in Zeit

$$(3) P_2(x, t + \tau | x', t) = \delta(x-x') - \tau \int \text{Solg } w(y, x', t) \\ \cdot \delta(x-x') + \tau \underbrace{w(x, x', t)}_{\text{Wk f. Übergang } x' \rightarrow x \text{ in } \tau} + o(\tau^2)$$

$w(x, x', t)$: Übergangs-Wk : Dichte pro Zeiteinheit
 \Rightarrow Übergangsrate

(3) \rightarrow (1) u. (1) \rightarrow (2) Gleichungen einsetzen

$$\frac{\partial}{\partial t} P_1(x, t) = \int dx' \left[\overset{\textcircled{1}}{w(x, x', t)} P_1(x', t) - \overset{\textcircled{2}}{w(x', x, t)} P_1(x, t) \right]$$

Master-Gleichung

Änd. der Wk-Dichte

$\textcircled{1}$ Übergänge nach x
aus allen x'

$\textcircled{2}$ Übergänge aus x
in alle x'

Zutluss

Abfluss

26.10.07

Für diskrete Zustände : $x \rightarrow n$

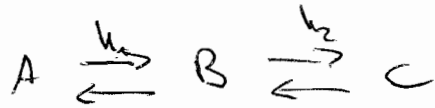
$$\frac{\partial}{\partial t} P_n(t) = \sum_{n'} [w_{nn'}(t) P_{n'}(t) - w_{n'n}(t) P_n(t)]$$

Beispiele für Markov Prozesse:

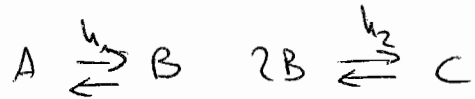
- radioaktiver Zerfall: Wk, dass eins von n Teilchen in dt zerfällt: $\gamma_n dt$

$$\frac{\partial}{\partial t} P_n(t) = \gamma(n+1) P_{n+1} - \gamma^n P_n \quad \text{Einstufiger Prozess}$$

chem. Reaktionen



$$\frac{d}{dt} P_n = k_1 N_n (P_{n-1} - P_n) + k_2 N (P_{n+1} - P_n)$$



$$\frac{d}{dt} P_n = k_1 N (P_{n-1} - P_n) + k_2 (N(N-1)) (P_{n+2} - P_n)$$

2. Klassische Statistische Physik

allesysteme sollen den Gesetzen der klass. Mech. gehorchen

2.1 Phasenraum u. Liouville-Theorem

N klass. Massepunkte

$$\vec{x}_N = (p_1, \dots, p_{3N}; q_1, \dots, q_{3N}) \quad 6N\text{-Phasenraum}$$

$$H(q_1, \dots, q_{3N}, p_1, \dots, p_{3N})$$

Hamilton Fkt.

$$\text{z.B.: } H = \sum_i \frac{p_i^2}{2m} + U(q_1, \dots, q_{3N})$$

$$\text{Bewegungsgl. } \dot{p}_i = -\frac{\partial H}{\partial q_i}$$

$$\dot{q}_i = \frac{\partial H}{\partial p_i}$$

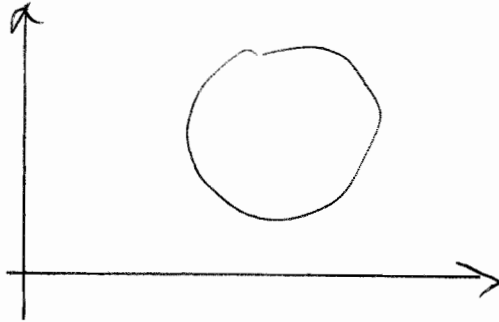
für observable $A(x_N(t), t)$

$$\frac{d}{dt} A = \{H, A\} + \frac{\partial A}{\partial t} \quad ; \quad \{H, A\} = \sum \left(\frac{\partial A}{\partial q_i} \frac{\partial H}{\partial p_i} - \frac{\partial A}{\partial p_i} \frac{\partial H}{\partial q_i} \right)$$

H sei zeitunabhängig: $H(\dots) = E$

$$\rightarrow H(\dots) = E$$

Bewegungsgleichungen sind invariant unter Zeitumkehr



Fläche $H=E$

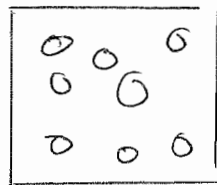
„Energieschale“

F : Integral d. Bewegung

System heißt integrabel, wenn es $3N$ Integrale der Bewegung gibt

aber: Systeme der statistischen Physik sind nicht integrabel

Bsp.:



Moleküle

$N > 2$ Billardkugeln (hard spheres) im Kasten sind chaotisch

Phasenraum wird wkt.-Dichte zugeordnet

$$\rho(\vec{x}_N, t)$$

mit

$$\int d\vec{x}_N \rho(\vec{x}_N, t) = 1$$

Wkt, das System in Region R zu finden

$$P(R, t) = \int_R d\vec{x}_N e(\vec{x}_N, t)$$

$e(\vec{x}_N, t)$ = Wkt-Dichte einer Menge von Part.

im Phasenraum

Liouville - Theorem

$$\frac{d}{dt} e(\vec{x}_N, t) = \frac{\partial}{\partial t} e(\vec{x}_N, t) + \{H, e(\vec{x}_N, t)\} = 0$$

Wkt ist erhalten: Änd. nur durch Fluss durch OF von V_0

$$\begin{aligned} \frac{d}{dt} P &= \int_{V_0} \frac{de}{dt} d\vec{x}_N \\ &= - \oint_{S_0} e \dot{\vec{x}} dS_N \end{aligned}$$

$$\begin{aligned} \stackrel{\text{Grenzf}}{=} & - \int_{V_0} \nabla_{\vec{x}_N} (e \vec{x}_N) d\vec{x}_N \\ \nabla_{\vec{x}_N} &= \left(\frac{\partial}{\partial q} - \frac{\partial}{\partial p_{3N}} + \frac{\partial}{\partial q_1} - \frac{\partial}{\partial q_{3N}} \right) \end{aligned}$$

→ Phasenraumdichte $\hat{=}$ inkompressible Flüssigkeit

Beweis: ... ("Reversibilität")

□

NB: $\{H, f(H)\} = 0 \rightsquigarrow \frac{\partial f}{\partial t} = 0$ stationär

Ergodenhypothese

geg: bel. physik. Systeme mit $H = E$

→ welche Art. auf Energieschalen werden von Traj. berücksichtigt?

1. Versuch: Boltzmann

Die Traj. eines Systems durchläuft jeden Punkt im Phasenraum, der äußere Zwänge genügt

→ Zeitmittelg. im Phasenraum

→ nicht haltbar

2. Versuch: Quasi-Ergodenhypothese:

→ kommt jeder Punkt beliebig nahe

Zeitmittelung entlang Trajektorie = Phasenraummitte auf Energieschale

Zeit, die in einem Segment des Phasenraums verbracht wird, ist gleich dem Anteil dieses Segment an Gesamtphasenraum: Zeitanteil $\hat{=}$ Raumanteil

Sinn für Stat. Mech: Zeitmittelung kann durch Mittelg. über Ensemble ersetzt werden

Wk, System in R zu finden.

$$P(R_E) = \frac{1}{\Sigma(E)} \int_R d\vec{S}_F = \frac{\Sigma(R)}{\Sigma(E)}$$

→ normierte Wk - Dichte

$$\boxed{e(\vec{x}_N, S_E) = \frac{1}{\Sigma(E)}} \quad \begin{array}{l} \text{mikrokan. Ensemble (Gibbs)} \\ \text{stationär} \end{array}$$

alle Zustände auf Energieschale gleichwahrsch.

2.2. Das mikrokanonische Ensemble

Def. 2.2
Näherg. 2
S. 3

geg: isoliertes, makrosk. System mit N, V fest und

Energie in $[E, E + \Delta E]$, $\Delta E \ll E$

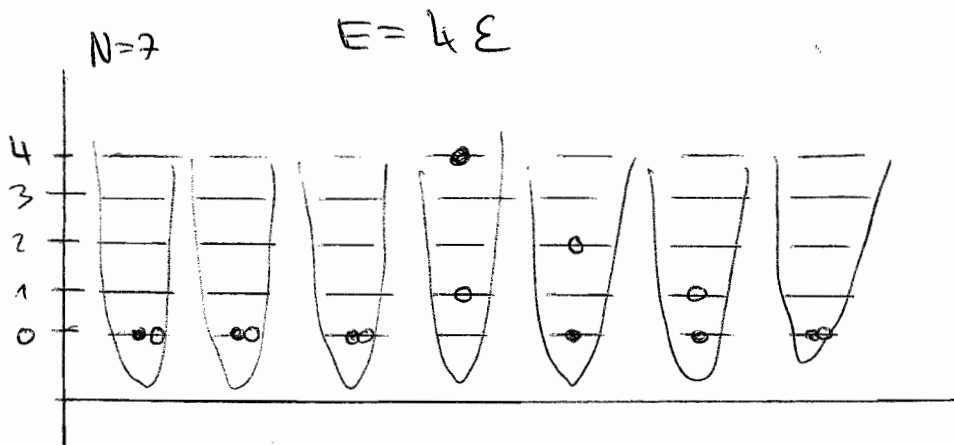
→ \hookrightarrow viele Mikrozustände des Systems erfüllen
makroskop. Beding

gesucht: Verteilungsfunktion

Postulat d. gleichen Wk: Alle Mikrozustände,
die die makroskopische Bed. erfüllen, sind gleich
wahrscheinlich

$$e(\vec{x}_N) = \begin{cases} e_0 & \text{falls } E < H(\vec{x}_N) < E + \Delta E \\ 0 & \text{sonst} \end{cases}$$

$$\int_V d\vec{x}_N e(\vec{x}_N) = 1 \quad \rightarrow e = \frac{1}{\Sigma(E)}$$



Zur Klausur-
lösung:
Diskrete
Zustände

- 7-mal
- $\frac{7!}{4!2!1!} = 105$ mal

$$\frac{2!}{4!3!} = 35 \text{ mal}$$

$$\frac{2!}{5!1!1!} = 42 \text{ mal}$$

$$\Sigma = 189$$

Klassische Mechanik: Kontinuierliche Zustände: $\Sigma \Rightarrow \int$

zur Notation

$$\Sigma(E) = \int_{\text{Ost.-Int}} d\vec{S}_E = \int_V d\vec{x}_N \delta(H(\vec{x}_N) - E) \quad \text{Fläche d. Energieschale}$$

$$\Omega(E) = \int_{H \leq E} d\vec{x}_N = \int_0^E dE' \Sigma(E') \quad \text{Volumen f. } H \leq E \\ \text{auch: } \varphi(E)$$

$$\Omega_{\Delta E}(E) = \Sigma(E) \Delta E$$

$\Gamma(E)$ Nützlich
 $\bar{\Omega}$ $\Omega(E)$ Schwach

$$\Delta E \rightarrow 0 : \frac{d\Omega}{dE} = \lim_{\Delta E \rightarrow 0} \frac{1}{\Delta E} \Sigma(E) = D(E)$$

Mittel Erwartungswerte

$$\langle A \rangle = \int d\vec{x}_N A(\vec{x}_N) e^{-\beta H(\vec{x}_N)}$$

Bsp: klass ideale Gase in Vol. V

$$H = \sum_{i=1}^N \frac{\vec{p}_i^2}{2m} \rightarrow k\text{-dim Kugel}$$

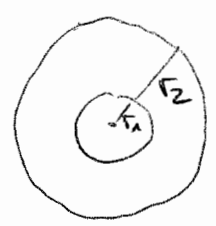
$$\Omega(E) = \int_{H \leq E} d\vec{x}_N = \underbrace{\int d\vec{q}_i \dots d\vec{q}_{3N}}_{V^N} \cdot \underbrace{\int_{\sum \vec{p}_i^2 \leq 2mE} d\vec{p}_{3N}}_{V_k}$$

$$\int_{-\infty}^{\infty} dx_1 \dots dx_k e^{-\sum_{i=1}^k x_i^2} = \int_0^{\infty} dr A_k(r) e^{-r^2} \rightarrow \text{Nebsting Aufg. 1.3.1}$$

$$V_k = \frac{(\pi R^2)^{k/2}}{\Gamma(\frac{k}{2} + 1)}$$

Volumen k-dimensionaler Kugel

Betrachtung hochdimensionaler Kugeln



$r_1 = r_2$ (Teilung 50%)

k	Anteil d. Innenkugel	Außenkugel
k=1	50%	50%
k=2	25%	75%
k=3	17,5%	82,5%
...
k=10	0%	100%

Für sehr große Dimensionen ist das gesamte Volumen unmittelbar unter der Oberfläche

$$\Rightarrow \Omega(E) \simeq \Omega_{\Delta E} \quad (\text{s. Notation})$$

Vol \Leftrightarrow obfe.

$$\Omega(E) = V^N \cdot \frac{(\pi R^2)^{3N/2}}{\Gamma(\frac{3}{2}N+1)} \quad R^2 = 2mE = V^N \cdot \frac{(2mE)^{3N/2}}{\Gamma(\frac{3}{2}N+1)}$$

$$\begin{aligned} \Omega(E) &\sim V^N E^{3N/2} \\ D(E) &\sim V^N \cdot E^{3(N-1)/2} \end{aligned} \quad \left. \vphantom{\begin{aligned} \Omega(E) \\ D(E) \end{aligned}} \right\} \text{keine Unterschied bei } 10^{23}$$

Phasenraum-Vol \Leftrightarrow Zählen von Zuständen

\Rightarrow Phasenraum-Vol soll dimensionslos gemacht werden (mit konstante C_N)

Statistisches Gewicht

$$W(E) := C_N \Omega(E)$$

C_N ist klassisch nicht bestimmbar

$$C_N = \frac{1}{h^{3N}}$$

$$C_N = \frac{1}{h^{3N} \cdot N!}$$

1. unterscheidbare Teilchen
(Atome in Kristallgitter)

2. ununterscheidbare Teilchen
(Atome in Gasphase)

$\frac{1}{h^{3N}}$: klass. Stat. = Grenzf. d. QM Stat.

$\frac{1}{N!}$ weil kein Vertausche kein neuer Zustand aufsteht

$$\Delta q \Delta p \geq h$$

$\rightarrow h^{3N}$ ist das kleinste QM sinnvolle Volumen (Phasenraumvolumen)

(klass. $N!$ Zustände zu viel gezählt)

Gibbsches Paradoxon

N	N
m_A	m_B
V	V

$$m_A \neq m_B$$

$$S = S_A + S_B + \boxed{S_m}$$

$$m_A = m_B$$

$$S = 2S_A \text{ Extensivität}$$

d.h. Mischungsentropie identischer Teilchen = 0

Entropie

Nach Boltzmann:

$$S := k_B \ln(\Omega(E))$$

$$k_B = 1,38 \cdot 10^{-23} \frac{J}{K}$$

Wahl k_B prinzipiell beliebig, hier gewählt damit sich aus S in den richtigen Einheiten die Temperatur abgeleitet werden kann

Extensivität:

$$S(mE, mN, mV) = m \cdot S(E, V, N)$$

$$S(E, N, V) = S(E_1, N_1, V_1) + S(E_2, N_2, V_2)$$

$$\text{da } \Omega_N(E, V) = \Omega_{N_1}(E_1, V_1) \cdot \Omega_{N_2}(E_2, V_2)$$

$$\text{mit } \ln \Rightarrow \text{Addition } [\ln(A \cdot B) = \ln(A) + \ln(B)]$$

Die Zustände aus Teilsystem 1 können mit allen Zuständen aus Teilsystem 2 kombiniert werden.

Temperatur

Temperatur ist intensive Größe

2 Teilsysteme mit therm. Kontakt (= Energieaustausch)

$$N_i, V_i \text{ const.} \quad E < E_1 + E_2 < E + 2\Delta E$$

Energie - Sampling

$$\Omega_N = \sum_{m=0}^{E/\epsilon} \Omega_{N_1}(m\epsilon) \cdot \Omega_{N_2}(E - m\epsilon) \quad (*)$$

Verteilung der Energie auf Teilsysteme

(mit jeder Term der Summe wird ϵ von 1 auf 2 übertragen)

$$E_1 = m\epsilon \quad E_2 = E - m\epsilon$$

$$\Omega_{N_1}(\tilde{E}_1) \cdot \Omega_{N_2}(\tilde{E}_2) \quad \text{größter Term in } \sum \text{ in } (*)$$

\tilde{E}_1, \tilde{E}_2 wahrscheinlichste Energie

$$\Omega_{N_1}(\tilde{E}_1) \cdot \Omega_{N_2}(\tilde{E}_2) \leq \underline{\Omega(E)} \leq \frac{E}{\epsilon} \Omega_{N_1}(\tilde{E}_1) \cdot \Omega_{N_2}(\tilde{E}_2)$$

Ungleichung für Entropie durch logarithmieren

$$k_B \ln [c_{N_1} c_{N_2} \Omega_{N_1}(\tilde{E}_1) \cdot \Omega_{N_2}(\tilde{E}_2)] \leq \underline{S(E)} \leq k_B \ln [c_{N_1} c_{N_2} \Omega_{N_1}(\tilde{E}_1) \Omega_{N_2}(\tilde{E}_2)] \\ + k_B \ln \left[\frac{E}{\epsilon} \right]$$

$S \sim N$ da S extensiv

$E \sim N$ da E extensiv

\tilde{E}_1 u. \tilde{E}_2 maximiere $\Omega_{N_1}(E_1) \cdot \Omega_{N_2}(E_2)$ unter Bed. $E = E_1 + E_2$

Formulierung als Variationsprinzip:

$$d[\Omega_{N_1}(E_1) \cdot \Omega_{N_2}(E_2)] = 0 \quad \text{mit} \quad d(E_1 + E_2) = 0 \quad (*)$$

Interpretation: Der Gleichgewichtszustand zweier Teilsysteme, die Energie austauschen können, ist der wahrscheinlichste Zustand des Gesamtsystems (d.h. des isolierten Gesamtsystems).

1. Situation

Ausschleichen von (*):

$$d[\Omega_{N_1}(E_1) \cdot \Omega_{N_2}(E_2)] = \frac{\partial \Omega_{N_1}}{\partial E_1} \Omega_{N_2} dE_1 + \Omega_{N_1} \frac{\partial \Omega_{N_2}}{\partial E_2} dE_2 \quad \Bigg| \cdot \frac{1}{\Omega_{N_1} \Omega_{N_2}}$$

$$\Leftrightarrow 0 = \frac{1}{\Omega_{N_1}} \frac{\partial \Omega_{N_1}}{\partial E_1} dE_1 + \frac{1}{\Omega_{N_2}} \frac{\partial \Omega_{N_2}}{\partial E_2} dE_2 \quad \Bigg| \text{Ableitungsregel nicht wärts}$$

$$\Leftrightarrow 0 = \frac{\partial \ln \Omega_{N_1}}{\partial E_1} dE_1 + \frac{\partial \ln \Omega_{N_2}}{\partial E_2} dE_2$$

$$\rightarrow \frac{\partial S_1}{\partial E_1} \Big|_{E_1 = \tilde{E}_1} = \frac{\partial S_2}{\partial E_2} \Big|_{E_2 = \tilde{E}_2}$$

Die makroskopischen Teilsysteme eines isol. Gesamtsystems haben dieselbe Temp.

$$\frac{1}{T} := \frac{\partial S(E)}{\partial E}$$

"o. Hauptsatz der Thermodynamik"

3. HS der Thermodynamik

∃ eine intensive Größe T , die das thermodyn.

Gleichgewicht zweier Systeme in therm. Kontakt charakterisiert

Chemisches Potential

2. Situation Teilsysteme dürfen Energie u. Teilchen austauschen

$$d(E_1 + E_2) = 0$$

$$V_i \text{ const}$$

$$d(N_1 + N_2) = 0$$

$$d[\Omega_{N_1}(E_1) - \Omega_{N_2}(E_2)] = 0$$

\bar{E}_1, \bar{E}_2 makroskop.
 \bar{N}_1, \bar{N}_2 Größe

$$0 = \underbrace{\left[\left(\frac{\partial S_1}{\partial N_1} \right)_{\bar{E}_1, V_1} - \left(\frac{\partial S_2}{\partial N_2} \right)_{\bar{E}_2, V_2} \right]}_{\text{neu}} dN_1 + \underbrace{\left[\left(\frac{\partial S_1}{\partial E_1} \right)_{\bar{N}_1, V_1} - \left(\frac{\partial S_2}{\partial E_2} \right)_{\bar{N}_2, V_2} \right]}_{\frac{1}{T_1} - \frac{1}{T_2}} dE_1$$

Um den neuen Term auf Null zu bringen, wird gefordert

$$\left(\frac{\partial S_1}{\partial N_1} \right)_{\bar{E}_1, V_1} = \left(\frac{\partial S_2}{\partial N_2} \right)_{\bar{E}_2, V_2} \quad (\blacksquare)$$

chem. Potential $\mu := -T \left(\frac{\partial S}{\partial N} \right)_{E, V}$

Faktor T ist an dieser Stelle nicht begründet

aus (■) wird:

$$\mu_1 = \mu_2$$

$$T_1 = T_2$$

∨ makroskop. Teilsysteme in therm. Gleichgewicht
die Entropie u. Teildes austauschen innerhalb
isolierter Gesamtsystem

Druck

H hänge von äußere Parameter α ab: $H(\vec{X}_N, \alpha)$

$$\Omega(E, \alpha) = \int d\vec{X}_N \delta(E - H(\vec{X}_N, \alpha)) = \int_{HSE} d\vec{X}_N$$

Differential

$$d\Omega(E, \alpha) = \int d\vec{X}_N \delta(E - H(\vec{X}_N, \alpha)) \left[dE - \frac{\partial H}{\partial \alpha} d\alpha \right]$$

$$D(E) = \int d\vec{X}_N \delta(E - H)$$

$$\langle A \rangle = \int d\vec{X}_N A(\vec{X}_N) e(\vec{X}_N)$$

$$= \frac{1}{D(E)} \int d\vec{X}_N \delta(E - H) A(\vec{X}_N)$$

$$d\Omega(E, \alpha) = D(E) \left[dE - \left\langle \frac{\partial H}{\partial \alpha} \right\rangle d\alpha \right]$$

$$d \ln \Omega = \frac{D(E)}{\Omega(E)} \left[dE - \left\langle \frac{\partial H}{\partial \alpha} \right\rangle d\alpha \right]$$

$$dS = \underbrace{\frac{\partial S}{\partial E}}_{\frac{1}{T}} [dE - \langle \frac{\partial H}{\partial \alpha} \rangle d\alpha]$$

$A = \langle \frac{\partial H}{\partial \alpha} \rangle$ konjugiertes Feld zum äußeren Parameter α

$$dE = T dS + \sum_i A_i d\alpha_i \quad (1. HS)$$

$$\alpha_1 = V \quad \alpha_2 = N$$

$$-\langle \frac{\partial H}{\partial V} \rangle = -p \quad \text{Druck (mechanisch Definition)}$$

$$\langle \frac{\partial H}{\partial N} \rangle = \frac{\partial E}{\partial N} = \frac{\partial S}{\partial N} \Big|_E = \frac{\partial E}{\partial S} \Big|_N = \mu \quad \text{chem. Potential}$$

$$\boxed{dE = T dS - p dN + \mu dN} \quad \text{1. Hauptsatz}$$

$\underbrace{\hspace{2em}}_{SQ} \quad \underbrace{\hspace{2em}}_{\text{mech. Arbeit}} \quad \underbrace{\hspace{2em}}_{\text{Materialzufluß}}$

31.10.07

Druck kann auf zwei Arten definiert sein:
mechanisch (s.o.) und thermodynamisch

Ableitung des thermodynamischen Potentials

$$d(E_1 + E_2) = 0 \quad d(V_1 + V_2) = 0$$

$$d(W_{N_1, V_1}(E_1) - W_{N_2, V_2}(E_2)) = 0$$

$$\frac{\partial S}{\partial V_1} \Big|_{N_1, E_1} = \frac{\partial S}{\partial V_2} \Big|_{N_2, E_2} \quad p := T \left(\frac{\partial S}{\partial E} \right) \Big|_{N, E} \quad p_1 = p_2 \quad \text{in GG}$$

(Ableitung analog zur Herleitung Temp.)

$$S = S(E, V, N)$$

$$dS = \left(\frac{\partial S}{\partial E} \right)_{N, V} dE + \left(\frac{\partial S}{\partial V} \right)_{N, E} dV + \left(\frac{\partial S}{\partial N} \right)_{E, V} dN$$

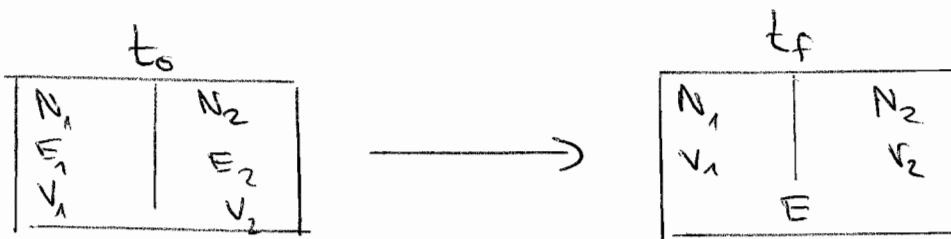
$$dS = \frac{1}{T} dE + \frac{P}{T} dV - \frac{\mu}{T} dN$$

Konsistent zu obiger Ableitung

2. HS der Thermodynamik

Bei allen innerhalb eines isolierten Systems ablaufenden Prozessen nimmt die Entropie nicht ab

$$\Delta S \geq 0$$



$$W_N(E, V) = W_{N_1}(E_1, V_1) W_{N_2}(E_2, V_2)$$

$$S(N, E, V) = S_1(N_1, V_1, E_1) + S_2(N_2, E_2, V_2)$$

$$E = E_1 + E_2$$

$$W_N = \sum_{\Delta E} W_{N_1}(E_1 + \Delta E, V_1) \cdot W_{N_2}(E_2 - \Delta E, V_2)$$

$\Delta E = 0$ im Anfangszustand

alle weitere $\Delta E \rightarrow$ Vergrößerung von $W_N(E, V)$

\rightarrow Vergrößerung von $S(N, E, V)$

Richtung des Energieaustausches

N_1	N_2
V_1	V_2
$E = E_1 + E_2$	

$T_1 > T_2$

$\Delta E = 0$

$\Delta E_1 = -\Delta E_2$

kein Gleichgewicht

$$\Delta S = \left(\frac{\partial S_1}{\partial E_1} \right)_{V_1, N_1} \Delta E_1 + \left(\frac{\partial S}{\partial E_2} \right)_{V_2, N_2} \Delta E_2$$

$$= \left(\frac{1}{T_1} - \frac{1}{T_2} \right) \Delta E_1 \geq 0 \rightarrow \Delta E_1 \leq 0$$

Alternative Formulierung des 2. HS nach Clausius

Es gibt keine Zustandsänderung deren einziges Ergebnis die Übertragung von Wärme von einem Körper niedriger auf einen Körper höherer Temperatur ist

Beispiel. Ideales Gas

Phasenraumvolumen d. idealen Gases:

$$\Omega(E) = \frac{\Omega_L(E)}{N! h^{3N}} = \frac{V^N (2\pi m E/h^2)^{3N/2}}{N! \Gamma(\frac{3}{2}N + 1)}$$

(siehe letzte reihe)

$$S = k_B \ln \frac{V^N (2\pi m E/h^2)^{3N/2}}{N! \Gamma(\frac{3}{2}N + 1)}$$

$$= k_B N \ln V + k_B \frac{3}{2} N \ln \left(\frac{2\pi m E}{h^2} \right) - k_B \ln N! - k_B \ln \left(\frac{3}{2}N + 1 \right)$$

$$\ln N! = N \ln N - N + o(\ln N)$$

$$\ln \Gamma(N) = N \ln N - N$$

Stirling

$$= k_B \left[N \ln V + \frac{3}{2} N \ln \left(\frac{2\pi m E}{h^2} \right) - N \ln N + N - 3N \ln \left(\frac{3}{2}N \right) + \frac{3}{2} N \right]$$

$$S = k_B N \left[\ln \frac{V}{N} + \frac{3}{2} \ln \left(\frac{4\pi m E}{3Nk^2} \right) + \frac{5}{2} \right]$$

Entropie d.
id. Gases

(Sackur-Tetrode-Gleichung)

$$\begin{aligned} \frac{1}{T} &= \frac{\partial S}{\partial E} = \frac{\partial}{\partial E} \left[N k_B \ln \frac{V}{N} + \frac{3}{2} N k_B \ln \left(\frac{4\pi m E}{3Nk^2} \right) + \dots \right] \\ &= \frac{3}{2} N k_B \cdot \frac{1}{E} \end{aligned}$$

$$\rightarrow \boxed{E = \frac{3}{2} N k_B T} \quad \text{Energie des idealen Gases}$$

Setze E in S ein, forme um

$$\begin{aligned} S &= N k_B \left[\ln \frac{V}{N} + \frac{3}{2} \ln \left(\frac{4\pi m \frac{3}{2} N k_B T}{3Nk^2} \right) + \frac{5}{2} \right] \\ &= N k_B \left[\ln \left(\frac{V}{N} \right) + \frac{3}{2} \ln \left(\frac{2\pi m k_B T}{h^2} \right)^{3/2} + \frac{5}{2} \right] \end{aligned}$$

$$\lambda_T := \frac{h}{\sqrt{2\pi m k_B T}} \quad \text{Thom. de Broglie - Wellenlänge}$$

$$\text{(analogy } \lambda = \frac{h}{p} \rightarrow \text{Thom. Impuls)}$$

$$S = k_B N \left[\ln \left(\frac{V}{N} \right) - \ln \lambda_T^3 + \frac{5}{2} \right]$$

Ableitung des Drucks aus der Entropie

$$\frac{p}{T} = \left. \frac{\partial S}{\partial V} \right|_{E,N} = N k_B \cdot \frac{1}{V}$$

$$\rightarrow \boxed{pV = N k_B T}$$

Zustandsgleichung
d. idealen Gases

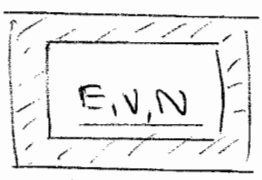
Beim mikrokanonischen Ensemble ist die Entropie die zentrale Größe, aus ihr lassen sich die thermodyn. Größen ableiten

aber: Problem: $\Omega(E)$ im Allg. sehr schwer berechenbar

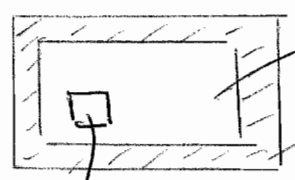
$$H = \sum_k \frac{p_{km}^2}{2m} + U$$

daher: weitere Ensembles

2.3 Das kanonische Ensemble



mikrokan



Wärmebad (T gegeben)

V, N const. $E \neq$ const

$$\text{mikrokan.} \rightarrow e = \begin{cases} \text{const. in } E\text{-Schale} \\ 0 \text{ Sonst} \end{cases}$$

kan.:

$$e(\vec{q}_N, \vec{p}_N) = ?$$

$$\text{Gesamtsystem: } \vec{X}_N = (\vec{X}_{N_1}^{(1)}, \vec{X}_{N_2}^{(2)}) ; \vec{X}_N = (q_1, \dots, q_{3N}, p_1, \dots, p_{3N})$$

X_i = Zustände

$$e(\vec{X}_{N_1}^{(1)}, \vec{X}_{N_2}^{(2)}) = \begin{cases} \frac{1}{\Omega_N(E)} & \text{in } E\text{-Schale im Teilsystem} \\ 0 & \text{sonst} \end{cases}$$

$$e(\vec{X}_{N_1}^{(1)}) = \int d\vec{X}_{N_2}^{(2)} e(\vec{X}_{N_1}^{(1)}, \vec{X}_{N_2}^{(2)}) \quad \text{Integr. über System 2}$$

$$p(\vec{x}_{N_1}^{(1)}) = \frac{1}{\Omega_N(E)} \int d\vec{x}_{N_2}^{(2)} \mathcal{J}(H(\vec{x}_{N_1}^{(1)}, \vec{x}_{N_2}^{(2)}) - E) \\ \mathcal{J}(E + \Delta E - H(\vec{x}_{N_1}^{(1)}, \vec{x}_{N_2}^{(2)}))$$

$$\text{Annahme: } H \approx H_1(\vec{x}_{N_1}^{(1)}) + H_2(\vec{x}_{N_2}^{(2)})$$

WW-Term muss zwar unbedingt existieren,
sonst kein Energieaustausch mit dem
Wärmebad, wird aber sehr klein gegen
 H_1, H_2 angenommen

$$E_1 := H_1(\vec{x}_{N_1}^{(1)}) = E_1$$

$$p(\vec{x}_{N_1}^{(1)}) = \frac{1}{\Omega_N(E)} \int d\vec{x}_{N_2}^{(2)} \mathcal{J}(H_2 - (E - E_1)) \mathcal{J}(E - E_1 + \Delta E - H_2) \\ = \frac{\Omega_{N_2}(E - E_1)}{\Omega_N(E)} \quad (*)$$

Wärmebad ist absolut beliebig groß, d.h. wir
können setzen $N_2 \gg N_1 \rightarrow E_1 \ll E$

\rightarrow Taylor-Entwicklung für $\ln(\Omega(E - E_1))$

$$S_2(E_2 = E - E_1) = k_B \ln(\Omega_{N_2}(E - E_1)) \\ \approx S_2(E) - E_1 \underbrace{\frac{\partial S_2}{\partial E}}_T \Big|_{E=E_2} \\ = S_2(E) - \frac{E_1}{T}$$

$$\Omega_{N_2}(E-E_1) \approx \Omega_{N_2}(E) e^{-E_1/k_B T}$$

in (*)

$$e(\vec{x}_{N_1}) = \text{const} \cdot e^{-E_1/k_B T}$$

allgemein (ohne Indizes)

$$e(\vec{x}_N) = c \cdot e^{-\frac{H(\vec{x}_N)}{k_B T}} \quad ; \quad c = \frac{1}{Z}$$

$$e(\vec{q}_N, \vec{p}_N) = \frac{1}{Z} e^{-\frac{H(\vec{q}_N, \vec{p}_N)}{k_B T}}$$

kanonische Verteilungsfkt.

Abkürzung $\frac{1}{k_B T} =: \beta$

$c = \frac{1}{Z}$ stammt aus Normierung, durch Nachrechnen löst sich die Bedeutung von Z bestimmen

Normierung:

$$c_N \int d^{3N} q \, d^{3N} p \, e(\vec{q}_N, \vec{p}_N) = 1$$

$$Z = Z_N(T, V) = c_N \int d^{3N} q \, d^{3N} p \, e^{-\beta H(\vec{q}_N, \vec{p}_N)}$$

Zustandssumme / integral (partition function)

$$c_N^{\text{id}} = \frac{1}{N! h^{3N}} \quad c_N^{\text{obs}} = \frac{1}{h^{3N}}$$

Z ist eine zentrale Größe des kan. Ensembles.
 Aufg. besteht oft daraus, Z zu bestimmen und daraus Größen abzuleiten (wie Phasenraumvol. bei mikrokan. Ens.)

Vereinfachung falls $H(\vec{q}, \vec{p}) = \sum_{i=1}^N \frac{p_i^2}{2m} + V(\vec{q})$

$$\int_{-\infty}^{+\infty} d^{3N} p \cdot e^{-\frac{p}{2m}(p_1^2 + \dots + p_{3N}^2)} = \left[\int_{-\infty}^{+\infty} dp e^{-\frac{\beta}{2m} p^2} \right]^{3N}$$

$$= \left(\sqrt{\frac{2m\pi}{\beta}} \right)^{3N}$$

$$= \sqrt{2\pi m k_B T}^{3N}$$

$$\rightarrow z_N^{\text{id}}(T, V) = \frac{1}{\lambda_T^{3N} N!} \int d^{3N} q e^{-\beta V(\vec{q}^N)}$$

Zustandsdichte $D(E) = \frac{d\Omega}{dE}$

$$D(E)dE = \int_{E < H < E + \Delta E} d^{3N} q d^{3N} p$$

$$z_N(T, V) = c_N \int dE D(E) e^{-\beta E}$$

Bsp: 1 freies Teilchen im Wärmebad •

$$N=1 \quad H = \frac{p^2}{2m}$$

$$e(\vec{q}, \vec{p}) = \frac{e^{-\frac{p^2}{2m k_B T}}}{\int d^3 q d^3 p e^{-\frac{p^2}{2m k_B T}}}$$

$$= \frac{e^{-p^2/2m k_B T}}{\sqrt{(2\pi m k_B T)^{3/2}}}$$

$$e(\vec{p}) d^3 p = (2\pi m k_B T)^{-3/2} \cdot e^{-\frac{p^2}{2m k_B T}} \cdot p^2 dp$$

Maxwell-Verteilung

2.10.07

Berechnung von Erwartungswerten

$$A(\vec{q}_N, \vec{p}_N)$$

$$\langle A \rangle = C_N \int d^3q \int d^3p A(\vec{q}, \vec{p}) e^{-(\vec{q}_N, \vec{p}_N)}$$

$$\langle A \rangle = \frac{\int d^3q \int d^3p A(\vec{q}, \vec{p}) e^{-\beta H}}{\int d^3q \int d^3p e^{-\beta H}}$$

Energie

$$E = \langle H \rangle = \frac{\int d^3q \int d^3p H \cdot e^{-\beta H}}{\int d^3q \int d^3p e^{-\beta H}} \quad \left| \text{Vgl. mit (*) weiter} \right.$$

$$\langle H \rangle = -\frac{\partial}{\partial \beta} \ln Z_N = k_B T^2 \frac{\partial}{\partial T} \ln Z_N$$

Druck

$$p = -\left\langle \frac{\partial H}{\partial V} \right\rangle = \frac{1}{\beta} \frac{\partial}{\partial V} \ln Z_N(T, V)$$

Nachtrag

für ident. Teilchen $C_N = \frac{1}{h^{3N} N!}$

$$Z_N = \frac{1}{h^{3N} N!} \int d^3q \int d^3p \cdot e^{-\beta H(\vec{q}, \vec{p})} \quad (*)$$

Möglichkeit A:

$$d\Omega = \frac{1}{h^{3N} N!} d^3q \int d^3p = C_N d^3q \int d^3p$$

$$e = \frac{1}{Z} e^{-\beta H}$$

Möglichkeit B:

$$d\Omega = \int d^3p \int d^3q$$

$$e = \frac{C_N}{Z_N} e^{-\beta H}$$

Bsp. freies Teilchen:

$$(a) e d^3p = (2\pi m k_B T)^{-3/2} e^{-\frac{p^2}{2mk_B T}} p^2 dp$$

$$(b) e d^3p = (2\pi m k_B T)^{-3/2} e^{-\dots}$$

Thermodynamische Größen

Def. freie Energie als Größe zur Vereinfachung der Berechnung

$$F(T, V, N) := -k_B T \ln Z_N(T, V)$$

$$Z_N(T, V) = e^{-\beta F}$$

$$\rightarrow P = + \frac{\partial F}{\partial V} \quad \langle H \rangle = \frac{\partial}{\partial \beta} (-\beta F) = F + \beta \frac{\partial F}{\partial \beta}$$

Def.: Kanonische Entropie

$$\begin{aligned} S_k &:= k_B \ln \int d\mathbf{q} \int d\mathbf{p} \frac{1}{Z} e^{-\beta H} (\ln(Z) + \beta \langle H \rangle)^{11} \\ &= k_B (\ln Z + \beta \langle H \rangle) = \frac{1}{T} (k_B T \ln Z + \langle H \rangle) \\ &= \frac{1}{T} (-F + \langle E \rangle) \\ &= \frac{1}{T} \beta \frac{\partial F}{\partial \beta} \end{aligned}$$

$$F = \langle E \rangle - T S_k \quad S_k = \left(k_B T \right)^{-1} \frac{\partial F}{\partial \beta} - \frac{\partial F}{\partial T}$$

$$dF = -S_k dT - p dV + \left. \frac{\partial F}{\partial N} \right|_{T, V} dN$$

$$S_k = - \frac{\partial F}{\partial T} \quad p = - \frac{\partial F}{\partial V}$$

$$d\langle E \rangle = T dS_k - p dV + \left. \frac{\partial F}{\partial N} \right|_{T, V} dN$$

vgl mit 1. HS im mikrokanonischen Ensemble

$$^{11} \text{ aus } S_k = -k_B \langle \ln e \rangle = -k_B \ln \int d\mathbf{q} \int d\mathbf{p} e^{-\beta H} \ln(e)$$

Für Vergleich mit 1. HS

$$\frac{\partial F}{\partial N} \Big|_{T, V} dN \stackrel{?}{\approx} \mu dN$$

falls mikrokanonisches und kanonisches Ensemble äquivalent sein soll, muss

$$\mu = \frac{\partial F}{\partial N} \qquad dF = -SdT - pdV + \mu dN$$

D.h. Energiefluktuationen werden klein sein

Energiefluktuationen

$$\begin{aligned} \langle E \rangle = \langle H \rangle &= c_N \int d^{3N}q \int d^{3N}p \frac{1}{Z} e^{-\beta H} H \\ &= c_N \int d^{3N}q \int d^{3N}p e^{-\beta H + \beta F} H \end{aligned}$$

Wir wollen die Varianz berechnen \rightarrow Trick: $\langle H \rangle$ ableiten

$$\begin{aligned} c_N \int d^{3N}q \int d^{3N}p e^{-\beta H + \beta F} (H - \langle H \rangle) &= 0 \quad (\text{nach } \beta \text{ ableiten}) \\ c_N \int d^{3N}q \int d^{3N}p (H - \langle H \rangle) \left(F - H + \beta \frac{\partial F}{\partial \beta} \right) e^{-\beta H + \beta F} &= \frac{\partial \langle H \rangle}{\partial \beta} = 0 \end{aligned}$$

$$c_N \int d^{3N}q \int d^{3N}p (H - \langle H \rangle) (H - \langle H \rangle) e^{-\beta H} = \frac{\partial \langle H \rangle}{\partial \beta} = 0$$

$e = \frac{1}{Z} e^{-\beta H}$

$$\underbrace{\langle (H - \langle H \rangle)^2 \rangle}_{\text{Varianz}} + \frac{\partial \langle H \rangle}{\partial \beta} = 0$$

$$\text{Var}(H) = \Delta E^2$$

$$\Delta E^2 = - \frac{\partial \langle H \rangle}{\partial \beta} = k_B T^2 \frac{\partial \langle E \rangle}{\partial T}$$

für makroskop. Systeme:

$$\langle E \rangle \sim N$$

$$\frac{\partial \langle E \rangle}{\partial T} = C_V \sim N$$

↖ Wärmekapazität (heat capacity)

$$\frac{\Delta E}{\langle E \rangle} \sim \frac{1}{\sqrt{N}} \xrightarrow{N \rightarrow \infty} 0$$

Die meisten Systeme haben eine Energie nahe am Maximumwert

Noch genauere Quantifizierung:

$$Z_N(T, V) = \int dE D_N(E) e^{-\beta E}$$

$$D_N(E) = C_N D(E)$$

$$D(E) = \frac{d\Omega}{dE}$$

$$S_{HK} = k_B \ln D_N(E)$$

$$Z_N(T, N) = \int dE e^{-\beta E + S_{HK}(E)/k_B}$$

$E \sim N$ $S_{HK} \sim N$ → scharfes Max. bei \bar{E}

$$\frac{\bar{E}}{T} - S_{HK} = \text{ML}$$

$$\frac{1}{T} = \left. \frac{\partial S_{HK}}{\partial E} \right|_{E=\bar{E}}$$

entwickeln um \bar{E}

$$\begin{aligned} \exp[-\beta E + \frac{1}{k_B} S_{HK}] &\approx \exp[-\beta \bar{E} + \frac{1}{k_B} S_{HK}(\bar{E}) \\ &\quad - \beta (E - \bar{E}) + \frac{1}{k_B} \left. \frac{\partial S}{\partial E} \right|_{E=\bar{E}} (E - \bar{E}) \\ &\quad + \frac{1}{2} \left. \frac{\partial^2 S_{HK}}{\partial E^2} \right|_{E=\bar{E}} (E - \bar{E})^2 \end{aligned}$$

$$\frac{\partial^2 S_{MH}}{\partial E^2} = \frac{\partial}{\partial E} \left(\frac{1}{T} \right) = -\frac{1}{T^2 C_V}$$

$$\dots \approx \exp \left[-\beta \bar{E} + \frac{1}{k_B} S_{MH}(\bar{E}) - \frac{1}{2 k_B T^2 C_V} (E - \bar{E})^2 \right]$$

Ab-schätzung der höhere Terme:

$$E - \bar{E} = O(N^{1/2})$$

$$(E - \bar{E})^m \sim O(N^{-m+1}) = O(N^{1-\frac{m}{2}}) \text{ vernachlässigbar für } N \rightarrow \infty$$

$$\begin{aligned} Z_N(T, V) &= D_N(\bar{E}) e^{-\beta \bar{E}} \int dE \exp \left(-\frac{k_B \beta^2}{2 C_V} (E - \bar{E})^2 \right) \\ &= D_N(\bar{E}) e^{-\beta \bar{E}} \sqrt{\frac{2\pi C_V}{k_B \beta^2}} \end{aligned}$$

$$F = -\frac{1}{\beta} \ln(Z) = \bar{E} - \frac{1}{\beta} \ln D_N(\bar{E}) + \frac{1}{2\beta} \ln \left(\frac{2\pi C_V}{k_B \beta^2} \right)$$

$$\bar{E} \sim N \quad \ln D_N \sim N \quad \ln C_V \sim \sqrt{N} \text{ vernachlässig}$$

$$\rightarrow F = \bar{E} - T S_{MH}$$

$$F = \langle E \rangle - T S_H \quad \rightarrow \boxed{S_{MH} \approx S_H}$$

Die Äquivalenz von mikrokanon. u. kanonische Ensemble für $N \rightarrow \infty$

Gleichverteilungssatz (equipartition theorem)

$$x_i = p_i \text{ oder } q_i$$

$$\left\langle x_i \frac{\partial H}{\partial x_i} \right\rangle = C_N \int d^3N q \, d^3N p \cdot x_i \frac{\partial H}{\partial x_i} \frac{e^{-\beta H}}{Z}$$

$$\frac{\partial}{\partial x_i} e^{-\beta H} = -\beta \frac{\partial H}{\partial x_i} e^{-\beta H}$$

$$= C_N \int \dots \int d^N p \propto \frac{\partial}{\partial x_j} e^{-\beta H} \left(-\frac{1}{\beta}\right)^{\frac{1}{2}}$$

Betrachte nur das Teilintegral, bei dem über x_j integriert wird:

$$-\frac{1}{\beta^2} \int dx_j x_j \frac{\partial}{\partial x_j} e^{-\beta H} \stackrel{\text{part. Int.}}{=} \underbrace{-\frac{1}{\beta^2} x_j e^{-\beta H} \Big|_{x_{j\min}}^{x_{j\max}}}_{\textcircled{1}} + \underbrace{\frac{1}{\beta^2} \int \frac{\partial x_j}{\partial x_j} e^{-\beta H} dx_j}_{\textcircled{2}}$$

①: $\rightarrow 0$ ($V(\text{wand}) \rightarrow \infty$)

②: $\rightarrow \delta$ -Funktion

$\langle x_j \frac{\partial H}{\partial x_j} \rangle = S_{ij} k_B T$

verallg. Gleichverteilungssatz

Speziell für Koordinate:

$$\langle q_i \frac{\partial V}{\partial q_j} \rangle = k_B T \delta_{ij}$$

Bsp. harmonischer Oszillator
 $V = \sum_i \frac{1}{2} m \omega^2 q_i^2$

$$\langle V_i \rangle = \frac{1}{2} kT$$

$$\langle \sum_{i=1}^{3N} q_i \frac{\partial V}{\partial q_i} \rangle = 3N k_B T$$

speziell für Impulse

$$E_{kin} = \sum_{i,j} a_{ij} p_i p_j \quad a_{ij} = a_{ji}$$

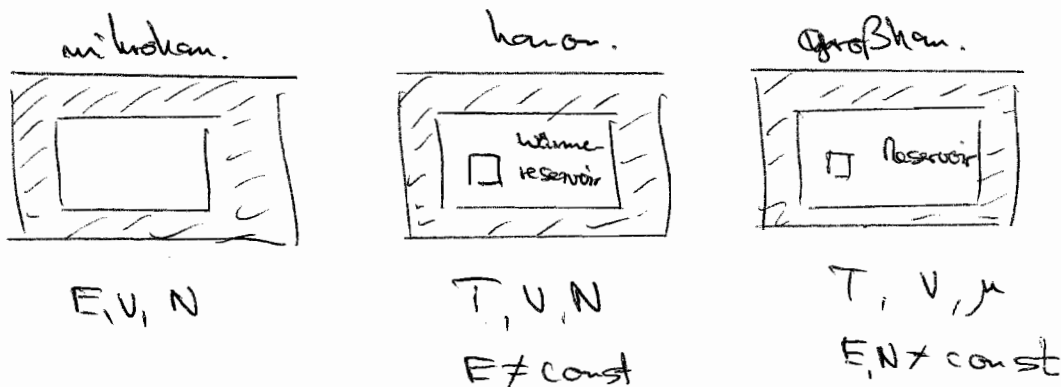
$$\frac{\partial E_{kin}}{\partial p_i} = \sum_j (a_{ij} p_j + a_{ji} p_j) = 2 \sum_j a_{ij} p_j$$

$$\sum_i p_i \frac{\partial E_{kin}}{\partial p_i} = \sum_{i,j} 2 a_{ij} p_i p_j = 2 E_{kin}$$

$$\rightarrow \langle E_{kin} \rangle = \frac{1}{2} \langle \sum_i p_i \frac{\partial E_{kin}}{\partial p_i} \rangle = \frac{3}{2} N k_B T$$

$$\langle E_{kin} \rangle = \frac{1}{2} \left\langle \sum_{i=1}^{3N} q_i \frac{\partial V}{\partial q_i} \right\rangle \text{ Virialsatz}$$

2.4 Das großkanonische Ensemble (grand canonical ens.)



$$e = \begin{cases} \frac{1}{\Omega} \\ 0 \end{cases}$$

$$e = \begin{cases} e^{-\beta H} \\ \frac{e^{-\beta H}}{Z} \end{cases}$$

$$e = ?$$

Berechnung von e für das großkanonische Ensemble.
Herleitung wie beim kanonischen aus dem mikrokanonischen

$$E = E_1 + E_2$$

$$N = N_1 + N_2$$

$$\langle E_1 \rangle \ll \langle E_2 \rangle$$

$$\langle N_1 \rangle \ll \langle N_2 \rangle$$

$$e_{N_1}(\vec{x}_{N_1}^{(1)}) \sim \Omega_{N_2}(E - E_1) = \Omega_{N - N_1}(E - E_1)$$

$$e_{N_1}(\vec{x}_{N_1}^{(1)}) \sim e^{\frac{(2)}{S_{HK}(E - E_1, N - N_1) / k_B T}}$$

$$S_{HK}^{(2)}(E_2 = E - E_1, N_2 = N - N_1) \approx S_{HK}^{(2)}(E_1, N) - E_1 \frac{\partial S_{HK}^{(2)}}{\partial E} \Big|_{E=E_1, N=N_2, V} - N_1 \frac{\partial S_{HK}^{(2)}}{\partial N_2} \Big|_{N=N_2, E=E_2} + \dots$$

$$\rightarrow e_{N_1}(\vec{x}_{N_1}^{(1)}) \sim e^{-\beta (H(\vec{x}_N) - \mu N_1) - \frac{\mu}{T}}$$

allg.

$$\rho_g(\vec{q}_N, \vec{p}_N) = \frac{1}{Z_g} e^{-\beta(H - \mu N)}$$

großkanonische
Verteilungs fkt.

T, μ gegeben über Reservoir

Normierung:

$$Z_g(T, V, \mu) = \sum_{N=0}^{\infty} \frac{1}{(2^N N!)} \int d^3q d^3p e^{-\beta(H - \mu N)}$$

$$= \sum_{N=0}^{\infty} z^N Z_N(T, V)$$

\uparrow $z = e^{\beta\mu}$
Fugazität

großkanon. Zustands-
summe (grand
canonical partition
fkt)

Z_g wird in manchen Büchern als Z_μ, Z, Ξ_μ bezeichnet

$z: z = e^{\beta\mu}$ Fugazität (fugacity)

$$Z_g(T, V, \mu) = \sum_{N=0}^{\infty} \int dE D_N(E) e^{-\beta(E - \mu N)}$$

Berechnung von Erwartungswerten:

$$A(\vec{q}_N, \vec{p}_N)$$

$$\langle A \rangle = \sum_{N=0}^{\infty} c_N \int d^3q d^3p c_0(\vec{q}_N, \vec{p}_N) A(\vec{q}_N, \vec{p}_N)$$

$$= \frac{\sum_{N=0}^{\infty} z^N Z_N(T, V) \langle A_N \rangle}{\sum_{N=0}^{\infty} z^N Z_N(T, V)}$$

← kanonischer Erwartungswert

7.11.07

Bsp. Teilchenzahl

$$\langle N \rangle = \frac{1}{Z_g} \sum_{N=0}^{\infty} N z^N Z_N(T, V)$$

$$\begin{aligned} \frac{\partial}{\partial \mu} \ln Z_g &= \frac{\partial}{\partial \mu} \ln \left(\sum e^{\beta \mu N} Z_N(T, V) \right) \\ &= \frac{1}{Z_g} \sum_N \beta N \underbrace{e^{\beta \mu N} Z_N(T, V)}_{e^{\beta \mu N}} \end{aligned}$$

$$\langle N \rangle = \frac{1}{\beta} \frac{\partial}{\partial \mu} \ln Z_g(T, V, \mu) \Big|_{T, V}$$

Bsp. Energie

$$\langle E \rangle = \langle H \rangle = -\frac{\partial}{\partial \beta} \ln Z_g + \mu \langle N \rangle \quad (\text{analog})$$

Thermodynamische Größen der großkan. Gesamtheit

Definiere großkanon. Potential

$$\boxed{\begin{aligned} \phi(T, V, \mu) &:= -k_B T \ln Z_g(T, V, \mu) \\ [\text{auch } \Omega(T, V, \mu)] \end{aligned}}$$

Def. großkanon. Entropie

$$\begin{aligned} S_g &= -k_B \langle \ln e_g \rangle \\ &= -k_B \sum_{N=0}^{\infty} c_N \int d^{3N} q \, d^{3N} p \, e_g \left[-\ln Z_g - \beta(H + \mu N) \right] \\ &= k_B \ln Z_g + \frac{\langle H \rangle}{T} - \frac{\mu}{T} \langle N \rangle \\ &= \frac{1}{T} \left(-\phi + \langle E \rangle - \mu \langle N \rangle \right) \end{aligned}$$

$$\phi = \langle E \rangle - TS_g - \mu \langle N \rangle$$

$$d\phi = d\langle E \rangle - d(TS_g) - d(\mu \langle N \rangle)$$

eigentlich:

$$d\phi = \left. \frac{\partial \phi}{\partial T} \right|_{V, \mu} dT + \left. \frac{\partial \phi}{\partial V} \right|_{\mu, T} dV + \left. \frac{\partial \phi}{\partial \mu} \right|_{V, T} d\mu$$

Betrachtung der einzelnen Ableitungen

$$\begin{aligned} \left. \frac{\partial \phi}{\partial T} \right|_{V, \mu} &= \frac{\partial}{\partial T} (-k_B T \ln Z_g(T, V, \mu)) \\ &= \frac{\partial \beta}{\partial T} \frac{\partial}{\partial \beta} \left(-\frac{1}{\beta} \ln Z_g(T, V, \mu) \right) \\ &= \frac{1}{k_B T^2} \left(-\frac{1}{\beta^2} \ln Z_g + \frac{1}{\beta} \frac{\partial \ln Z_g}{\partial \beta} \right) \\ &= \frac{\phi}{T} - \frac{1}{T} (\langle H \rangle - \mu \langle N \rangle) \\ &= -S_g \end{aligned}$$

$$\begin{aligned} \left. \frac{\partial \phi}{\partial V} \right|_{\mu, T} &= \frac{\partial}{\partial V} (-k_B T \ln Z_g(T, V, \mu)) \\ &= -k_B T \left(-\beta \left\langle \frac{\partial H}{\partial V} \right\rangle \right) \\ &= \left\langle \frac{\partial H}{\partial V} \right\rangle \\ &= -p \end{aligned}$$

analog zu

$$-\left\langle \frac{\partial H}{\partial V} \right\rangle = \frac{1}{\beta} \frac{\partial}{\partial V} \ln Z_N(T, V)$$

$$\begin{aligned} \left. \frac{\partial \phi}{\partial \mu} \right|_{T, V} &= \frac{\partial}{\partial \mu} (-k_B T \ln Z_g(T, V, \mu)) \\ &= -k_B T \beta \langle N \rangle \\ &= -\langle N \rangle \end{aligned}$$

$$\rightarrow d\phi = -S_g dT - p dV - \langle N \rangle d\mu$$

$$\rightarrow d\langle E \rangle = T dS_g - p dV + \mu dN$$

vgl. 1 HC
im Mikrokosmos. Zus.

Äquivalenz zum mikrokan. Ensemble:

es ist zu zeigen, dass für große N die Fluktuationen verschwinden sind

Teilchenfluktuation

$$\langle N \rangle = \frac{1}{\beta} \frac{\partial}{\partial \mu} \ln Z_G(\tau, V, \mu)$$

$$\begin{aligned} \frac{\partial^2}{\partial \mu^2} \ln Z_G &= \frac{\partial}{\partial \mu} \left[\frac{1}{Z_G} \sum_{N=0}^{\infty} N \beta e^{N\beta\mu} Z_N(\tau, V) \right] \\ &= - \frac{1}{Z_G} \frac{\partial Z_G}{\partial \mu} \sum_{N=0}^{\infty} N \beta e^{N\beta\mu} Z_N(\tau, V, \mu) \\ &\quad + \frac{1}{Z_G} \frac{\partial}{\partial \mu} \left(\sum_{N=0}^{\infty} N \beta e^{N\beta\mu} Z_N \right) \end{aligned}$$

$$\frac{\partial Z_G}{\partial \mu} = \frac{\partial}{\partial \mu} \sum_{N=0}^{\infty} e^{N\beta\mu} Z_N(\tau, V) = \sum_{N=0}^{\infty} N \beta e^{N\beta\mu} Z_N$$

$$\begin{aligned} \frac{\partial^2}{\partial \mu^2} \ln Z_G &= - \frac{1}{Z_G^2} \sum_{N_1} N_1 \beta e^{N_1\beta\mu} Z_{N_1} \cdot \sum_N N \beta e^{N\beta\mu} Z_N \\ &\quad + \frac{1}{Z_G} \sum_N N^2 \beta^2 e^{N\beta\mu} Z_N \\ &= -\beta^2 \langle N \rangle^2 + \beta^2 \langle N^2 \rangle \end{aligned}$$

$$\rightarrow \langle N^2 \rangle - \langle N \rangle^2 = \frac{1}{\beta^2} \frac{\partial^2}{\partial \mu^2} \ln Z_G = \frac{1}{\beta} \frac{\partial}{\partial \mu} \langle N \rangle$$

$$\frac{\Delta N}{\langle N \rangle} = \frac{\sqrt{\langle N^2 \rangle - \langle N \rangle^2}}{\langle N \rangle} \sim \frac{1}{\sqrt{\langle N \rangle}} \xrightarrow{N \rightarrow \infty} 0$$

Prinzipiell müsste man gleiches auch für die Energie durchführen, dies ist aber identische Rechnung wie beim kanon. Ens.

Bsp.: ideales Gas

$$Z_G(T, V, \mu) = \sum_{N=0}^{\infty} z^N Z_N(T, V)$$

$$Z_N(T, V) = \frac{1}{\lambda_T^{3N} N!} \int d^3N \frac{1}{q} \cdot e^{-\beta V(\frac{q}{h})}$$

$$z = e^{\beta \mu}$$

$$Z_N(T, V) = \frac{V^N}{\lambda_T^{3N} N!}$$

$$\lambda_T = \frac{h}{\sqrt{2\pi m k_B T}}$$

$$Z_G(T, V, \mu) = e^z \frac{V^3}{\lambda_T^3}$$

$$\phi(T, V, \mu) = -k_B T \ln Z_G = -k_B T z V / \lambda_T^3$$

aus dem Potential lassen sich nun wie oben gezeigt die versch. Erwartungswerte berechnen

$$\langle N \rangle = - \frac{\partial \phi}{\partial \mu} \Big|_{T, V} = \frac{z V}{\lambda_T^3}$$

$$p = - \frac{\partial \phi}{\partial V} \Big|_{T, \mu} = k_B T \frac{z}{\lambda_T^3} = \langle N \rangle \frac{k_B T}{V}$$

$$\Rightarrow \boxed{p V = \langle N \rangle k_B T}$$

$$S = - \frac{\partial \phi}{\partial T} \Big|_{V, \mu} = \frac{\partial}{\partial T} \left[k_B T \cdot e^{-\mu/k_B T} \cdot \frac{V}{h^3} (2\pi m k_B T)^{3/2} \right]$$

$$= k_B z \frac{V}{\lambda_T^3} - k_B T \frac{\mu}{k_B T^2} z \frac{V}{\lambda_T^3}$$

$$+ \frac{3}{2} k_B z \frac{V}{h^3} (2\pi m k_B T)^{1/2} (2\pi m k_B)$$

$$\frac{3}{2} k_B z \frac{V}{\lambda_T^3}$$

$$= \frac{5}{2} k_B z \frac{V}{\lambda_T^3} - \frac{\mu}{T} z \frac{V}{\lambda_T^3}$$

$$\mu = -k_B T \ln \left(\frac{V}{\langle N \rangle \lambda_T^3} \right)$$

$$\langle N \rangle = e^{\beta \mu} \frac{V}{\lambda_T^3} = z \frac{V}{\lambda_T^3}$$

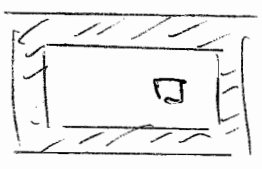
$$S = \frac{5}{2} k_B \langle N \rangle + k_B z \frac{V}{\lambda_T^3} \ln \left(\frac{V}{\langle N \rangle \lambda_T^3} \right)$$

$$= k_B \langle N \rangle \left[\frac{5}{2} + \ln \left(\frac{V}{\langle N \rangle} \right) - \ln \lambda_T^3 \right]$$

2.5 Das kanonisch-kanonische Ensemble

wird im allg. nicht zum Rechnen benutzt, zeigt aber, wie sich weitere Ensembles definieren lassen

(isothermisch-isobares E.)



$E \neq \text{const}$ $V \neq \text{const}$

T, P, N (auch NpT -Ensemble genannt)

→ chemische Reaktionen ($p = \text{const}$)

$$c_p(\vec{q}_N, \vec{p}_N) = \frac{1}{Z_p} e^{-\beta(H + pV)}$$

Volumen ist flexibel, verwendende "Nettozolumen" ΔV

$$Z_p = \frac{1}{\Delta V} \int_0^\infty dN e^{-\beta pV} Z_N(T, V) \quad \rightarrow \text{Herleitung siehe Klausur}$$

thermodyn. Potential \mathcal{G}

$$\mathcal{G}(T, P, N) := -k_B T \ln Z_p, \quad Z_p = e^{-\beta \mathcal{G}(T, P, N)}$$

Gibbsche Energie / freie Enthalpie
(Gibbs energy, Gibbs function)

$$\mathcal{G} = E - TS + pV = F + pV$$

Weitere Ensemble:

$$S, p, N - E \rightarrow \text{Enthalpie } H(S, p, N) = E + pV$$

3. Quantenstatistik

9.11.07

3.1 Quantenzustände eines makroskop. Systems

$$\text{klass. } \vec{X}_N = (\vec{q}_N, \vec{p}_N) \quad e^{i(\vec{q}_N, \vec{p}_N)}$$

Mikrozustand

QM:

\hat{e} stat. operator /
Dichtegenerator

Hilbert-Raum u. reine Zustände

QM-Zustand $|Y\rangle \in \mathcal{H}$

$$\langle m|n\rangle = \delta_{nm} \quad \text{Orthogonalität}$$

$$\sum_m |m\rangle \langle m| = 1 \quad \text{Vollst.}$$

$$|Y\rangle = \sum_m |m\rangle \langle m|Y\rangle = \sum_m c_m |m\rangle$$

$$\hat{A} = \sum_{mn} |m\rangle \langle m| \hat{A} |n\rangle \langle n| = \sum_{mn} A_{mn} |m\rangle \langle n|$$

$$\hat{A}|Y\rangle = \sum_{mn} A_{mn} c_n |m\rangle \langle n|Y\rangle = \sum_{mn} A_{mn} c_n |m\rangle$$

$$\langle m|\hat{A}|Y\rangle = \sum_n A_{mn} c_n$$

Erwartungswerte für Zustand $|Y\rangle$: $\langle \hat{A} \rangle = \langle Y|\hat{A}|Y\rangle$

Dichte-op: $\rho := |Y\rangle \langle Y|$

$$\leadsto \langle A \rangle = \text{Tr}(\hat{\rho} A) ; \text{Tr}(A) = \sum_m \langle m | A | m \rangle$$

Eigenschaften der Spur:

- $\text{Tr}(A)$ invariant unter Basis Transformationen
- $\text{Tr}(|\psi\rangle\langle\psi|) = \langle\psi|\psi\rangle$
- $\text{Tr}(\hat{A}\hat{B}) = \text{Tr}(\hat{B}\hat{A})$
- Faktorisierung $\mathcal{H} = \mathcal{H}_a \otimes \mathcal{H}_b$
 $\rightarrow \text{Tr}(\hat{A}\hat{B}) = \text{Tr}_a(\hat{A}) \cdot \text{Tr}_b(\hat{B})$

$$\begin{aligned} \hat{\rho} &= |\psi\rangle\langle\psi| = \sum_{mn} c_m c_n^* |m\rangle\langle n| \\ &= \sum_{mn} \rho_{mn} |m\rangle\langle n| \end{aligned}$$

$\rho_{mn} = \langle n | \hat{\rho} | m \rangle$ Dichtematrix

für reine Zustand $|\psi\rangle : \hat{\rho}^2 = \hat{\rho}$ Projektion auf $|\psi\rangle$

Gemischte Zustände

Bsp.: zwei Spin- $\frac{1}{2}$ -Teilchen im Singlet-Zustand

$$|\psi\rangle = \frac{1}{\sqrt{2}} (|10\rangle - |01\rangle)$$

$$\begin{aligned} \hat{\rho} &= \text{Tr}_2 (|\psi\rangle\langle\psi|) \\ &= \sum_1 |1\rangle\langle 1| + \sum_2 |0\rangle\langle 0| \\ &= \frac{1}{2} (|1\rangle_1\langle 1| + |0\rangle_1\langle 0|) \end{aligned}$$

\hat{A}_1 wirkt nur auf Spin 1

$$\langle \hat{A}_1 \rangle = \text{Tr}_1 (\hat{\rho}_1 \hat{A}_1) = \frac{1}{2} (\langle 1 | \hat{A}_1 | 1 \rangle + \langle 0 | \hat{A}_1 | 0 \rangle)$$

Ergebnis: inkohärente ~~Zustände~~ Summe, Korrelation
wurde durch Spurbildung weggelassen

gemischte Zustände: $\hat{\rho} = \sum_{\lambda} q_{\lambda} |\lambda\rangle\langle\lambda|$ $\{|\lambda\rangle\}$ normiert

$$0 \leq q_{\lambda} \leq 1 \quad \sum_{\lambda} q_{\lambda} = 1$$

falls $\{|\lambda\rangle\}$ orthogonal $\rightarrow q_{\lambda}$ Wahrscheinlichkeit

Eigenschaften von $\hat{\rho}$:

- $\hat{\rho}^{\dagger} = \hat{\rho}$ hermitisch
- $\text{Tr}(\hat{\rho}) = 1$ wg. $\text{Tr}(\hat{\rho}) = \sum_{\lambda} q_{\lambda} \langle\lambda|\lambda\rangle$
- $\langle\psi|\hat{\rho}|\psi\rangle \geq 0 \quad \forall |\psi\rangle \in \mathcal{H}$ wg. $\langle\psi|\hat{\rho}|\psi\rangle = \sum_{\lambda} q_{\lambda} |\langle\psi|\lambda\rangle|^2$

da $\hat{\rho}^{\dagger} = \hat{\rho}$:

$$\rightarrow \text{Eigenbasis} \quad \hat{\rho} = \sum_m p_m |m\rangle\langle m|$$

$$0 \leq p_m \leq 1$$

$$\sum_m p_m = 1$$

p_m lassen sich als Wahrscheinlichkeiten interpretieren

p_m Wahrscheinlichkeit für $|m\rangle$

Zeitentwicklung

aus SG für die Zustände (bzw. hier komplex SG)

$$i\hbar \frac{\partial}{\partial t} |\psi\rangle = \hat{H} |\psi\rangle \quad ; \quad -i\hbar \frac{\partial}{\partial t} \langle\psi| = \langle\psi| \hat{H}$$

$$\begin{aligned} i\hbar \frac{\partial}{\partial t} \hat{\rho} &= \sum_{\lambda} q_{\lambda} \left[\left(i\hbar \frac{\partial}{\partial t} |\lambda\rangle \right) \langle\lambda| + |\lambda\rangle \left(i\hbar \frac{\partial}{\partial t} \langle\lambda| \right) \right] \\ &= \sum_{\lambda} q_{\lambda} \left[\hat{H} |\lambda\rangle\langle\lambda| - |\lambda\rangle\langle\lambda| \hat{H} \right] = [\hat{H}, \hat{\rho}] \end{aligned}$$

$$\boxed{i\hbar \frac{\partial}{\partial t} \hat{\rho} = [\hat{H}, \hat{\rho}]}$$

von Neumann-Glg.

in Energiebasis bes. einfache Form:

$$\frac{\partial \rho_{mn}}{\partial t} = \frac{i\hbar}{\hbar^2} (E_n - E_m) \rho_{mn}$$

falls $\hat{\rho}$ stationär $\frac{\partial \rho_{mn}}{\partial t} = 0 \rightarrow \rho_{mn}$ diagonal $\hat{=} [\hat{H}, \hat{\rho}] = 0$

Korrespondenz

klass	QM
• Phasenraumkt $A(\vec{q}_N, \vec{p}_N)$	hermit. Op. \hat{A}
• Dichteverteilungskt. $\rho(\vec{q}_N, \vec{p}_N)$	Dichtoperator $\hat{\rho}$
• Phasenraum-Integration mit "unbegrenzte" Vorfaktor C_{QM} : $C_N \int d^{3N}q \int d^{3N}p \dots$	Spur $\text{Tr}(\dots) = \sum_m \langle m \dots m \rangle$
• $\{\rho, H\} = 0$	$[\hat{\rho}, \hat{H}] = 0$

Statistische Entropie

$$S(\hat{\rho}) := -k_B \langle \ln \hat{\rho} \rangle$$

$$= -k_B \text{Tr}(\hat{\rho} \ln \hat{\rho})$$

auch für Nichtgleichgewichtszustände

3.2 Die Gleichgewichtsensemble der Quantenstatistik

Erwartungswerte $\langle \hat{A} \rangle = \text{Tr}(\hat{\rho} \hat{A})$

im therm. GG $\frac{d\langle \hat{A} \rangle}{dt} = 0$

Spezialfall $\hat{A} = \hat{\rho} \rightarrow \frac{d\hat{\rho}}{dt} = 0$

Mikrokanonisches Ensemble

isoliertes System mit Energie in $[E, E + \Delta]$

therm. GG $[\hat{\rho}, \hat{H}] = 0 \rightarrow$ gemeinsame Eigenbasis

$$\hat{H}|n\rangle = E_n |n\rangle$$

$$\hat{\rho} \text{ diagonal: } \hat{\rho} = \sum_n p_n |n\rangle \langle n|$$

Postulat der a-priori-Gleichwahrscheinlichkeit:

$$p_n = \frac{1}{N} \begin{cases} 1 & E \leq E_n \leq E + \Delta \\ 0 & \text{sonst} \end{cases}$$

Normierung: $\text{Tr}(\hat{\rho}) \stackrel{!}{=} 1$

$$\sum_n \langle n | \hat{\rho} | n \rangle = \sum_{m,n} \langle n | p_n | n \rangle \overbrace{\langle n | n \rangle}^{\delta_{nm}}$$

$$= \frac{1}{N} \sum_{n \in \Omega_\Delta} 1 \stackrel{!}{=} 1$$

$$\rightarrow N = \sum_{n \in \Omega_\Delta} 1$$

Ω_Δ : Zustände mit $E \leq E_n \leq E + \Delta$

Mittelwerte:

klassisch. $\langle A \rangle = c_N \int d^{3N}q \int d^{3N}p e^{(\vec{q}_N, \vec{p}_N)} A(\vec{q}_N, \vec{p}_N)$

QM: $\langle \hat{A} \rangle = \text{Tr}(\hat{\rho} \hat{A})$

$$\begin{aligned} \text{Tr}(\hat{\rho} \hat{A}) &= \sum_n \langle n | \hat{\rho} \hat{A} | n \rangle \\ &= \sum_{n, m} \langle n | \rho_n | n \rangle \langle n | \hat{A} | m \rangle \\ &= \frac{1}{\Omega} \sum_n \langle n | \hat{A} | n \rangle \quad (*) \end{aligned}$$

im Allg. $[\hat{A}, \hat{H}] \neq 0$

$\hat{A} | a_j \rangle = a_j | a_j \rangle$ Eigenbasis von \hat{A}

$| a_j \rangle = \sum_n | n \rangle \langle n | a_j \rangle$ Entwicklung in Energie - EZ

$$\begin{aligned} \text{Tr}(\hat{\rho} \hat{A}) &= \frac{1}{\Omega} \sum_{n \rightarrow j} \langle n | a_j \rangle \langle a_j | \hat{A} | n \rangle \\ &= \frac{1}{\Omega} \sum_n \sum_j a_j |\langle n | a_j \rangle|^2 \quad \triangle \text{ Summe über Zustände (Entartungen)} \end{aligned}$$

Bsp: Energie (oper. ist schon diagonal, d.h. rechnet direkt mit $(*)$)

$$\langle \hat{H} \rangle = \frac{1}{\Omega} \sum_n \langle n | \hat{H} | n \rangle$$

$$= \frac{1}{\Omega} \sum_n E_n \approx E$$

wie in der klass. Statistik

$$S := k_B \ln(\Omega(E))$$

äquivalent zu vorher
gegebener Definition

$$S = -k_B \text{Tr}(\hat{\rho} \ln \hat{\rho})$$

Beweis der Äquivalenz der beiden Entropie-Definitionen:

$$\begin{aligned} \text{Tr}(\hat{\rho} \ln \hat{\rho}) &= \sum_{k, n, m} \langle k | \rho_{kn} | n \rangle \langle n | \ln \rho_{nk} | m \rangle \langle m | k \rangle \\ &= \sum_n P_n \ln P_n = -\frac{1}{\Omega} \sum_{n_k} \ln \Omega \\ &= -\ln(\Omega) \end{aligned}$$

Grenzfall $T \rightarrow 0$ Temperatur gegen Null

a) diskretes Spektrum: System geht in Grundzustand.

$$S = -k_B \ln g$$

g : Entartungsgrad des Grundzustands

falls g nicht entartet: $S = 0$

Nachtrag zur Dichtematrix

14.11.07

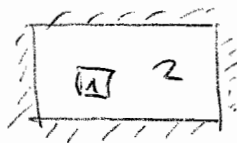
Entwicklung in N -System kann auch kontinuierlich erfolgen

$$| \psi \rangle = \int | x \rangle \langle x | \psi \rangle \quad \text{oder} \quad | \psi \rangle = \int | p \rangle \langle p | \psi \rangle$$

$$\hat{\rho} = | \psi \rangle \langle \psi | = \int \dots$$

Kanonisches Ensemble

$$T = \text{const}$$



$$E = E_1 + E_2$$

$$\hat{H}_1 |n\rangle = E_n |n\rangle$$

$$P_n \sim W_2(E - E_n) \quad \text{wie klassisch}$$

$$W(E) = \sum_n W_1(E_n) W_2(E - E_n)$$

$$E_n \ll E$$

$$\ln W_2(E - E_n) \approx \ln W_2 - \underbrace{\frac{\partial \ln W_2}{\partial E_2}}_{\frac{1}{k_B T} = \beta} \cdot E_n$$

$$W_2 \sim e^{-\beta E_n} \quad \text{also wie klassisch}$$

$$P_n \sim e^{-\beta E_n}$$

$$\hat{\rho} = \sum_n P_n |n\rangle \langle n| \sim \sum_n e^{-\beta E_n} |n\rangle \langle n|$$

$$\sum P_n = 1 \quad \rightarrow \text{Normierungskonstante der Propert.}$$

$$\hat{\rho} = \frac{1}{Z_n} \sum_n e^{-\beta E_n} |n\rangle \langle n| = \frac{1}{Z_n} e^{-\beta \hat{H}} \sum_n |n\rangle \langle n|$$

$$\rightarrow \hat{\rho} = \boxed{\frac{1}{Z_n} \cdot e^{-\beta \hat{H}}} \quad \text{Tr}(\hat{\rho}) = 1$$

$$Z_n = Z_n(T) = \sum_n e^{-\beta E_n} = \text{Tr}(e^{-\beta \hat{H}}) \quad \text{Zustandssumme}$$

freie Potential

$$F := -k_B T \ln(Z_N(T))$$

Mittelwert

$$\langle A \rangle = \text{Tr}(\hat{\rho} \hat{A}) = \frac{\text{Tr}(e^{-\beta \hat{H}} \hat{A})}{\text{Tr}(e^{-\beta \hat{H}})}$$

... analog zur klassik

→ Äquivalenz klassisch u. mikrokan. im Mittel

Bsp.: 2 nicht (selbst)wechselwirkende Systeme

$$\begin{aligned} Z_N &= \text{Tr}(e^{-\beta \hat{H}}) = \text{Tr}(e^{-\beta(H_1 + H_2)}) \\ &= \sum_{n_1} e^{-\beta E_{n_1}} \cdot \sum_{n_2} e^{-\beta E_{n_2}} \\ &= Z_N^{(1)}(T) \cdot Z_N^{(2)}(T) \end{aligned}$$

→ $F(T) = F_1(T) + F_2(T)$ Extensivität der freien Energie

Verhalten bei $T \rightarrow 0$

$$P_n = \frac{e^{-\beta E_n}}{\sum_m e^{-\beta E_m}} = \frac{e^{-\beta(E_n - E_0)}}{\sum_m e^{-\beta(E_m - E_0)}}$$

$$\forall E_n > E_0$$

$$P_n \xrightarrow{T \rightarrow 0} 0$$

exponentiell

$\hat{e} \xrightarrow{T \rightarrow 0} |0\rangle \langle 0|$ Projektion auf Grundzustand

$S \xrightarrow{T \rightarrow 0} 0$ für nicht-entarteten Grundzustand

3. Hauptsatz der Thermodynamik

Die Entropie bei $T=0$ ist eine universelle Konstante (d.h. unabhängig von den Parametern des Systems), die man zu Null wählen kann

$$\lim_{\substack{\beta \rightarrow \infty \\ V \rightarrow \infty}} \frac{S}{V} = 0$$

d.h. bei $T \rightarrow 0$ ist die Entropie nicht mehr extensiv!

$$S = -k_B \ln(\Omega)$$

Ω = Zahl der EZ mit Energie $< E + \Delta$

Ω = Entartungsgrad des GE

+ Zahl der schwach angeregten EZ

$$\therefore \text{Allg. } \Omega = \Omega(V)$$

$$\frac{\ln \Omega}{V} \rightarrow 0$$

Ω wächst schwächer als exponentiell mit dem Volumen

- nicht streng zu beweisen

- nur quantenmechanisch verständlich

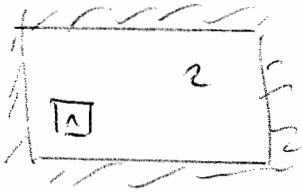
Bsp. klass. ideal. Gas

$$S = k_B N \left[\frac{5}{2} + \ln \frac{V h^3}{N (2\pi m k_B T)^{3/2}} \right] \quad S \rightarrow \infty \neq 0$$

← Entropie im klassischen Fall

→ $T \rightarrow 0$ muss quantenmechanisch betrachtet werden

Großkanonisches Ensemble



$$E = E_1 + E_2$$

$$N = N_1 + N_2$$

\mathcal{H}_N für festes N

→ Produkttraum $\mathcal{F} = \bigotimes_{N=0}^{\infty} \mathcal{H}_N$

Diese genaue Betrachtung verschieben wir aber noch

$$P_n(N_1) \sim W_2(E - E_1(N_1), N - N_1)$$

$$E_1(N_1) \ll E$$

$$N_1 \ll N$$

$$\ln W_2(E - E_1(N_1), N - N_1) \approx \frac{1}{k_B} S_2(E, N) - \frac{\frac{1}{k_B T}}{\left. \frac{\partial \ln W_2}{\partial E_2} \right|_{E_1(N_1), N_2, E_2 = E}} - \frac{\frac{\partial \ln W_2}{\partial N_2} \Big|_{N_2 = N}}{-\frac{\mu}{k_B T}} \cdot N_1$$

$$W_2 \sim e^{-\beta(E_1(N_1) - \mu N)}$$

$$P_n(N_1) \sim e^{-\beta(E_1(N_1) - \mu N)}$$

$$\hat{\rho} \sim \sum_N \sum_{\nu} e^{-\beta(E_1(N) - \mu N)} |\nu(N)\rangle \langle \nu(N)|$$

Teilchen Energie-
Zahl Zustände

$$\hat{\rho} \sim e^{-\beta(\hat{H}_N - \mu \hat{N})} \sum |n(N)\rangle \langle n(N)|$$

$$\text{Tr}(\hat{\rho}) \stackrel{!}{=} 1$$

$$\rightarrow \hat{\rho} = \frac{e^{-\beta(\hat{H}_N - \mu \hat{N})}}{\text{Tr}(e^{-\beta(\hat{H}_N - \mu \hat{N})})} \leftarrow Z_g$$

Energie - Teilchen - Darstellung

$$\begin{aligned} Z_g &= \sum_{N=0}^{\infty} \sum_n e^{-\beta(E_N(N) - \mu N)} \\ &= \sum_{N=0}^{\infty} z^N z_N(T) \end{aligned} \quad z = e^{\beta \mu}$$

$$S := -k_B \langle \ln \hat{\rho} \rangle = -k_B \text{Tr}(\hat{\rho} \ln \hat{\rho})$$

$$\langle \hat{A} \rangle = \text{Tr}(\hat{\rho} \hat{A}) = \frac{\text{Tr}(e^{-\beta(\hat{H}_N - \mu \hat{N})} \hat{A})}{\text{Tr}(e^{-\beta(\hat{H}_N - \mu \hat{N})})}$$

3.3 Beispiele

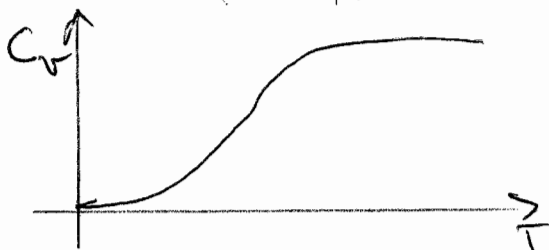
Wärmekapazität im Festkörper

$$C := \frac{\partial Q}{\partial T} = T \frac{\partial S}{\partial T}$$

Wärmemenge, um Temp. eines Körpers um 1K zu erhöhen

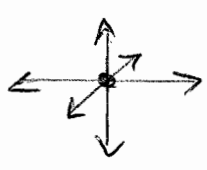
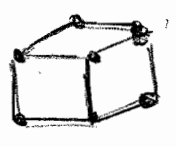
Bei konstantem Volumen: spez. Wärme

$$C_V = T \left(\frac{\partial S}{\partial T} \right)_{V,N} \stackrel{\frac{\partial S}{\partial E} = \frac{1}{T}}{=} \left(\frac{\partial E}{\partial T} \right)_{V,N}$$



Experimenteller Verlauf

Modell = Gitter



N Atome

→ 3N harmon. Oszillatoren

klassisch $H(p, q) = \sum \frac{p^2}{2m} + \frac{m\omega^2}{2} q^2$

$$\rho(\vec{p}_N, \vec{q}_N) = \frac{e^{-\beta \sum_{i=1}^{3N} (\frac{p_i^2}{2m} + \frac{m\omega^2}{2} q_i^2)}}{\int \prod_{i=1}^{3N} dp_i dq_i e^{-\beta \sum_{i=1}^{3N} H_i}}$$

$$\langle E \rangle = \int \prod_{i=1}^{3N} dp_i dq_i \rho H$$

benutzt Gleichverteilungsgesetz

1 harmon. Oszillator $\langle v \rangle = \frac{3N}{2} k_B T$

$\langle E_{kin} \rangle = \frac{3N}{2} k_B T \rightarrow \langle E \rangle = 3N k_B T$

→ $c_v = 3 N k_B$ Dulong - Petit'sche Regel

korrekt für hohe Temperaturen

Einsteinsche Theorie

nicht 3N klassische Oszillatoren, sondern 3N quantenmech. Oszillatoren, alle Osz. mit derselben Frequenz

$$|3N\rangle = |n_1\rangle |n_2\rangle \dots |n_{3N}\rangle = |n_1 \dots n_{3N}\rangle$$

$$E_{n_i} = \hbar\omega (n_i + \frac{1}{2})$$

$$E = \hbar\omega \sum_{i=1}^{3N} (n_i + \frac{1}{2})$$

$$\begin{aligned}
Z_{3N}(T) &= \text{Tr} (e^{-\beta \hat{H}}) = \sum_{\{n_i\}} e^{-\beta \hbar \omega \sum_j (n_j + \frac{1}{2})} \\
&= \sum_{\{n_i\}} e^{-\beta \hbar \omega (n_1 + \frac{1}{2})} \cdot e^{-\beta \hbar \omega (n_2 + \frac{1}{2})} \dots \\
&= \left[\sum_{n=0}^{\infty} e^{-\beta \hbar \omega (n + \frac{1}{2})} \right]^{3N} \\
&= [Z_1(T)]^{3N}
\end{aligned}$$

$$\begin{aligned}
Z_1(T) &= \sum_{n=0}^{\infty} e^{-\beta \hbar \omega (n + \frac{1}{2})} \\
&= e^{-\frac{1}{2} \beta \hbar \omega} \cdot \sum_{n=0}^{\infty} e^{-\beta \hbar \omega n} \quad \text{let } b := -\beta \hbar \omega \\
&= \sum_{n=0}^{\infty} e^{-n \ln b} \\
&\stackrel{|b| < 1}{=} \sum_{n=0}^{\infty} b^n = \frac{1}{1-b} = \frac{1}{1 - e^{-\beta \hbar \omega}}
\end{aligned}$$

$$Z_1(T) = \frac{e^{-\frac{1}{2} \beta \hbar \omega}}{1 - e^{-\beta \hbar \omega}}$$

$$Z_{3N}(T) = \left[\frac{e^{-\frac{1}{2} \beta \hbar \omega}}{1 - e^{-\beta \hbar \omega}} \right]^{3N} = \left[\frac{1}{2 \cosh(\frac{1}{2} \beta \hbar \omega)} \right]^{3N}$$

$$\begin{aligned}
\langle E \rangle &= -\frac{\partial}{\partial \beta} \ln Z_{3N} = 3N \frac{\partial}{\partial \beta} \left[\frac{1}{2} \beta \hbar \omega + \ln(1 - e^{-\beta \hbar \omega}) \right] \\
&= \frac{3}{2} N \hbar \omega + \frac{3N \hbar \omega e^{-\beta \hbar \omega}}{1 - e^{-\beta \hbar \omega}} \\
&\xrightarrow{T \rightarrow 0} \frac{3}{2} N \hbar \omega
\end{aligned}$$

$$C_v = \frac{\partial E}{\partial T} = - \frac{1}{k_B T^2} \frac{\partial}{\partial \beta} \left[3N k_B \omega \left(\frac{1}{2} + \frac{e^{-\beta \hbar \omega}}{1 - e^{-\beta \hbar \omega}} \right) \right]$$

$$= \dots = \dots \quad \text{minus? vgl. Üb. 7}$$

$$= \frac{3N (\hbar \omega)^2}{k_B T^2} \frac{e^{-\beta \hbar \omega}}{(1 - e^{-\beta \hbar \omega})^2}$$

$$= 3N k_B (\beta \hbar \omega)^2 \frac{e^{-\beta \hbar \omega}}{(1 - e^{-\beta \hbar \omega})^2}$$

hohe T $\beta \rightarrow 0$

Entwickle Form $x^2 \frac{e^{-x}}{(1 - e^{-x})^2} \approx x^2 \frac{(1-x)}{(1-1+x)^2} = 1-x$

$C_v \rightarrow 3N k_B$ klass. Grenzfall

tiefe T $\beta \rightarrow \infty$

$C_v \rightarrow 0$

kompatibel mit dem 3. Hauptsatz

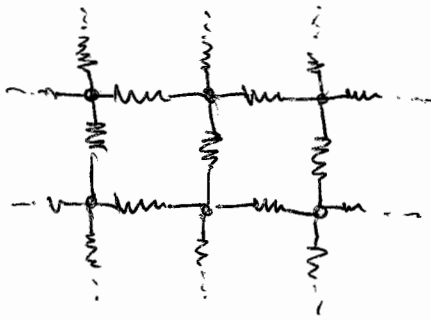
qualitativ folgt der Verlauf dem Experiment.

Ergebnis, quantitativ noch nicht.

detailliertes Modell: Debye

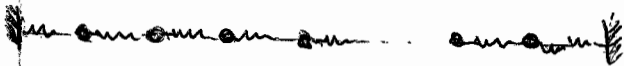
Debye - Modell

16.11.07



Atome gekoppelt (linear)

in 1D:



$$\lambda_i = \frac{2l}{l} \quad k_i = \frac{2\tau}{\lambda_i} \rightarrow \max \omega_D$$

$$\hat{H}_{1D} = \sum_{j=1}^N \frac{p_j^2}{2m} + \frac{k}{2} \sum_{j=2}^N (\hat{u}_{j+1} - \hat{u}_j)^2 + \frac{k}{2} \hat{u}_1^2 + \frac{k}{2} \hat{u}_N^2$$

$$\hat{u}_N = \hat{x}_N - \hat{x}_N^0 \quad \text{Auslenkung}$$

in Matrixform:

$$\begin{aligned} \hat{H}_{1D} &= \frac{1}{2m} (\hat{p}_1 \dots \hat{p}_N) \cdot \mathbb{1} \cdot \begin{pmatrix} \hat{p}_1 \\ \vdots \\ \hat{p}_N \end{pmatrix} + \frac{m}{2} \frac{k}{m} (u_1 \dots u_N) \begin{pmatrix} 2 & -1 & 0 \\ -1 & 2 & -1 \\ 0 & -1 & 2 & \ddots \\ \vdots & \ddots & \ddots & \ddots \\ 0 & \dots & -1 & 2 \end{pmatrix} \begin{pmatrix} \hat{u}_1 \\ \hat{u}_2 \\ \vdots \\ \hat{u}_N \end{pmatrix} \\ &= \frac{1}{2m} \hat{p}_N^T \mathbb{1} \hat{p}_N + \frac{m}{2} \hat{u}_N^T V \hat{u}_N \end{aligned}$$

Suchen orthogonale Transformation X

$$X^T V X = \Lambda \quad ; \quad \Lambda = \begin{pmatrix} \omega_1^2 & & \\ & \omega_2^2 & \\ & & \ddots \end{pmatrix}$$

$$y_j = \sum_i x_{ji} Q_i \quad p_j = \sum_i x_{ji} P_i$$

$$H_{1D} = \frac{1}{2m} \sum_i P_i^2 + \frac{m}{2} \sum_i \omega_i^2 Q_i^2$$

alternativ:

$$H_{1D} = \sum_i \hbar \omega_i \left(\hat{n}_i + \frac{1}{2} \right) \quad \text{Phonondarstellung}$$

$$Z_N(T) = \text{Tr} (e^{-\beta \hat{H}})$$

$$= \sum_{n_1=0}^{\infty} \sum_{n_2=0}^{\infty} \sum_{n_3=0}^{\infty} e^{-\beta \hbar \omega_1 (n_1 + \frac{1}{2})} e^{-\beta \hbar \omega_2 (n_2 + \frac{1}{2})} \dots e^{-\beta \hbar \omega_N (n_N + \frac{1}{2})}$$

$$\sum_{n_j=0}^{\infty} e^{-\beta \hbar \omega_j (n_j + \frac{1}{2})} = e^{\frac{1}{2} \beta \hbar \omega_j} \sum_{n_j=0}^{\infty} e^{-\beta \hbar \omega_j n_j}$$

$$= \frac{e^{-\frac{1}{2} \beta \hbar \omega_j}}{e^{-\beta \hbar \omega_j} + 1}$$

$$Z_N(T) = \prod_{j=1}^N \frac{e^{-\frac{1}{2} \beta \hbar \omega_j}}{1 - e^{-\beta \hbar \omega_j}}$$

$$\langle E \rangle = -\frac{\partial}{\partial \beta} \ln Z_N(T)$$

$$= \sum_{i=1}^N \frac{1}{2} \hbar \omega_i + \sum_{i=1}^N \frac{\hbar \omega_i}{e^{\beta \hbar \omega_i} - 1}$$

$\sum_i \rightarrow \int$ (kontinuierliches Gitter)

$$N = \sum_i 1 \approx \int di = \int_0^{\omega_D} \underbrace{\left(\frac{di}{d\omega}\right)}_{D(\omega)} d\omega$$

$$\text{Zustandsdichte} = \frac{\# \text{ Phonon modes}}{\text{Frequenzintervall}}$$

$$\omega_i = c k_i = \frac{c \sqrt{3}}{L} \cdot i$$

$$\frac{di}{d\omega} = \frac{L}{c \sqrt{3}} = D(\omega) = \text{const}$$

$$\rightarrow N \approx \int_0^{\omega_D} \frac{di}{d\omega} d\omega = \frac{L \omega_D}{c \sqrt{3}}$$

$$\rightarrow \omega_D = \frac{c \sqrt{3} N}{L}$$

Debye-Frequenz
(D)

$$\langle E \rangle = \frac{1}{2} \int_0^{\omega_0} \hbar \omega D(\omega) d\omega + \int_0^{\omega_0} \hbar \omega u(\omega) D(\omega) d\omega$$

$$u(\omega) = \frac{1}{e^{\beta \hbar \omega} - 1}$$

Beitrag der Nullpunkts-
energie

Temperaturabhängiger
Beitrag

$$C_V = \left. \frac{\partial \langle E \rangle}{\partial T} \right|_V$$

$$= \frac{-1}{k_B T^2} \frac{\partial}{\partial \beta} \int_0^{\omega_0} \frac{\hbar \omega}{e^{\beta \hbar \omega} - 1} \frac{N}{\omega_0} d\omega$$

$$= \frac{N k_B}{\omega_0} \int_0^{\omega_0} \frac{(\beta \hbar \omega)^2 e^{\beta \hbar \omega}}{(e^{\beta \hbar \omega} - 1)^2} d\omega$$

hohe Temperatur: $\beta \rightarrow 0$

$$\int_0^a dx \frac{x^2 e^x}{e^x - 1} \approx \int_0^a dx \frac{x^2 (1+x)}{(1+x-1)^2} = a$$

$C_V \rightarrow N k_B$ klassischer Grenzfall

tiefe Temperatur: $\beta \rightarrow \infty$ also $\hbar \omega_0 \beta \gg 1$

Integration bis unendlich

$$\int_0^{\infty} dx \frac{x^2 e^x}{(e^x - 1)^2}$$

$$C_V \rightarrow \frac{N k_B^2 T^2 \pi^2}{3 \hbar \omega_0} = \frac{N k_B \pi^2}{3} \left(\frac{T}{T_D} \right)$$

$$T_D = \frac{\hbar \omega_0}{k_B} \quad \text{Debye-Temperatur}$$

Hinweise für den 3D-Fall:

- $D(\omega) \sim \omega^2$
- longitudinale / transversale Ausbreitung mit versch. k
- 3N Freiheitsgrade

$$\rightarrow \langle E \rangle = \frac{q}{8} N \hbar \omega_0 + \frac{qN}{\omega_0^3} \int_0^{\omega_0} \frac{\hbar \omega^3}{e^{\beta \hbar \omega} - 1} d\omega$$

$$C_V = \frac{\partial \langle E \rangle}{\partial T}$$

$$= 9Nk_B \frac{T^3}{T_0^3} \int_0^{\beta \hbar \omega_0} \frac{x^4 e^x}{(e^x - 1)^2} dx$$

$$\beta \rightarrow 0$$

$$\int_0^{\beta \hbar \omega_0} \frac{x^4 (1+x)}{(1+x-1)^2} dx = \int_0^{\beta \hbar \omega_0} x^2 dx = \frac{1}{3} (\beta \hbar \omega_0)^3$$

$$C_V \rightarrow 3Nk_B$$

$$\beta \rightarrow \infty$$

$$\beta \hbar \omega_0 \gg 1$$

$$\int_0^{\infty} dx \frac{x^4 e^x}{(e^x - 1)^2} = \frac{4}{15} \pi^4$$

$$C_V \rightarrow \frac{12}{5} \pi^4 \frac{Nk_B}{T_0^3} T^3 \quad \text{"Debye'sches } T^3 \text{-Gesetz"}$$

kompatibel mit 3. NS und dem Experiment

Photonengas

Strahlungsfeld im Hohlraum (\rightarrow Quantisierung) mit
Volumen V

QFT: j.d. Wellenzahl u. Polarisationsrichtung ent-
spricht einem harm. Oszillator (aber ohne Nullpunkts-
energie)

$$\hat{H} = \sum_{\vec{k}, \lambda} \epsilon_{\vec{k}} \hat{n}_{\vec{k}, \lambda} \quad \text{Ho ohne Nullpunktsenergie}$$

$$\epsilon_{\vec{k}} = \hbar c |\vec{k}| = \hbar \omega$$

$\lambda = 1, 2$ Polarisationsrichtungen

$$Z = \text{Tr}(e^{-\beta \hat{H}})$$
$$= \sum_{\{n_{\vec{k}, \lambda}\}} e^{-\beta \sum_{\vec{k}} \epsilon_{\vec{k}} n_{\vec{k}, \lambda}}$$

Abg \rightarrow $\left[\prod_{\vec{k}} \frac{1}{1 - e^{-\beta \epsilon_{\vec{k}}}} \right]^2$

freie Energie:

$$F = -k_B T \ln Z$$
$$= -2 k_B T \ln \left(\prod_{\vec{k}} (1 - e^{-\beta \epsilon_{\vec{k}}})^{-1} \right)$$
$$= 2 k_B T \sum_{\vec{k}} \ln (1 - e^{-\beta \epsilon_{\vec{k}}})$$

$$\sum_{\vec{k}} \rightarrow \int d\vec{k} D(k)$$

$$D(\omega) = \frac{V}{2\pi^2 c^3} \omega^2$$

$$F = 2k_B T \frac{V}{2\pi^2 c^3} \int_0^{\infty} d\omega \omega^2 \ln(1 - e^{-\beta \hbar \omega})$$

← keine Abschnide frequenz

$$= k_B T \frac{V}{\pi^2 c^3} \frac{1}{(\beta \hbar)^3} \int_0^{\infty} dx x^2 \ln(1 - e^{-x})$$

$x := \beta \hbar \omega$

part. Int. $\int_0^{\infty} dx x^2 \ln(1 - e^{-x})$

$$= \frac{x^3}{3} \ln\left(\frac{1}{e^x - 1}\right) \Big|_0^{\infty} - \frac{1}{3} \int_0^{\infty} dx x^3 \frac{e^{-x}}{1 - e^{-x}}$$

$$F = - \frac{V}{3\pi^2 (\hbar c)^3} (k_B T)^4 \underbrace{\int_0^{\infty} dx x^3 \frac{1}{e^x - 1}}_{\pi^4/15}$$

$$\boxed{F = - \frac{4}{3} \frac{\sigma}{c} V T^4}$$

$$\sigma = \frac{\pi^2 k_B^4}{60 \hbar^3 c^2}$$

Stefan-Boltzmann
Konstante

weitere Größen über part. Abbildung aus der
Freien Energie

$$S = - \left. \frac{\partial F}{\partial T} \right|_V = \frac{16\sigma}{3c} V T^3$$

$$P = - \left. \frac{\partial F}{\partial V} \right|_T = \frac{4\sigma}{3c} T^4 \quad \text{Zustandsgleichung}$$

$$\langle E \rangle = F + TS = \frac{4\sigma}{3} V T^4 \quad \text{Stefan-Boltzmann-Gesetz}$$

oder

$$\langle E \rangle = - \frac{\partial}{\partial \beta} \ln Z = \frac{V}{\pi^2 c^3} \int_0^{\infty} \frac{\hbar \omega^3}{e^{\beta \hbar \omega} - 1} d\omega$$

$$\frac{\langle E \rangle}{V} = \int_0^{\infty} u(\omega) d\omega \quad u(\omega) : \text{Spektrale Energiedichte}$$

→ Plancksches Strahlungsgesetz

3.4 Das Prinzip der maximalen Entropie

Axiomatische Herleitung der stat. Mechanik,
anstatt aus dem Mikrokanonischen Ensemble

$$S := -k_B \langle \ln \hat{\rho} \rangle = -k_B \text{Tr} (\hat{\rho} \ln \hat{\rho})$$

von Neumann

- $S = 0$ Min für reinen Zustand
da $\hat{\rho} = \sum P_n |n\rangle \langle n|$
- alle Zustände gleichwahrscheinlich $\hat{\rho} = \frac{1}{\omega} \mathbb{1}$
 $\leftrightarrow S = \text{max.}$

Der Dichtepoperator $\hat{\rho}$, der den Gleichgewichtszustand eines makroskopischen Systems beschreibt, ist durch ein Maximum der Entropie gegeben, die diesem Zustand zugeordnet ist, wobei die Bedingungen $\text{Tr}(\hat{\rho}) = 1$ und $\text{Tr}(\hat{\rho} \hat{A}_i) = \langle A_i \rangle$ für die Menge der makroskop. Erhaltungsgrößen $\{\hat{A}_i\}$ erfüllt sein müssen

Extremum:

$$0 \stackrel{!}{=} d \left(\frac{1}{k_B} S(\hat{\rho}) - \sum_i \lambda_i \text{Tr}(\hat{\rho} \hat{A}_i) - \nu \text{Tr}(\hat{\rho}) \right)$$

λ_i, ν Lagrange-Multiplikatoren

Einsetzen:

$$0 \stackrel{!}{=} d[\text{Tr}(\hat{\rho} \ln \hat{\rho}) - \sum_i \lambda_i \text{Tr}(\hat{\rho} \hat{A}_i) - \nu \text{Tr}(\hat{\rho})]$$
$$d(\hat{\rho} \ln \hat{\rho}) = d\hat{\rho} \ln \hat{\rho} + d\hat{\rho} = d\hat{\rho} (\ln \hat{\rho} + 1)$$

2

$$0 \stackrel{!}{=} -\text{Tr} \left[d\hat{\rho} (\ln \hat{\rho} + 1 + \nu + \sum_i \lambda_i \hat{A}_i) \right]$$

$$= -\sum_{nm} \langle n | d\hat{\rho} | m \rangle \langle m | (\ln \hat{\rho} + 1 + \nu + \sum_i \lambda_i \hat{A}_i) | n \rangle$$

$\langle n | d\hat{\rho} | n \rangle$, $d\hat{\rho}$ muss hermiteschen

→ unabh. Variationen

$$\langle n | d\hat{\rho} | n \rangle$$

$$\langle n | d\hat{\rho} | n \rangle + \langle n | d\hat{\rho} | n \rangle$$

$$i (\langle n | d\hat{\rho} | n \rangle - \langle n | d\hat{\rho} | n \rangle)$$

$$\rightarrow \underbrace{\langle n | (\ln \hat{\rho} + 1 + \nu + \sum_i \lambda_i \hat{A}_i) | n \rangle}_{\stackrel{!}{=} 0} = 0$$

$$\ln(\hat{\rho}) = - (1 + \nu + \sum_i \lambda_i \hat{A}_i)$$

$$\hat{\rho} = e^{-\sum_i \lambda_i \hat{A}_i - 1 - \nu}$$

$$; z := e^{\nu+1}$$

$$\rightarrow \boxed{\hat{\rho} = \frac{1}{z} e^{-\sum_i \lambda_i \hat{A}_i}}$$

Genaue Bestimmung von z (Best. Lagrange-Mult.)

$$\nu \text{ aus } \text{Tr}(\hat{\rho}) = 1$$

$$\rightarrow z = \text{Tr} (e^{-\sum_i \lambda_i \hat{A}_i}) \quad \text{allg. Zustandssumme}$$

Maximum? (bisher nur Extremum gezeigt)

Lemma: Für bel. positiv-semidefinite op. \hat{X} und \hat{Y} gilt:

$$\text{Tr}(\hat{X} \hat{Y}) - \text{Tr}(\hat{X} \ln \hat{X}) \leq \text{Tr}(\hat{Y}) - \text{Tr}(\hat{X})$$

gleich falls $\hat{X} = \hat{Y}$

$$\hat{x} |u\rangle = x_u |u\rangle$$

$$\hat{y} |q\rangle = y_q |q\rangle$$

für $x_u, y_q \neq 0$

$$\begin{aligned} & \sum_{mq} \langle u | \hat{x} |u\rangle \langle q | \hat{y} |q\rangle \langle q | u\rangle - \sum_u \langle u | \hat{x} |u\rangle \langle u | \hat{x} |u\rangle \\ &= \sum_{mq} x_u \ln y_q |\langle u | q\rangle|^2 - \sum_u x_u \ln x_u \underbrace{\langle u | u\rangle}_{\sum |q\rangle \langle q|} \\ &= \sum_{mq} x_u \ln \left(\frac{y_q}{x_u} \right) |\langle u | q\rangle|^2 \end{aligned}$$

$$\begin{aligned} \ln x &\leq x-1 \\ \ln &= x-1 \quad \text{falls } x=1 \end{aligned}$$

$$\begin{aligned} &\leq \sum_{mq} |\langle u | q\rangle|^2 (y_q - x_u) \\ &= \text{Tr}(\hat{y}) - \text{Tr}(\hat{x}) \end{aligned}$$

für $y_q = 0$: linke Seite $\rightarrow -\infty$

21.11.07

noch zu zeigen: nicht nur Extremum, sondern ^{g. o. d.} Maximum

Speziell für normierte \hat{x}, \hat{y} :

$$\text{Tr}(\hat{x} \ln \hat{y}) \leq \text{Tr}(\hat{x} \ln \hat{x})$$

betrachte $\hat{\rho} = \frac{1}{Z} e^{-\sum \lambda_i \hat{A}_i}$ und $\hat{\sigma} = \text{Tr}(\hat{\rho} \hat{A}_i) = \langle \hat{A}_i \rangle$

$$\begin{aligned} S(\hat{\rho}) &= -k_B \text{Tr}(\hat{\rho} \ln \hat{\rho}) \\ &\leq -k_B \text{Tr}(\hat{\rho} \ln \hat{\rho}) \quad \ln \hat{\rho} = -\sum \lambda_i \hat{A}_i - \ln Z \\ &= \dots = k_B \ln Z + k_B \text{Tr}(\hat{\rho} \sum \lambda_i \hat{A}_i) \\ S(\hat{\rho}) &= -k_B \text{Tr}[\hat{\rho} (-\ln Z - \sum \lambda_i \hat{A}_i)] \\ &= S(\hat{\rho}) \end{aligned}$$

$\rightarrow S(\hat{\rho}) \leq S(\hat{\rho}) \rightarrow S(\hat{\rho})$ Maximum

Nebenprodukt: Näherungsverfahren

$$\frac{1}{\ln 2} S(\hat{\rho}) - \sum_i \lambda_i \text{Tr}(\hat{\rho} A_i) \leq \ln 2$$

Beste Näherung $\hat{\rho}$ (für $\hat{\rho}$) maximiert linke Seite

Allgemeine Zustandssumme

$$Z = \text{Tr}(e^{-\sum_i \lambda_i A_i}) = Z(\{\lambda_i\})$$

↳ erzeugende Fkt. $\mu_X(t) := \langle e^{tX} \rangle$

$$\langle A_i \rangle = \frac{1}{Z} \text{Tr}(e^{-\sum_j \lambda_j \hat{A}_j} A_i)$$

$$= -\frac{1}{Z} \frac{\partial}{\partial \lambda_i} \text{Tr}(e^{-\sum_j \lambda_j \hat{A}_j})$$

$$= \frac{1}{Z} \frac{\partial}{\partial \lambda_i} Z$$

$$\langle A_i \rangle = -\frac{\partial}{\partial \lambda_i} \ln Z$$

für $[\hat{A}_i, \hat{A}_j] = 0$:

$$\begin{aligned} \frac{\partial^2 \ln Z}{\partial \lambda_i \partial \lambda_j} &= \frac{1}{Z} \text{Tr}(e^{-\sum_k \lambda_k \hat{A}_k} \hat{A}_i \hat{A}_j) \\ &\quad - \frac{1}{Z^2} \text{Tr}(e^{-\sum_k \lambda_k \hat{A}_k} \hat{A}_i) \text{Tr}(e^{-\sum_k \lambda_k \hat{A}_k} \hat{A}_j) \end{aligned}$$

$$\frac{\partial^2 \ln Z}{\partial \lambda_i \partial \lambda_j} = \langle A_i A_j \rangle - \langle A_i \rangle \langle A_j \rangle =: C_{ij}$$

Korrelationsmatrix

für $i=j \rightarrow$ Varianz (Fluktuation)

Beziehung zwischen GG-Entropie und Zustandssumme Z

$$\begin{aligned} \frac{1}{k_B} \cdot S &= - \langle \ln \hat{\rho} \rangle \\ &= - (-\ln Z - \sum_i \lambda_i A_i) \\ &= \ln Z + \sum_i \lambda_i \langle A_i \rangle \end{aligned}$$

$$\begin{aligned} \rightarrow \frac{1}{k_B} S &= \ln Z - \sum_i \lambda_i \frac{\partial}{\partial \lambda_i} \ln Z \\ \ln Z (\{\lambda_i\}) &\rightarrow S (\{\hat{A}_i\}) \end{aligned}$$

$\frac{1}{k_B} S =$ Legendre-Transformierte

Zur Erinnerung: Legendre-Transf.:

$$\begin{aligned} \text{gg. } f(x) &\quad \text{mit } \frac{\partial^2 f}{\partial x^2} \neq 0 \\ \text{gg. } g(u) &\quad u = \frac{\partial f}{\partial x} \\ \rightarrow g &= f - x \frac{\partial f}{\partial x} \end{aligned}$$

infinitesimale Verschiebung des gg

$$\begin{aligned} d \ln Z &= - \sum_i \langle A_i \rangle d\lambda_i & Z &= \text{Tr} (e^{-\sum_i \lambda_i \hat{A}_i}) \\ \langle A_i \rangle &= - \frac{\partial \ln Z}{\partial \lambda_i} \end{aligned}$$

$$\begin{aligned} dS &= k_B \left[d \ln Z - \sum_i d\lambda_i \frac{\partial \ln Z}{\partial \lambda_i} - \sum_i \lambda_i d \left(\frac{\partial \ln Z}{\partial \lambda_i} \right) \right] \\ &= \sum_i \lambda_i k_B d \langle A_i \rangle \end{aligned}$$

natürliche Variablen:

- für S : $\langle \hat{A}_i \rangle$
- für Z : λ_i

$$\begin{aligned} \rightarrow \lambda_i &= \frac{1}{k_B} \frac{\partial S}{\partial \langle \hat{A}_i \rangle} && \text{Veränderung der Entropie bei} \\ d \ln Z &= \frac{S}{k_B} - \sum_i \langle A_i \rangle \frac{\partial}{\partial \lambda_i} \frac{S}{k_B} && \text{Verschiebung des Gleichgewichts} \end{aligned}$$

4. Thermodynamik

→ makroskop. Eigenschaften makroskop. System

↓
wenige Variable
z.B. E, V

↓
viele Freiheitsgrade

→ allg. Aussagen für bel. physikal. Objekt

4 Hauptsätze
↙ Zustandsfg. ↘ Thermodyn. Prozesse

→ mathematisch einfach

Differentiale 1. Ordnung
Legendre-Transformation



$\oint dZ = 0$
Zustandsfkt.

4.1 Grundbegriffe der Thermodynamik

thermodynamische Variable := durch Messvorschrift definierte physikal. Größe

thermodynamischer Zustand := Werte einer endl. Anzahl voneinander unabh. thermodyn. Variable

thermodynamisches System (TDS) := Gesamtheit aller möglicher thermodyn. Zustände

Zustandsgröße (Zustandsvariable) := thermodyn. Variable, die unabhängig von der Vorgeschichte des Systems ist (mg. state variable)

Zustandsfunktion := Zusammenhang zwischen Zustandsgröße

unabhängige Zustandsgröße := kleinstmöglicher Satz von ZG, die ein TDS beschreiben

Bsp.: ideales Gas, N ident. Teilchen in abgeschl. Behält.

ZG: $T, p, V, U, C_v, C_p, \kappa$

→ unabhängig: nur 2

(i) T, V $p = \frac{Nk_B T}{V}$ $U = \frac{3}{2} Nk_B T$
 $C_v = \frac{3}{2} Nk_B$ $C_p = \dots$ $\kappa = \dots$

(ii) U, V $p = \frac{2}{3} \frac{U}{V}$ $T = \frac{2}{3Nk_B} U$
 $C_v = \dots$ $C_p = \dots$ $\kappa = \dots$

intensive Zustandsgröße := unabhängig von der Größe des TDS: $X = X_1 \neq X_2$ 1|2

Bsp. T, p, μ

extensive Zustandsgröße := proportional zur Größe des TDS: $X = X_1 + X_2$

Bsp. V, m, U, S

→ X, Y extensiv → $Z = \frac{X}{Y}$ intensiv

Bilanz - Gley.

$$\frac{dX}{dt} = \frac{d_e X}{dt} + \frac{d_i X}{dt}$$

Fluss durch Produktions-
 obfl. des TDS term

Erhaltungsgröße $d_i X = 0$

Bsp. $m, E, Q, \vec{p}, \vec{L}, \dots$

$$U \leftrightarrow T$$



Ein TDS heißt

- offen: wenn es mit seiner Umgebung Material u. Energie (Wärme) tauschen kann
- geschlossen: wenn es mit seiner Umgebung Wärme, aber nicht Materie tauschen kann (closed system)
- abgeschlossen: keine WW mit Umgebung (isolated system)

Zustandsänderung

$TDS(t_1) \neq TDS(t_2)$

d.h. unabhängige ZG voneinander verschiedene

- (i) spontan Bsp. Wärmeausgleich
- (ii) äußere Einwirkung Bsp. Kompression

→ irreversibel

$TDS(t_1)$ wird mit bleibende Änderungen in Umgebung wieder erreicht

→ reversibel

Weisprozesse (cycles): Anfangs- und Endpunkt sind gleich

23.11.07

Zustandsgrößen

Bsp.: ideales Gas

$$\frac{p \cdot V}{T \cdot N}$$

$$p \cdot V = N k_B T$$

mech. Variable : p	Impuls - Erhaltung
chem. Variable : N	Teilchen - " "
therm. Variable : T	Energie - " "

Bsp.: paramagnetisches Gas

Teilchen mit Spin

Spin-Erhaltung \rightarrow Magnetisierung

$$\vec{M} = \frac{\chi D}{T} \vec{H} \quad ; \quad D = \text{const}$$

Bsp.: Monogenes dielektrisches Medium

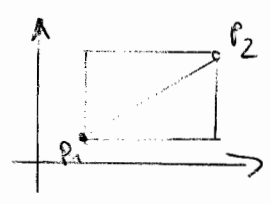


$$\vec{P} = \left(\alpha + \frac{\beta}{T} \right) \vec{E} \quad \text{Polarisation}$$

Erinnerung: Def.: ZG \rightarrow unabhängig von Vorgeschicht

\rightarrow mathematisch: vollständige Differential

$$f(x, y) \quad df = \frac{\partial f}{\partial x} dx + \frac{\partial f}{\partial y} dy$$



$$\Delta f = \int_{P_1}^{P_2} df \quad \text{unabhängig von Weg!}$$

df ist eine vollst. differential, wenn f und seine Ableitungen stetig sind und

$$\frac{\partial}{\partial y} \left[\frac{\partial f}{\partial x} \right]_x = \frac{\partial}{\partial x} \left[\frac{\partial f}{\partial y} \right]_y$$

$$f(x, y) = \int \frac{\partial f}{\partial x} dx + c$$

$$f(x, y) = \int \frac{\partial f}{\partial y} dy + c$$

4.2 Hauptsätze der Thermodynamik

Def: thermisches Gleichgewicht:

Zustandsgrößen ändern sich nicht mehr (mikroskop. Dynamik erlaubt)

them. Gleichgewicht zwischen zwei Systemen: Zustandsgrößen ändern sich nicht mehr, wenn Systeme in Kontakt gebracht werden

0. Hauptsatz (Transitivität d. them. gg)

$$A \sim B, B \sim C \longrightarrow A \sim C$$

→ Thermometer (System A) wird in Kontakt gebracht mit Referenzsystem B (Tripelpunkt von Wasser bei 0°C)

→ A wird in Kontakt mit C gebracht, C kann gemessen werden

Therm. GG \leftrightarrow Es existiert eine skalare ZG Temperatur,
die für 2 Systeme in therm. Gleichgewicht identisch ist.

Dies ist eine äquivalente Form des 0. HS

Eine ~~best~~ Zustandsänderung heißt

- quasi-statisch: ZG des Systems ändern sich so langsam, dass System zu jedem Zeitpunkt im therm. GG ist
- adiabatische System ist während der Zustandsänderung abgeschlossen

1. Hauptsatz (Energieerhaltung)

- 1) Es existiert eine Zustandsgröße "interne Energie" (internal energy), sodass in einem adiabatischen Prozess $(P_i, V_i) \rightarrow (P_f, V_f)$

$$\Delta U = U_f - U_i = \Delta W$$

(unabhängig von Weg) gilt.

- 2) Die von System absorbierte Wärme in einer bel. Zustandsänderung ist definiert als

$$\Delta Q = \Delta U - \Delta W$$

und für eine infinitesimale, quasi-stat.

Zustandsänderung:

$$dQ = dU - dW \quad (Q, W \text{ keine vollst. Differentiale})$$

Einschub: Ehrenfest - Gg.

Zeitentwicklung von Erwartungswerten

$$\begin{aligned} \frac{d}{dt} \langle A \rangle &= \frac{d}{dt} \text{Tr}(\hat{\rho} \hat{A}) \\ &= \text{Tr}\left(\frac{d\hat{\rho}}{dt} \hat{A}\right) + \text{Tr}\left(\hat{\rho} \frac{\partial \hat{A}}{\partial t}\right) \end{aligned}$$

$$i\hbar \frac{\partial \hat{\rho}}{\partial t} = [\hat{H}, \hat{\rho}]$$

$$\begin{aligned} \frac{d}{dt} \langle A \rangle &= \text{Tr}\left(\frac{1}{i\hbar} [\hat{H}, \hat{\rho}] \hat{A}\right) + \left\langle \frac{\partial \hat{A}}{\partial t} \right\rangle \\ &= \frac{1}{i\hbar} \text{Tr}\left(\hat{H} \hat{\rho} \hat{A} - \hat{\rho} \hat{H} \hat{A}\right) + \left\langle \frac{\partial \hat{A}}{\partial t} \right\rangle \\ &= \frac{1}{i\hbar} \text{Tr}\left(\hat{\rho} \hat{A} \hat{H} - \hat{\rho} \hat{H} \hat{A}\right) + \left\langle \frac{\partial \hat{A}}{\partial t} \right\rangle \\ &= \frac{1}{i\hbar} \text{Tr}\left[\hat{\rho} [\hat{A}, \hat{H}]\right] + \left\langle \frac{\partial \hat{A}}{\partial t} \right\rangle \end{aligned}$$

Zyklische
Invarianz der
Spur

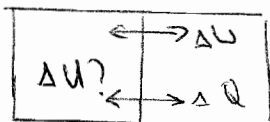
$$\boxed{\frac{d}{dt} \langle \hat{A} \rangle = \frac{1}{i\hbar} \langle [\hat{A}, \hat{H}] \rangle + \frac{\partial \hat{A}}{\partial t}} \quad \text{Ehrenfest - Gg.}$$

Mikroskopische Interpretation des 1. NS

$$U = \langle E \rangle = \text{Tr}(\hat{\rho} \hat{H})$$

(i) isoliertes System

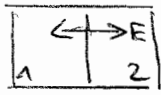
$$i\hbar \frac{d}{dt} U = \langle [\hat{H}, \hat{H}] \rangle = 0$$

(ii) System in Wechselwirkung
Gesamtsystem soll aber isoliert sein

$$\Delta U_{\text{Gegs}} = 0$$

$$\rightarrow \Delta U = \Delta W + \Delta Q$$

→ statistische Definition der Wärme



Schwache WW: Entwicklung zum therm. Gleichgewicht

$$\hat{\rho} \longrightarrow \hat{\rho} + d\hat{\rho}$$

$$dU = \delta Q = \text{Tr}(d\hat{\rho} \hat{H})$$

$$d\hat{\rho} = \sum_n dP_n |n\rangle \langle n|$$

$$\rightarrow \boxed{\delta Q = \sum_n dP_n E_n}$$

→ statistische Definition der Arbeit

$$\hat{H} = \hat{H}(\{\xi_\alpha\}) \quad \xi_\alpha \text{ makroskop. Parameter } \xi_\alpha(t)$$

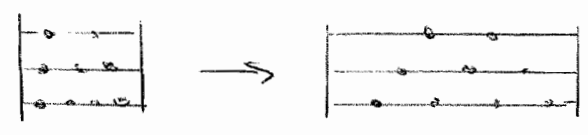
$$\begin{aligned} \delta W &= d\hat{H} = \hat{H}(\{\xi_\alpha + d\xi_\alpha\}) - \hat{H}(\{\xi_\alpha\}) \\ &= \sum_\alpha \frac{\partial \hat{H}}{\partial \xi_\alpha} d\xi_\alpha \end{aligned}$$

$$\begin{aligned} \frac{dU}{dt} &= \left\langle \frac{\partial \hat{H}}{\partial t} \right\rangle = \sum_\alpha \left\langle \frac{\partial \hat{H}}{\partial \xi_\alpha} \right\rangle \frac{d\xi_\alpha}{dt} \\ &= \sum_\alpha \langle X_\alpha \rangle \frac{d\xi_\alpha}{dt} \end{aligned}$$

↑
verallg. Kraft

$$\rightarrow dU = \delta W = \sum_\alpha \langle X_\alpha \rangle d\xi_\alpha = \text{Tr}(\hat{\rho} d\hat{H})$$

Bsp.: Adiabatische Expansion (An Teilden im Vakuum)



entspricht Senkung der Entropie

noch zu zeigen: es wird adiab. Änderung beschrieben

$$dS = -k_B \text{Tr} [d\hat{\rho} (\ln \hat{\rho} + 1)]$$

$$\hat{\rho} \rightarrow \underbrace{\hat{\rho} + d\hat{\rho}}_{\hat{\rho}'}$$

$$\rightarrow \text{Tr} (d\hat{\rho}) = 0$$

$$= -k_B \text{Tr} [d\hat{\rho} \ln \hat{\rho}]$$

$$\text{it } \frac{dS}{dt} = -k_B \text{Tr} \left(\text{it } \frac{d\hat{\rho}}{dt} \ln \hat{\rho} \right)$$

$$= -k_B \text{Tr} ([\hat{A}, \hat{\rho}] \ln \hat{\rho})$$

$$= 0 \hat{=} \text{adiabatisch}$$

in beliebigen quasi-statischen Zustandsänderungen

$$dU = \text{Tr} (d\hat{\rho} \hat{H}) + \text{Tr} (\hat{\rho} d\hat{H})$$

δQ
unkontrolliert
irreversibel

δW
kontrolliert (äußere Parameter)
reversibel

$$\text{allg.: } \boxed{dU = \delta Q + \delta W + \sum_i \mu_i dN_i}$$

$$\delta W = \sum_{\alpha} \langle X_{\alpha} \rangle d\xi_{\alpha}$$

$$= -p dV + \gamma dL + \tau dA + \vec{E} d\vec{P} + \vec{M} d\vec{H}$$

$d\xi_{\alpha}$ verallg. Auslenkung dV, dL, \dots
 $\langle X_{\alpha} \rangle$ --- Kräfte $-p, \gamma, \tau, \dots$

Thermodyn. Interpretation der Wärme:

Wärme $\hat{=}$ Energieform

→ Messvorschrift:

in abgeschlossenem System

$$dU = 0 \rightarrow \delta Q = -\delta W$$

→ 1. HS: es existiert kein Perpetuum mobile 1. Art

$$\oint dU = 0$$

Integral über Kreisprozess

Wärme kraftmaschinen (heat engines)

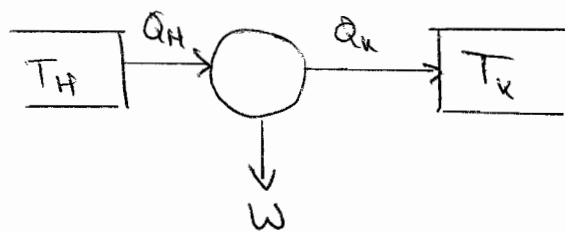
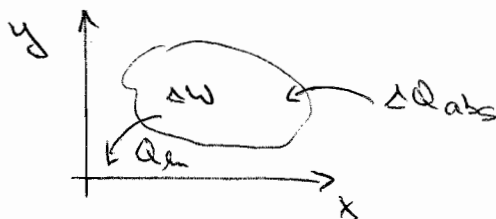
Spezielle Form des Kreisprozesse

Wärme \rightarrow Arbeit

Gas: p, V, T

häufige Variante:

2 Temperatur-Reservoirs:

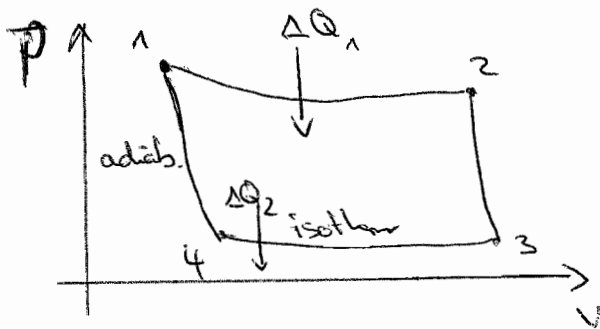


Wirkungsgrad: $\eta := \frac{\Delta W}{\Delta Q}$

$$\Delta U = 0 \rightarrow \Delta W = \Delta Q = Q_{abs} - Q_{em}$$

$$\rightarrow \eta = 1 - \frac{Q_{em}}{Q_{abs}}$$

Carnotscher Kreisprozess



1 → 2 isotherme Expansion bei T_H
Arbeit an Umgebung

2 → 3 adiab. Expansion $T_H \rightarrow T_K$
Arbeit an Umgebung → Kühle

3 → 4 isotherm. Kompression bei T_K
Umgebung: Arbeit an System

4 → 1 adiab. Kompression ($T_K \rightarrow T_H$)
 $\Delta Q = 0$ Umgebung: Arbeit an System
→ Heize

2. Hauptsatz

Kelvin: es existiert kein Kreisprozess, dessen einzige Wirkung darin besteht, einen Körper Wärme zu entziehen und vollständig in Arbeit umzuwandeln

→ kein Perpetuum mobile 2. Art

Clausius: Es gibt keine Zustandsänderung, deren einziges Ergebnis die Übertragung von Wärme von einem Körper niedriger auf einen Körper höherer Temperatur ist.

28.11.07

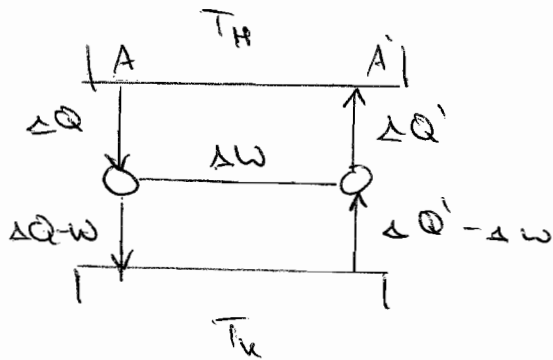
82

Satz von Carnot

Alle reversiblen Kreisprozesse, die zwischen zwei Temperatur-reservoirs ablaufen, haben denselben Wirkungsgrad η_{rev}

$$\eta_{rev} \geq \eta_{irr}$$

Dies kann aus den 2. HS bewiesen werden



A beliebig

A' Carnotscher Kreisprozess
(reversibel)

Angenommen, Satz von Carnot sei falsch,
d.h.

$$\eta_A > \eta_{A'} \Leftrightarrow \frac{\Delta W}{\Delta Q} > \frac{\Delta W}{\Delta Q'} \Leftrightarrow \Delta Q' - \Delta Q > 0$$

Wärmebilanz für kaltes Reservoir

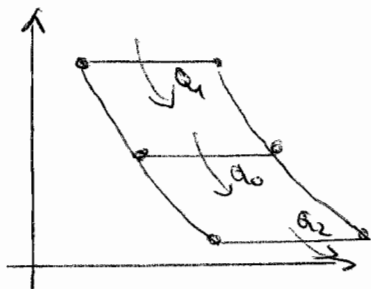
$$\Delta Q' - \Delta W - (\Delta Q - \Delta W) = \Delta Q' - \Delta Q > 0$$

Widerspruch zum 2. HS (Wärme würde von
heißem zu kaltem Reservoir gepumpt)

$$\text{2. HS. verlangt mind. } \Delta Q' - \Delta Q = 0 \Rightarrow \eta_A = \eta_{A'}$$

Ke rollar s

$$\frac{Q_{\text{um}}}{Q_{\text{abs}}} = f(T_H, T_K)$$



$$\frac{Q_0}{Q_1} = f(T_1, T_0)$$

$$\frac{Q_2}{Q_0} = f(T_0, T_2)$$

$$\frac{Q_2}{Q_1} = f(T_1, T_2)$$

$$f(T_1, T_2) = f(T_1, T_0) \cdot f(T_0, T_2) \quad ; T_0 \text{ beliebig!}$$

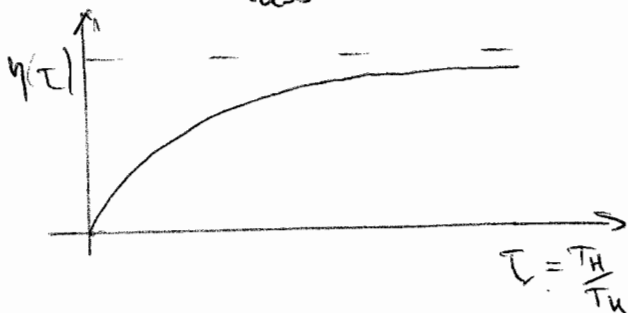
$$= g(T_1) \circ g^{-1}(T_2)$$

→ Definition der absoluten Temperatur

$$\Theta = \alpha \cdot g(T)$$

$$\alpha = \text{const.}$$

$$\eta = 1 - \frac{Q_{\text{um}}}{Q_{\text{abs}}} = 1 - \frac{T_K}{T_H}$$



Bsp.: Carnot-Maschine mit Schwarzkörperstrahlung

gegeben: Zustandsgleichung

$$p = \frac{1}{3} a T^4$$

$$u = a V T^4$$

1. HS benutzen um abgegebene Wärme zu berechnen

$$du = \delta Q + \delta W$$

$$\rightarrow \delta Q = du + p dV$$

$$= \left(\frac{\partial u}{\partial T} \right)_V dT + \left(\frac{\partial u}{\partial V} \right)_T dV + p dV$$

$$= 4a V T^3 dT + \frac{4}{3} a T^4 dV$$

isotherm: $\delta Q = \frac{4}{3} a T^4 dV$

$$\Delta Q = \frac{4}{3} a T^4 \Delta V$$

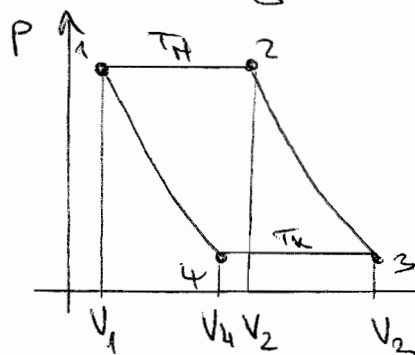
adiabatisch: $\delta Q = 0$

$$\rightarrow \frac{dT}{T} = -\frac{1}{3} \frac{dV}{V}$$

$$\rightarrow T = V^{1/3} = \text{const}$$

$$\rightarrow p V^{4/3} = \text{const.}$$

Vollständiger Kreisprozess im Diagramm



$$1 \rightarrow 2: \Delta Q_{12} = \frac{4}{3} a T_H^4 (V_2 - V_1)$$

$$2 \rightarrow 3: \Delta Q = 0; V_3 = V_2 \left(\frac{T_H}{T_K} \right)^3$$

$$3 \rightarrow 4: \Delta Q_{34} = \frac{4}{3} a T_K^4 (V_4 - V_3)$$

$$4 \rightarrow 1: V_4 = V_1 \left(\frac{T_H}{T_K} \right)^3$$

Bestimmung des Wirkungsgrads:

$$\eta = 1 + \frac{\Delta Q_{34}}{\Delta Q_{12}}$$

$$= 1 + \frac{T_H^k (V_4 - V_3)}{T_H^k (V_2 - V_1)}$$

$$= 1 - \frac{T_K}{T_H} \quad (\text{wie oben gezeigt})$$

$$\frac{\Delta Q_{12}}{T_H} + \frac{\Delta Q_{34}}{T_K} = 0$$

$\rightarrow \frac{\Delta Q}{T}$ ist Zustandsgröße

i. A.: $\eta \leq \eta_{\text{Carnot}}$

$$\rightarrow \frac{\Delta Q_{12}}{T_H} + \frac{\Delta Q_{34}}{T_K} \leq 0$$

$$\rightarrow \boxed{\oint \frac{\delta Q}{T} \leq 0}$$

Satz von Clausius

äquivalent zum 2. HS

$\oint \frac{\delta Q}{T} = 0$ gilt für reversible Kreisprozesse

Diese Definition entspricht der Entropie $\boxed{dS = \frac{\delta Q}{T}}$

$$\rightarrow 2. \text{ HS} \Leftrightarrow S(\{\epsilon_{\text{end}}\}, T_f) - S(\{\epsilon_{\text{an}}\}, T_i)$$

$$= \int_{\text{rev}} \frac{\delta Q}{T} \quad \text{reversibler Pfad}$$

$$\Delta S = S_f - S_i \geq \int_{\text{beliebig}} \frac{\delta Q}{T}$$

Die thermodyn. Entropie gilt nur für Gleichgewichtsprozesse; statistische Def. gilt allg.

Aber: im Gleichgewicht sind beide Def. äquivalent

Um dies zu zeigen:

Microscop. Interpretation des Z -NS

$$\hat{\rho} = \frac{1}{Z(t)} e^{-\beta(t) \hat{H}(t)}$$

$$Z(t) = \text{Tr} (e^{-\beta(t) \hat{H}(t)})$$

$$dS = -d \left\{ k_B \text{Tr} [\hat{\rho} \ln \hat{\rho}] \right\} = k_B \text{Tr} [d\hat{\rho} (\ln Z + \beta \hat{H})]$$

$$\text{Tr} (d\hat{\rho}) = 0 \quad \text{wg. Gleichgewichtszustand}$$

$$= k_B \beta \text{Tr} (d\hat{\rho} \hat{H})$$

$$1. \text{ NS} \quad \delta Q = \text{Tr} [d\hat{\rho} \hat{H}]$$

$$dS = k_B \beta \delta Q$$

\forall quasistat. $d\beta, dE_x$

$$dS = k_B \beta \delta Q$$

$$dS = \frac{1}{T} \delta Q$$

stat.

$$\beta = \frac{1}{k_B T}$$

Temperatur - Einheiten

(i) Kelvin definiert über Tripelpunkt von Wasser

$$\rightarrow k_B = 1.38 \cdot 10^{-23} \text{ J/K}$$

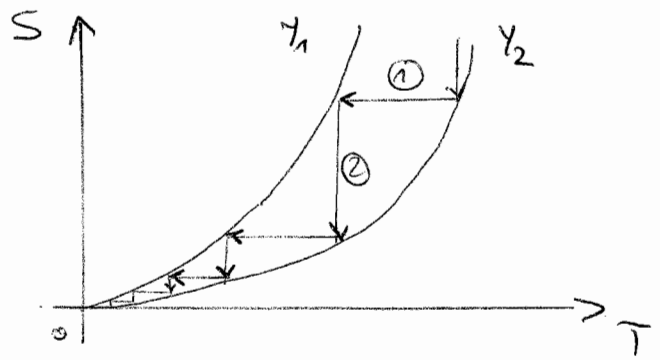
(ii) $k_B \equiv 1 \rightarrow \frac{1}{\beta}$ Temperatur in Energieeinheiten
S dimensionslos

Bsp.: $T = 300 \text{ K}$

$$\rightarrow k_B T \approx \frac{1}{40} \text{ eV}$$
$$\approx 210 \text{ cm}^{-1}$$

3. Hauptsatz

Es ist unmöglich, den absoluten Temperatur - Nullpunkt zu erreichen (in endlich vielen Schritten)



$$y = H \text{ Paramagnet}$$
$$H = H(T, S)$$

$$P \text{ Druck}$$
$$P = P(T, S)$$

4.3. Thermodyn., Potentiale und Identitäten

Erinnerung: allg. Form der Zustandssumme aus der stat. Mech.

$$Z(\{\lambda_i\}, \{\xi_\alpha\}) = \text{Tr} [e^{-\sum_i \lambda_i \hat{A}_i}]$$

λ_i : Lagrange-Multiplikatoren für $\langle \hat{A}_i \rangle = \text{Tr} [e^{-\hat{A}} \hat{A}_i]$
 ξ_α äußere Parameter in \hat{H}

$$\lambda_0 = \beta$$
$$\hat{A}_0 = \hat{H}$$

Erinnerung: Entropie ist Legendre-Transf. von Z

$$\frac{S}{k_B} = \ln Z + \sum_i \lambda_i \langle \hat{A}_i \rangle$$
$$k_B \lambda_i = \frac{\partial S}{\partial \langle \hat{A}_i \rangle}$$

Die Entropie soll ~~jetzt~~ als vollst. Differential geschrieben
 \hat{H} hat auch noch innere Parameter ($\hat{H} = \hat{H}(\{\xi_\alpha\})$)!

$$\frac{\partial S}{\partial \xi_\alpha} = k_B \frac{\partial \ln Z}{\partial \xi_\alpha} = - \frac{\partial}{\partial \xi_\alpha} \text{Tr} [\sum_i \lambda_i \hat{A}_i]$$
$$= - \frac{\partial}{\partial \xi_\alpha} \text{Tr} [\beta H(\{\xi_\alpha\})]$$

Summe reduziert sich auf 0. Term

$$= - k_B \beta \left\langle \frac{\partial H}{\partial \xi_\alpha} \right\rangle$$
$$= - \frac{1}{T} \langle X_\alpha \rangle$$

$$\Rightarrow dS = \frac{1}{T} dU + \sum_{i \geq 1} k_B \lambda_i d\langle \hat{A}_i \rangle - \frac{1}{T} \sum_\alpha \langle X_\alpha \rangle d\xi_\alpha$$

im thermodyn. Limes geht die Fluktuation der Erwartungswerte gegen Null

$$\sqrt{\langle \hat{A}_i^2 \rangle - \langle \hat{A}_i \rangle^2} \longrightarrow 0$$

$$A_i = \langle \hat{A}_i \rangle$$

$$X_\alpha = \langle \hat{X}_\alpha \rangle$$

→ allg. Schreibweise des tot. Diff. der Entropie

$$\boxed{dS = \frac{1}{T} dU + \sum_{i \geq 1} \chi_i dA_i}$$

"Fundamental-
relation der
Thermodynamik"

$$\chi_i = \begin{cases} k_B \lambda_i & \text{für } A_i \\ -\frac{X_\alpha}{T} & \text{für } X_\alpha \end{cases}$$

Bsp.: ideales Gas (1. Teilchenart)

$$dS = \frac{1}{T} dU - \frac{\mu}{T} dN + \frac{P}{T} dV$$

$S = S(U, V, N)$ als spez. Variante von

$$S = S(\{A_i\})$$

Die Relation $S = S(U, V, N)$ enthält die gesamte thermodyn. Information über das betrachtete System

Fundamental - Gleichung

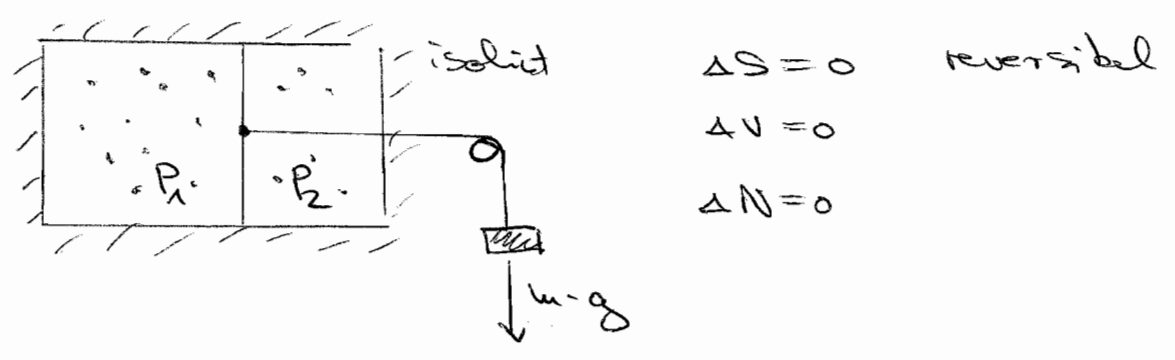
- beschreibt die Menge aller GG-Punkte eines thermodyn. Systems als Fkt. aller extensive Größen
- 1. Ableitung \rightarrow Zustandsgleichung
- 2. Ableitung \rightarrow Maxwell-Relation
(wird später ausgeführt)

Sämtliche thermodynamische Potentiale können über Legendre-Transf. hergeleitet werden

$$dU = TdS - pdV + \mu dN$$

Warum $U = U(S, V, N)$ thermodyn. Potential?

Betrachte Modellsystem:



- $P_2 A > P_1 A + mg$: Gas hebt Gewicht an
- $P_2 A < P_1 A + mg$: Gewicht verrichtet Arbeit an Gas

Benutze 1. NS :

$$\begin{aligned}
 dU &= \oint_{\downarrow} \delta Q + \delta W + \mu \oint_{\downarrow} dN = \delta W \\
 &= -p \oint_{\downarrow} dV + \delta W_g \\
 &= \delta W_g
 \end{aligned}$$

\Rightarrow Arbeit kann in innere Energie gespeichert werden (bzw. Arbeit aus innerer Energie gezogen werden)

$\rightarrow u \hat{=} \text{Potential}$

falls $SW = 0 \quad \therefore \quad dU = 0$

\rightarrow im GG bei $S, V, N = \text{const}$ hat U ein Minimum

Dies entspricht der Tatsache, dass S für GG maximal ist.

19.11.07

Thermodynamische Potentiale (kurz)

Z.B. innere Energie $U = U(S, V, N)$

andere Pot. sind möglich, abhängig davon, welche Größen gegeben und gesucht sind.

Versch. Potentiale sind Legendre-Transformationen zueinander

Freie Energie

$$F(T, V, N) = U(S, V, N) - TS$$

$$\begin{aligned} dF &= dU - SdT - TdS \\ &= -SdT - pdV + \mu dN \end{aligned}$$

vergl. stat. Def. der freien Energie

$$F = -k_B T \ln Z_N \quad ; \quad Z_N = \text{kanon. Zustandssumme}$$

zu zeigen: Definitionen stimmen überein

$$S_N = k_B \text{Tr}(\hat{\rho}_N \ln \hat{\rho}_N)$$

$$= k_B \ln Z_N + k_B \beta \text{Tr}(\hat{\rho}_N \hat{H})$$

$$\text{wg. } Z_N = \text{Tr}(e^{-\beta \hat{H}})$$

$$\hat{\rho}_N = \frac{e^{-\beta \hat{H}}}{Z_N}$$

$$S_N = -\frac{k_B}{Z_N} \sum_i \langle i | e^{-\beta \hat{H}} \ln \left(\frac{e^{-\beta \hat{H}}}{Z_N} \right) | i \rangle$$

$$= -\frac{k_B}{Z_N} \sum_i e^{-\beta E_i} \cdot \ln \left(\frac{e^{-\beta E_i}}{Z_N} \right)$$

$$= \frac{k_B}{Z_N} \ln Z_N \left(\sum_i e^{-\beta E_i} \right) - \frac{k_B}{Z_N} \sum_i e^{-\beta E_i} (-\beta E_i)$$

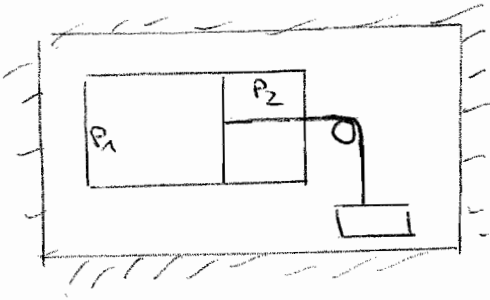
$$\qquad \qquad \qquad \underbrace{\qquad \qquad \qquad}_{Z_N} \qquad \underbrace{\beta k_B \sum_i \frac{E_i e^{-\beta E_i}}{Z_N}}_{= k_B \text{Tr}(\hat{\rho}_N \hat{H})}$$

$$S_N = \frac{1}{T} [k_B T \ln Z_N + U]$$

$$\rightarrow U - TS = -k_B T \ln Z_N = F$$

→ Statist. und thermodyn. Def. von F sind äquivalent

Warum ist F ein "thermodyn. Potential"?



$$dF = -SdT + SW + \mu dN$$

T, V, N const.

$$\rightarrow dF = SW_{\text{mech. auß}}$$

\rightarrow Arbeit ist in freier Energie gespeichert

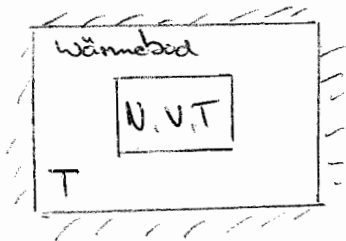
falls $SW_{\text{mech. auß}} = 0$

$$\rightarrow dF = 0$$

allg.: $dF \leq 0$

im Thermodyn.-GG bei T, V, N nimmt F ein Minimum an

Warum $dF \leq 0$?



\bar{S} : Entropie des Gesamtsystems

$$d\bar{S} \geq 0 \quad (2. Hs)$$

$S\bar{Q}$:= dem Bad zugeführte Wärme

$$\rightarrow d\bar{S} = \frac{S\bar{Q}}{T} + dS \geq 0$$

aber: $S\bar{Q} = -SQ$

$$\rightarrow d\bar{S} = -\frac{SQ}{T} + dS$$

$$= -\frac{du}{T} + TdS = -\frac{1}{T} d(u - TS)$$

$$= -\frac{dF}{T} \geq 0 \quad \rightarrow \underline{dF \leq 0}$$

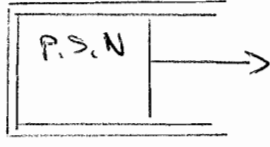
Jeder Satz natürlicher Variablen entspricht einem thermodyn. Potential, das in GG ein Minimum einnimmt.

Enthalpie

$$H(S, P, N) = U(S, V, N) + PV$$

$$dH = dU + PdV + VdP$$

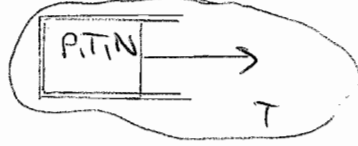
$$= Tds + \mu dN + VdP$$



Freie Enthalpie (Gibbs Free Energy)

$$G(T, P, N) = U(S, V, N) - TS + PV$$

$$dG = -SdT + VdP + \mu dN$$



welche Variable gehören zu welchen Potentialen?

→ Eselsbrücke

Guggenheim - Quadrat

-S	U	V
U	N	F
-P	G	T

Gute Physiker haben stets eine Vorliebe für Thermodynamik

Viereck für thermische Gleichgewichtsprozesse

hilft Studenten ungemein

nicht erfasst:

Größenan, Potential

Großkanonisches Potential

$$\phi(T, V, \mu) = U - TS - \mu N$$

$$d\phi = -SdT - pdV - N d\mu$$

Extensivität d. thermodyn. Potentiale

empirisch: $S(\lambda U, \lambda V, \lambda N) = \lambda S(U, V, N)$

homogene Funktion von Grad 1

äquivalent:

$$\left. \begin{array}{l} V \rightarrow \lambda V \\ N \rightarrow \lambda N \end{array} \right\} \begin{array}{l} u \rightarrow \lambda u \\ \end{array} \quad \text{extensive Zustandsgrößen}$$

allg. $S(\lambda u, \lambda \{A_i\}) = \lambda S(u, \{A_i\})$

$$\left. \frac{d}{d\lambda} [\lambda S] \right|_{\lambda=1} = S = \left| \frac{\partial S}{\partial(\lambda u)} \frac{d}{d\lambda} (\lambda u) + \sum_i \frac{\partial S}{\partial \lambda A_i} \cdot \frac{d}{d\lambda} [\lambda A_i] \right|_{\lambda=1}$$

$$\rightarrow \boxed{S = \frac{1}{T} \cdot u + \sum_i \xi_i A_i} \quad \text{Gibbs-Duhem-Relation}$$

Bsp.: einkomponentiges Gas

$$u = TS - pV + \mu N \quad (*)$$

$$\Rightarrow du = d(TS) - d(pV) + d(\mu N)$$

$$\stackrel{!}{=} T ds - p dV + \mu dN \quad (1. HS)$$

→

$$0 = SdT - Vdp + N d\mu$$

⇒ Im homogenen System können intensive Zustandsgrößen (T, p, μ) nicht unabhängig voneinander variiert werden

Anwendung z.B. Bestimmung von μ aus

$$d\mu = -\frac{S}{N} dT + \frac{V}{N} dp$$

(i)

$$G = U - TS + pV \quad \leftarrow (*)$$

$$= \mu N$$

$$G = G(T, p, N)$$

$$\rightarrow \mu = \left. \frac{\partial G}{\partial N} \right|_{T, p} = \left. \frac{\partial \mu}{\partial N} \right|_{T, p} \cdot N + \mu \rightarrow \mu \text{ ist unabh. von } N$$

$$\mu = \frac{G}{N} \text{ freie Enthalpie pro Teilchen}$$

(ii)

$$\phi = U - TS - \mu N \quad \leftarrow (**)$$

$$= -pV = \phi(T, V, \mu) \quad \left| \quad p = -\frac{\partial \phi}{\partial V} = \frac{\partial V}{\partial p} \cdot p + p \right.$$

→ V unabhängig von p

Thermodynamische Antwortfunktion (response functions)

bisher: 1. Ableitung der thermodyn. Potentiale
→ Zustandsgleichung

aber: im Experiment werden meistens die 2. Ableitungen gemessen

Antwortfunktion:

z.B. Wärmekapazität, Suszeptibilität

Klassifikation von Zustandsänderungen

konstante ZG	Prozess
$dp = 0$	isobar
$dV = 0$	isochor
$dT = 0$	isotherm
$dS = 0$	isentropisch } verschiedene für irreversible Prozesse
$dQ = 0$	
$du = 0$	isenergetisch

(i) Wärmekapazität

$C_x = \frac{dQ}{dT} \Big|_x$ notwendige Wärmemenge für Temperaturänd.

Notation: alle unabh. Variable x fest außer T

1. HS:

$$dU = dQ + \sum_x \underbrace{\langle x_x \rangle}_{F_x} d\xi_x + \sum_i \mu_i dN_i$$

$U = U(T, \{\xi_x\}, \{N_i\})$: sei jetzt N_i fest

$$\begin{aligned} \rightarrow dQ &= dU - \sum_x F_x d\xi_x \\ &= \frac{\partial U}{\partial T} \Big|_{\{\xi_x\}} + \sum_x \left[\frac{\partial U}{\partial \xi_x} \Big|_{T, \xi_{\neq x}} - F_x \right] d\xi_x \end{aligned}$$

Spezialfälle:

- $\{\Sigma \varepsilon_\alpha\} = \text{const}$

$$C_{\{\Sigma \varepsilon_\alpha\}} = \left. \frac{\delta Q}{\delta T} \right|_{\{\Sigma \varepsilon_\alpha\}}$$

$$= \left. \frac{\delta U}{\delta T} \right|_{\{\Sigma \varepsilon_\alpha\}}$$

- $\{\Sigma F_\alpha\} = \text{const}$

$$F_\alpha = F_\alpha(\{\Sigma \varepsilon_{\alpha'}\}, T) \quad \text{Zustandsgleichung}$$

$$\rightarrow \varepsilon_{\alpha'} = \varepsilon_{\alpha'}(\{\Sigma F_\alpha\}, T)$$

$$d\varepsilon_{\alpha'} = \sum_{\alpha} \left. \frac{\partial \varepsilon_{\alpha'}}{\partial F_\alpha} \right|_{T, F_{\alpha'}} dF_\alpha + \left. \frac{\partial \varepsilon_{\alpha'}}{\partial T} \right|_{\{\Sigma F_\alpha\}} dT$$

$$C_{\{\Sigma F_\alpha\}} = \left. \frac{\delta Q}{\delta T} \right|_{\{\Sigma F_\alpha\}}$$

$$= \left. \left\{ \frac{\delta U}{\delta T} \right\} \right|_{\{\Sigma \varepsilon_\alpha\}} + \sum_{\alpha} \left[\left(\frac{\partial U}{\partial \varepsilon_\alpha} \right)_{T, \varepsilon_{\alpha'}} - F_\alpha \right] \left. \frac{\partial \varepsilon_\alpha}{\partial T} \right|_{\{\Sigma F_\alpha\}}$$

5.12.07

Bsp. zu Wärmekapazitäten

$$C_{\{\Sigma \varepsilon_\alpha\}} = \left. \frac{\delta Q}{\delta T} \right|_{\{\Sigma \varepsilon_\alpha\}} = \left. \frac{\delta U}{\delta T} \right|_{\{\Sigma \varepsilon_\alpha\}}$$

$$C_{\{\Sigma F_\alpha\}} = \left. \frac{\delta Q}{\delta T} \right|_{\{\Sigma F_\alpha\}} = \left. \frac{\delta U}{\delta T} \right|_{\{\Sigma \varepsilon_\alpha\}} + \sum_{\alpha} [\dots] \left. \frac{\partial \varepsilon_\alpha}{\partial T} \right|_{\{\Sigma F_\alpha\}}$$

1) Gas $\Sigma = V$ $F = -P$

$$C_V = \left. \frac{\delta Q}{\delta T} \right|_V = \left. \left(\frac{\partial U}{\partial T} \right) \right|_V$$

$$C_P = \left. \frac{\delta Q}{\delta T} \right|_P = \left. \left(\frac{\partial U}{\partial T} \right) \right|_V + \left[\left. \left(\frac{\partial U}{\partial V} \right) \right|_P + P \right] \left. \left(\frac{\partial V}{\partial T} \right) \right|_P$$

$$\rightarrow c_p - c_v = \left[\left(\frac{\partial u}{\partial v} \right)_p + p \right] \left(\frac{\partial v}{\partial T} \right)_p \neq 0$$

ideales Gas:

$$u = \frac{3}{2} N k_B T$$

$$pV = N k_B T$$

$$\left(\frac{\partial u}{\partial v} \right)_T = 0$$

$$\left(\frac{\partial v}{\partial T} \right)_p = \frac{N k_B}{p}$$

$$c_p - c_v = N k_B \quad \rightarrow \quad \boxed{c_p > c_v}$$

$c_p > c_v$ gilt allgemein!

2) homogener Paramagnet

$$F = H \quad (\text{Magnetfeld}) \quad \sum \mu = M$$

$$c_H = \frac{\partial Q}{\partial T} \Big|_H = \left(\frac{\partial u}{\partial T} \right)_H$$

$$c_H - c_H = \left[\left(\frac{\partial u}{\partial H} \right)_T - H \right] \left(\frac{\partial H}{\partial T} \right)_H$$

Mechanische Antwortfunktionen

1) Kompressibilität

$$\kappa = - \frac{1}{V} \frac{dV}{dp}$$

isotherme Kompressibilität:

$$dg = -SdT + Vdp$$

$$\kappa_T = - \frac{1}{V} \left(\frac{\partial V}{\partial p} \right)_{T, N} = - \frac{1}{V} \left(\frac{\partial^2 g}{\partial p^2} \right)_{T, N}$$

- adiabatische Kompressibilität (isenthalp.)

$$\kappa_S = -\frac{1}{V} \left(\frac{\partial V}{\partial P} \right)_{S,N} \stackrel{dH = TdS + VdP}{=} -\frac{1}{V} \left(\frac{\partial^2 H}{\partial P^2} \right)_{S,N}$$

analog: magnetische Suszeptibilität

$$\chi = \frac{d\vec{M}}{d\vec{H}}$$

- isotherm

$$\chi_{T,N} = \left. \frac{\partial \vec{M}}{\partial \vec{H}} \right|_{T,N} = - \left(\frac{\partial^2 G}{\partial \vec{H}^2} \right)$$

- adiabatisch

$$\chi_{S,N} = \left. \frac{\partial \vec{M}}{\partial \vec{H}} \right|_{S,N} = - \left(\frac{\partial^2 H}{\partial \vec{H}^2} \right)$$

← Enthalpie
 ← Magnetfeld

- 2) thermische Ausdehnungskoeffizient
(thermal expansivity)

$$\alpha = \alpha_{P,N} = \frac{1}{V} \left(\frac{\partial V}{\partial T} \right)_{P,N} = \frac{1}{V} \frac{\partial^2 G}{\partial T \partial P}$$

- 3) Spannungskoeffizient

$$\beta = \frac{1}{P} \left(\frac{\partial P}{\partial T} \right)_{V,N}$$

Maxwell-Relation

Antwortfunktionen sind nicht unabhängig, da vollständige Differentiale Integrabilitätsbed. setzen:

$$Y = Y(x_1, x_2)$$

$$dY = a_1 dx_1 + a_2 dx_2 \quad ; \quad a_1 = \left. \frac{\partial Y}{\partial x_1} \right|_{x_2} \quad a_2 = \left. \frac{\partial Y}{\partial x_2} \right|_{x_1}$$

$$\left. \frac{\partial a_1}{\partial x_2} \right|_{x_1} = \frac{\partial^2 \gamma}{\partial x_2 \partial x_1} = \frac{\partial^2 \gamma}{\partial x_1 \partial x_2} = \left. \frac{\partial a_2}{\partial x_1} \right|_{x_2}$$

$$\Rightarrow \left. \frac{\partial a_1}{\partial x_2} \right|_{x_1} = \left. \frac{\partial a_2}{\partial x_1} \right|_{x_2}$$

Anwendung auf Antwortfunktionen

$$\bullet u = u(S, V) \quad \left. \frac{\partial T}{\partial V} \right|_S = - \left. \frac{\partial p}{\partial S} \right|_V$$

S	u	V
-H		F
B	G	T

$$\bullet F = F(T, V) \quad \left. \frac{\partial S}{\partial V} \right|_T = \left. \frac{\partial p}{\partial T} \right|_V$$

$$\bullet H = H(S, p) \quad \left. \frac{\partial T}{\partial p} \right|_S = \left. \frac{\partial V}{\partial S} \right|_p$$

$$\bullet G = G(T, p) \quad \left. \frac{\partial S}{\partial p} \right|_T = - \left(\left. \frac{\partial V}{\partial T} \right|_p \right) = -V\alpha_p$$

$$\bullet F = F(T, V, N) \quad \left. \frac{\partial \mu}{\partial V} \right|_{T, N} = - \left(\left. \frac{\partial p}{\partial N} \right|_{T, V} \right)$$

Nicht-Integrierbarkeit von δQ und δW

Seien V, T natürliche Variable

$$\bullet \delta W = -p dV + 0 dT$$

$$\left. \frac{\partial p}{\partial T} \right|_V \neq 0 \quad \frac{\partial}{\partial V} 0 = 0 \quad \Rightarrow \text{nicht int.}$$

$$\bullet \delta Q = T dS + 0 dV$$

$$\frac{\partial T}{\partial V} = - \frac{\left. \frac{\partial S}{\partial V} \right|_T}{\left. \frac{\partial S}{\partial T} \right|_V} \stackrel{\text{Maxwell}}{=} - \frac{\left. \frac{\partial p}{\partial T} \right|_V}{\left. \frac{\partial S}{\partial T} \right|_V} \neq 0$$

\Rightarrow nicht int.

$$dS = \frac{1}{T} \delta Q$$

dS ist sehr wohl vollst. Integral

$\Rightarrow \frac{1}{T} \stackrel{!}{=} \text{"Integrierender Faktor"}$

Jacobi - Determinante

bisher: konjugierte Variable (γ, A_i)

P, V

T, S

für beliebige Paare thermodyn.

Variable: Koordinate - Transf.

$$\text{allg. } \frac{\partial(y_1, y_2, \dots, y_n)}{\partial(x_1, x_2, \dots, x_n)} = \left| \frac{\partial y_i}{\partial x_j} \right| \leftarrow \text{Determinante}$$

$$\text{Bsp.: } \frac{\partial(f, g)}{\partial(u, v)} = \begin{vmatrix} \frac{\partial f}{\partial u} | v & \frac{\partial f}{\partial v} | u \\ \frac{\partial g}{\partial u} | v & \frac{\partial g}{\partial v} | u \end{vmatrix}$$

$$= \frac{\partial f}{\partial u} | v \cdot \frac{\partial g}{\partial v} | u - \frac{\partial f}{\partial v} | u \cdot \frac{\partial g}{\partial u} | v$$

Eigenschaften:

$$\begin{array}{l} u = u(x, y) \\ v = v(x, y) \end{array} \quad \begin{array}{l} f = f(u, v) \\ g = g(u, v) \end{array} \quad \rightarrow \quad \frac{\partial(f, g)}{\partial(x, y)} = \frac{\partial(f, g)}{\partial(u, v)} \frac{\partial(u, v)}{\partial(x, y)}$$

Kettenregel

• falls $g = v$ $\frac{\partial(f, v)}{\partial(u, v)} = \frac{\partial f}{\partial u} | v$

• Spalten vertauschen \rightarrow Änd. des Vorzeichens (Determinante)

$$\frac{\partial(f, g)}{\partial(u, v)} = - \frac{\partial(f, g)}{\partial(v, u)}$$

• falls $x=f, y=g$

$$\frac{\partial(f,g)}{\partial(x,y)} = 1 = \frac{\partial(f,g)}{\partial(u,v)} \frac{\partial(u,v)}{\partial(x,y)}$$

• falls auch noch $g=v$

$$\frac{\partial f}{\partial u} \Big|_v = \frac{1}{\frac{\partial u}{\partial f} \Big|_v}$$

$$\frac{\partial f}{\partial u} \Big|_v = \frac{\partial(f,v)}{\partial(u,v)} = \frac{\partial(f,v)}{\partial(f,u)} \cdot \frac{\partial(f,u)}{\partial(u,v)} = \frac{\partial v}{\partial u} \Big|_f \cdot \frac{\partial f}{\partial v} \Big|_u$$

$$\rightarrow \boxed{\frac{\partial f}{\partial u} \Big|_v = - \frac{\frac{\partial f}{\partial v} \Big|_u}{\frac{\partial u}{\partial v} \Big|_f}}$$

Ableitung mit $v = \text{const}$ lässt sich umschreiben in Ableitungen mit $u = \text{const}$ und $f = \text{const}$

Anwendung

$$\frac{\partial p}{\partial T} \Big|_v = - \frac{\frac{\partial v}{\partial T} \Big|_p}{\frac{\partial v}{\partial p} \Big|_T} = \frac{\alpha}{\beta} \cdot \frac{v}{T} = \frac{\alpha}{\beta T}$$

$$\rightarrow \rho\beta = \frac{\alpha}{T}$$

also: Abhängigkeit der Antwortfunktion

$$\bullet C_V = T \left. \frac{\partial S}{\partial T} \right|_V$$

$$= T \frac{\partial(S, V)}{\partial(T, V)} = T \frac{\frac{\partial(S, V)}{\partial(T, P)}}{\frac{\partial(T, V)}{\partial(T, P)}}$$

$$= T \frac{\left. \frac{\partial S}{\partial T} \right|_P \quad \left. \frac{\partial S}{\partial P} \right|_T}{\left. \frac{\partial V}{\partial T} \right|_P \quad \left. \frac{\partial V}{\partial P} \right|_T} = T \left. \frac{\partial S}{\partial T} \right|_P - T \frac{\left. \frac{\partial S}{\partial P} \right|_T \cdot \left. \frac{\partial V}{\partial T} \right|_P}{\left. \frac{\partial V}{\partial P} \right|_T}$$

$$= C_P + T \frac{\left(\left. \frac{\partial V}{\partial T} \right|_P \right)^2}{\left(\left. \frac{\partial V}{\partial P} \right|_T \right)}$$

$$= C_P - T \frac{V^2 \alpha_P^2}{\chi_T}$$

$$\Rightarrow C_P - C_V = TV \frac{\alpha_P^2}{\chi_T}$$

$C_P = C_V$ nur für $\alpha_P = 0$ oder $\chi_T \rightarrow \infty$

$\alpha_P = 0$ bei Wasser bei 4°C

Mit analoger Herleitung

$$\chi_T - \chi_S = TV \frac{\alpha_P^2}{C_P}$$

Thermodynamische Stabilität

(i) kanon. Ensemble $\hat{\rho} = \frac{1}{Z} e^{-\beta \hat{H}}$ $Z = \text{Tr}(e^{-\beta \hat{H}})$

$$\langle E \rangle = \text{Tr}[\hat{\rho} H] = -\frac{\partial}{\partial \beta} \ln Z \quad (\text{siehe 2. Abr.})$$

$$= k_B T^2 \frac{\partial \ln Z}{\partial T}$$

$$\frac{\partial \langle E \rangle}{\partial T} = \frac{1}{k_B T^2} (\Delta E)^2$$

$$c_V = T \left(\frac{\partial S}{\partial T} \right)_T = \frac{\partial U}{\partial T} \Big|_V$$

$$\rightarrow c_V = \frac{1}{k_B T^2} (\Delta E)^2$$

$\rightarrow \boxed{c_V \geq 0}$ 1. Bedingung für Stabilität

Für 2. Bed. betrachte...

großkan. Ensemble

$$\hat{\rho}_g = \frac{1}{Z_g} e^{-\beta(\hat{H} - \mu \hat{N})}$$

$$Z_g = \text{Tr} \{ e^{-\beta \hat{H} - \mu \hat{N}} \}$$

$$\langle N \rangle = k_B T \frac{\partial \ln Z_g}{\partial \mu}$$

$$\frac{\partial \langle N \rangle}{\partial \mu} = \frac{1}{k_B T} (\Delta N)^2$$

$\mu(T, V, N) = \mu(T, \alpha V, \alpha N)$ Homogenitätseigenschaft

7.12.07

$$\frac{\partial \mu}{\partial \alpha} \Big|_{\alpha=1} = \underbrace{\frac{\partial \mu}{\partial T} \frac{\partial T}{\partial \alpha} \Big|_{\alpha=1}}_{=0} + \underbrace{\frac{\partial \mu}{\partial V} \frac{\partial V}{\partial \alpha} \Big|_{\alpha=1}}_V + \underbrace{\frac{\partial \mu}{\partial N} \frac{\partial N}{\partial \alpha} \Big|_{\alpha=1}}_N = 0$$

$$\Rightarrow \frac{\partial \mu}{\partial V} \Big|_{N, T} V + \frac{\partial \mu}{\partial N} \Big|_{V, T} \cdot N = 0 \quad (*)$$

ganz analog: $P(T, V, N) = P(T, \alpha V, \alpha N)$

$$\rightarrow \frac{\partial P}{\partial V} \Big|_{T, N} V + \frac{\partial P}{\partial N} \Big|_{V, T} \cdot N = 0 \quad (**)$$

(*) umstellen:

$$\frac{\partial \mu}{\partial N} \Big|_{V, T} = - \frac{V}{N} \frac{\partial \mu}{\partial V} \Big|_{T, N}$$

Benutze Maxwell:

$$\left. \frac{\partial \mu}{\partial V} \right|_{T, N} = - \left. \frac{\partial P}{\partial N} \right|_{T, V}$$

$$\Rightarrow \left. \frac{\partial \mu}{\partial N} \right|_{U, T} = - \frac{V}{N} \left. \frac{\partial \mu}{\partial V} \right|_{T, N}$$

$$= \frac{V}{N} \left. \frac{\partial P}{\partial N} \right|_{T, V} \quad \text{benutze (**)}$$

$$= - \frac{V^2}{N^2} \left. \frac{\partial P}{\partial V} \right|_{T, N} \quad \text{benutze Det Kompressibilität}$$

$$= \frac{V}{N^2} \cdot \frac{1}{\beta \kappa_T}$$

$$\rightarrow \kappa_T = \frac{V}{N^2} \frac{1}{\beta \kappa_T} (\Delta N)^2 \geq 0 \quad \text{mechanische Stabilität}$$

Physikalisch: wenn Kompressibilität < 0 wäre, würde der Druck bei Volumenverkleinerung abnehmen.

=> Instabilität

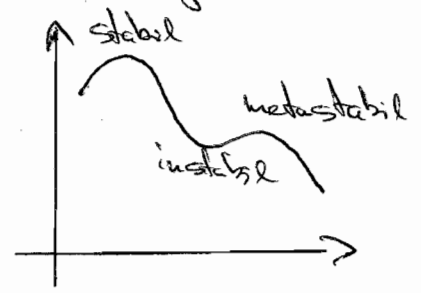
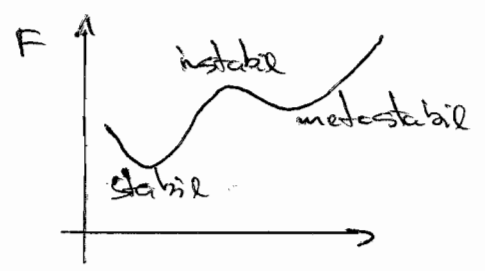
Entsprechend Wärmekapazität -> Temperatur würde bei Wärmezufuhr sinken -> Wärmegradient wird größer

=> Instabilität

chem. Stabilität:

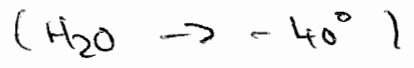
$$\left. \frac{\partial \mu}{\partial N} \right|_{T, P} \geq 0 \quad \text{falls } N \uparrow, \mu \uparrow$$

Formale Def. des Stabilitätsbegriffs



metastabil:

z.B. Unterkühlung



Wasser bleibt flüssig wenn keine Kondensationskeime

thermodynamisch: Folgerung aus

$$\begin{aligned} \delta^2 S &< 0 && \text{Max} \\ \delta^2 U &> 0 && \text{Min} \\ \delta^2 F &\dots && \end{aligned}$$

Bsp.: $U = U(S, V, N) \quad \delta^2 U > 0$

$$\begin{aligned} &\frac{1}{2} \left[\frac{\partial^2 U}{\partial S^2} (\delta S)^2 + \frac{\partial^2 U}{\partial V^2} (\delta V)^2 + \frac{\partial^2 U}{\partial N^2} (\delta N)^2 \right] \\ &+ \frac{\partial^2 U}{\partial S \partial V} \delta S \delta V + \frac{\partial^2 U}{\partial S \partial N} \delta S \delta N + \frac{\partial^2 U}{\partial V \partial N} \delta V \delta N \\ &> 0 \end{aligned}$$

allgemein: $\delta^2 U = \frac{1}{2} \sum_{i,j} \frac{\partial^2 U}{\partial x_i \partial x_j} \delta x_i \delta x_j > 0$

$\hat{=} \sum A_{nm} \lambda_n \lambda_m > 0$

aus der math.:
positiv definite quadr. Form
 $A_{nm} > 0 \quad \forall n$

$A_{nn} A_{mm} - (A_{nm})^2 > 0 \quad \forall n \neq m$

$$\Rightarrow \frac{\partial^2 u}{\partial S^2} \Big|_{V,N} > 0 \qquad \frac{\partial^2 u}{\partial V^2} \Big|_{S,N} > 0$$

$$\frac{\partial^2 u}{\partial S^2} \Big|_{V,N} - \frac{\partial^2 u}{\partial V^2} \Big|_{S,N} - \left[\frac{\partial^2 u}{\partial S \partial V} \Big|_N \right]^2 > 0$$

$$\frac{\partial^2 u}{\partial S^2} \Big|_{V,N} = \frac{\partial T}{\partial S} \Big|_{V,N} > 0$$

$$\frac{1}{C_V} = \frac{1}{T} \left(\frac{\partial T}{\partial S} \right)_{V,N} > 0 \quad \Rightarrow C_V > 0$$

analog: κ_S folgt aus $\frac{\partial^2 u}{\partial V^2} \Big|_{S,N} > 0$

κ_T folgt aus $\frac{\partial^2 F}{\partial V^2} \Big|_{T,N} > 0$

Stabilitätsbedingungen gelten sehr allgemein, sie werden in der Natur bei Phasenübergängen verletzt

4.4 Phasenübergänge

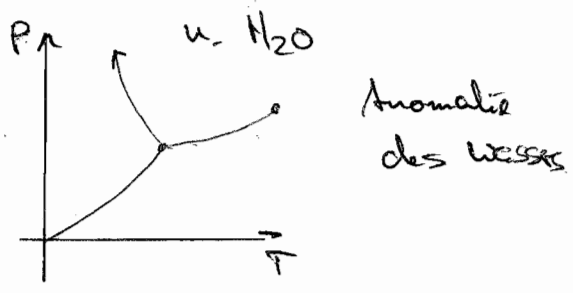
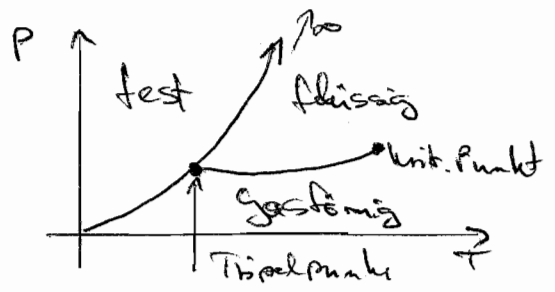
(A) einkomponentige Systeme (keine Gemische)

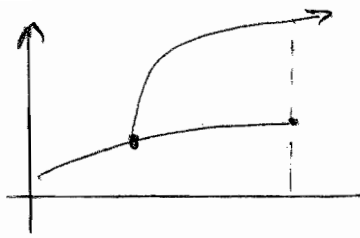
$$\rightarrow N, \mu \quad [\text{wie } N, \mu]$$

Def. Phase = Teil eines thermodyn. Systems, der physikalisch und chemisch homogen ist

Bsp.: Aggregatzustände

Gegen-Bsp.: (flüssig) Milch = Emulsion aus Fett u. H₂O



CO₂:

Gesamtentropie des Systems

$$S(U, V, N) = S_g(U_g, V_g, N_g) + S_l(U_l, V_l, N_l)$$

g: gas

l: flüssig (liquid)

$$\rightarrow T_g = T_l \quad P_g = P_l \quad \mu_g = \mu_l \quad \text{gg-Bedingungs}$$

$$\mu = \mu(P, T)$$

$$\rightarrow \mu_g(P, T) = \mu_l(P, T)$$

$$\boxed{P = P(T)} \quad \text{Grenzfunktion}$$

(nur ein Parameter kann unabhängig sein,
um gg-Bed. zu erfüllen)

Gibbs - Duham $\mathcal{G}(T, P, N) = \mu N$

Spez. zG $x = \frac{\mathcal{X}}{N} \quad (\mathcal{X} \text{ extensiv})$

$$u, s, m$$

$$\rightarrow \mu_g(P, T) = \mu_l(P, T)$$

am Tripelpunkt: $\mu_g(P, T) = \mu_l(P, T) = \mu_s(P, T)$

\rightarrow 1 Punkt

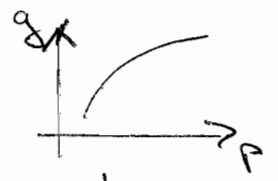
Ablängigkeit der spez. zG innerhalb einer Phase

$$dg = -s dT + v dp + \mu dN$$

$$\frac{\partial^2 g}{\partial T^2} \Big|_p = - \frac{\partial s}{\partial T} \Big|_p = - \frac{c_p}{T} < 0$$

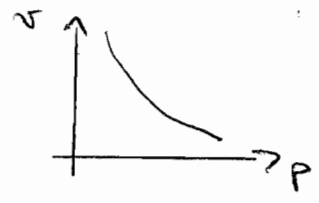
→ g bei p fest = konkave Fkt. der Temperatur

$$\frac{\partial^2 g}{\partial p^2} \Big|_T = \frac{\partial v}{\partial p} \Big|_T = -v \alpha_T < 0$$



→ g bei T konkave Fkt. des Drucks

$$v = \frac{\partial g}{\partial p} \Big|_T \rightarrow \text{Konstruktion von } v(p) \text{ bei festem } T$$

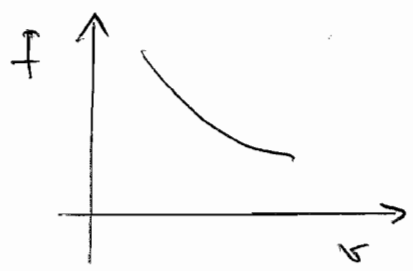


$$\frac{\partial^2 f}{\partial T^2} \Big|_v = - \frac{\partial s}{\partial T} \Big|_v = - \frac{c_v}{T} < 0 \quad (*)$$

$$\frac{\partial^2 f}{\partial v^2} \Big|_T = - \frac{\partial p}{\partial v} \Big|_T = \frac{1}{v \alpha_T} > 0 \quad (**)$$

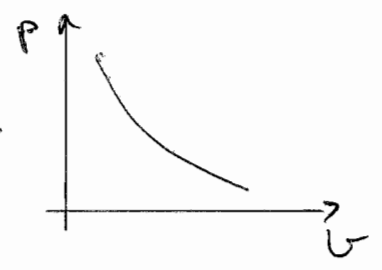
(*) → f bei v fest konkave Fkt f(T)

(**) → f bei T fest konvexe Fkt f(v)



$$p = - \frac{\partial f}{\partial v}$$

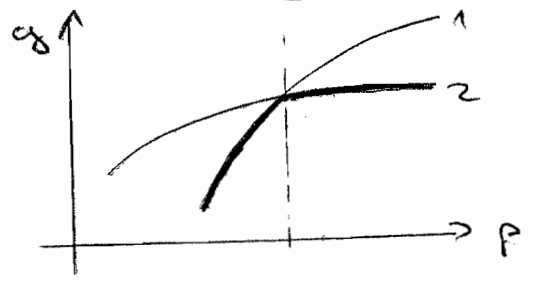
→ Konstr. von p(v) bei T fest



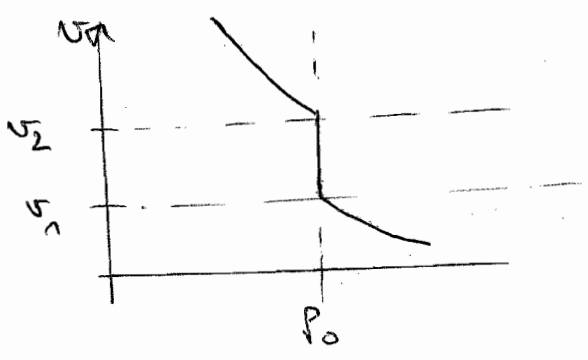
Phasenübergänge 1. Art

Jetzt: 2-Phase-System

selbe Überlegungen wie ob können auch für 2. Phase angestellt werden



g bei P_0
nicht ~~stetig~~ diffbar



Sprung in
 $v = \left. \frac{\partial g}{\partial p} \right|_T$

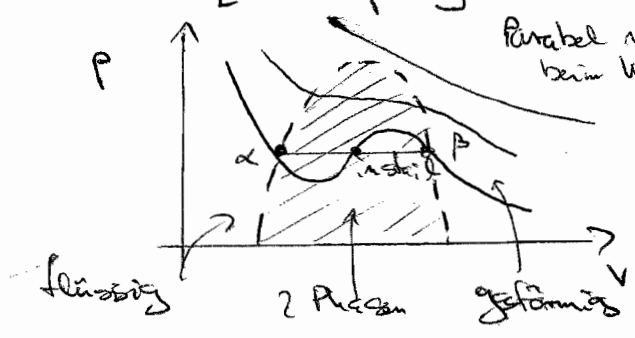
Beisp.: van-der-Waals-Gas (wechselwirkende Teilchen)

$$\left(p + \frac{N^2 a}{V^2} \right) (V - Nb) = N k_B T$$

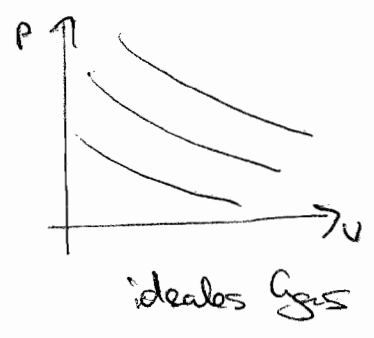
↑ innerer Druck
↑ Eig.-Volumen der Gasteilchen

$P_{real} < P_{ideal}$

$$\rightarrow V^3 - \left[b + \frac{k_B T}{p} \right] N V^2 + N^2 a V - N^3 a b = 0$$



Parabel nur beim krit. Punkt

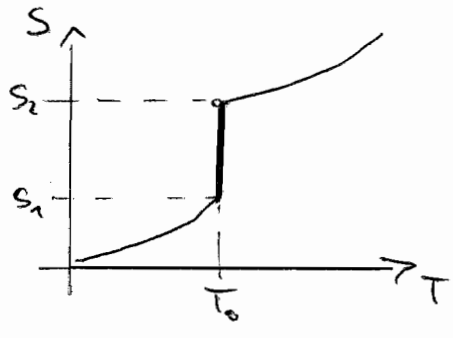
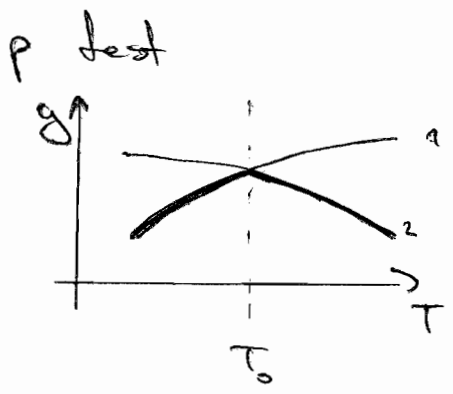
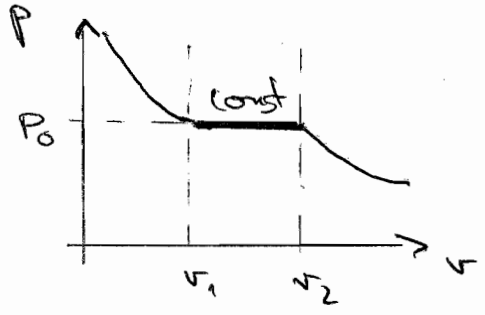
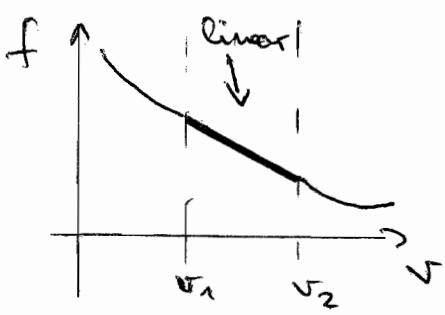


ideales Gas

$$F = G - PV = F(T, V)$$

$\rightarrow T$ fest $\rightarrow p = \text{const}$ bei Koexistenz der beiden Phasen

$\rightarrow f(v)$ linear da $p = \frac{df}{dv} \Big|_T$



was passiert am Phasenübergangspunkt?

$$T = T_0 :$$

$$\frac{\partial g_1}{\partial T} \Big|_p > \frac{\partial g_2}{\partial T} \Big|_p \iff -\frac{\partial g_1}{\partial T} \Big|_p < -\frac{\partial g_2}{\partial T} \Big|_p$$

$$S_1 < S_2$$

$$(S_2 - S_1) > 0$$

$\rightarrow q_{12} := T(S_2 - S_1) > 0$ Übergangs-Umwandlungs
wärme

Vom Anfang der NL: $\mu_1(p, T) = \mu_2(p, T) \rightarrow g_1(T, p) = g_2(T, p)$

$$dg_1 = -S_1 dT + v_1 dp = -S_2 dT + v_2 dp = dg_2$$

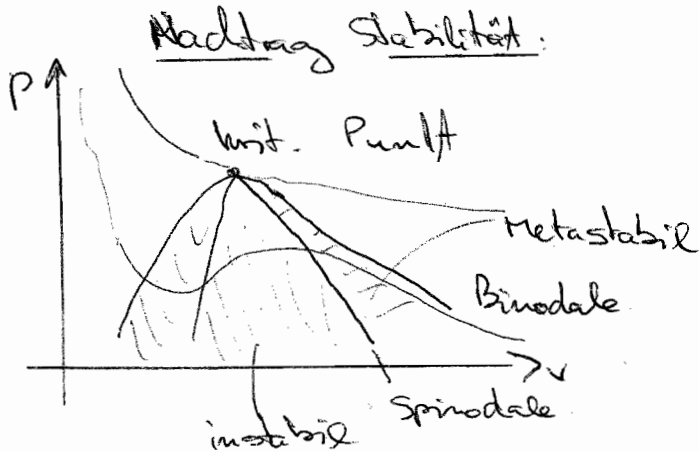
$$\frac{dp}{dT} = \frac{s_2 - s_1}{v_2 - v_1} = \frac{\Delta S}{\Delta V}$$

$T \rightarrow T_0$:

$$\frac{dp}{dT} = \frac{q_{12}}{T(v_2 - v_1)}$$

Clausius-Clapeyron-Glg.

12.12.07



Mehrkomponentige Systeme

$$\mu, N \rightarrow \mu_i, N_i$$

$$\mu_i = -T \left. \frac{\partial S}{\partial N_i} \right|_{u, v, \{N_{j \neq i}\}}$$

$$dS = \frac{1}{T} dU + \frac{p}{T} dV - \sum_i \frac{\mu_i}{T} dN_i$$

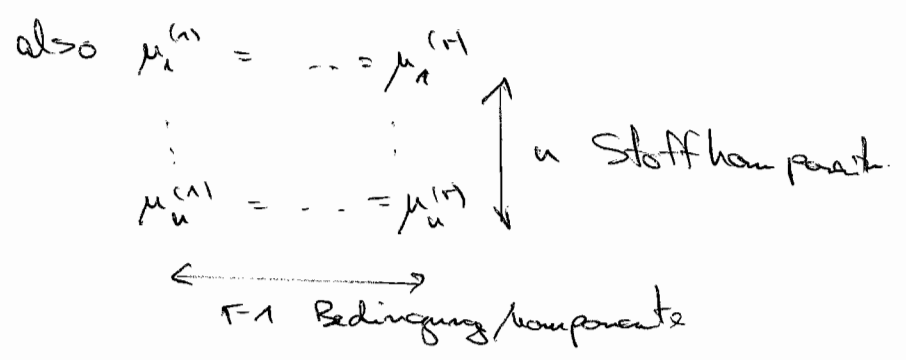
$$dU = T dS - p dV + \sum_i \mu_i dN_i \quad \text{1. HS}$$

$$U = TS - pV + \sum_i \mu_i N_i \quad \text{Gibbs-Duhem} \Rightarrow g = \sum_i \mu_i N_i$$

Gibbsche Phasenregel

Bedingung für GG = $P_1 = P_2 \quad T_1 = T_2$

$$\mu_{i,1} = \mu_{i,2} \quad \forall i$$



→ $u(r-1)$ Bedingung $\therefore \downarrow c = \text{Konzentration}$

Zahl der Variablen = $T, P, c_1^{(1)}, \dots, c_{n-1}^{(2)}, \dots, c_1^{(r)}, \dots, c_{n-1}^{(r)}$

kein c_n , sondern nur c_{n-1} , da gesamt-
konzentration immer erhalten ist

→ $2 + (u-1)r$ Variablen

→ Zahl der Variablen, die veränderbar

$f = 2 + u - r$

Gibbsche Phasenregel

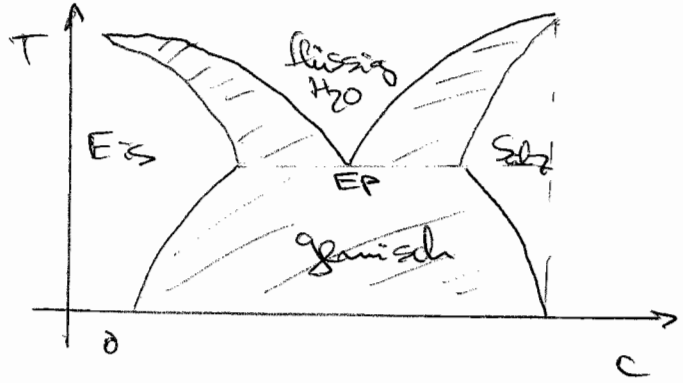
Bsp.

(i)	einkomponentig	($u = 1$)	H_2O
	Phasen	F_G	
	$r = 1$	$f = 2$	P, T frei
	$r = 2$	$f = 1$	$P = P(T)$ Grenzlinie
	$r = 3$	$f = 0$	Tripelpunkt

(ii) Zweikomponentig ($\nu=2$)
 Mischung NH_4Cl und H_2O
 (Salz, E510)

Phase: Wasserdampf, Flüssigkeitsgemisch, Eis, Salz

# Phase	F_G	
$r=1$	$f=3$	P, T, c
$r=2$	$f=2$	$P, T \quad c=c(P, T)$
$r=3$	$f=1$	z. B. T variabel
$r=4$	$f=0$	Eutekt. Punkt



Klassifizierung der Phaseübergänge

(i) pü 1. Art

$$\mu_1(p, T) = \mu_2(p, T) \text{ stetig} \Rightarrow g_1(p, T) = g_2(p, T)$$

$$\text{allg. } g(y, T)$$

$$dg = \left. \frac{\partial g}{\partial T} \right|_y dT + \left. \frac{\partial g}{\partial y} \right|_T dy$$

$$s = - \left. \frac{\partial g}{\partial T} \right|_y \quad x = \frac{\sum}{n} = \left. \frac{\partial g}{\partial y} \right|_T \text{ nicht mech. stetig}$$

1. Ableitungen charakterisieren den Phasenübergang

$P \ddot{u}$ 1. Art = diskontinuierlicher $P \ddot{u}$

(\rightarrow Sprung in 1. Ableitung)

Sprung in S

\rightarrow Umwandlungswärme

(ii) Kontinuierlicher $P \ddot{u}$

$$\left. \frac{\partial g}{\partial g} \right|_T, \left. \frac{\partial g}{\partial T} \right|_p \text{ stetig}$$

$\rightarrow S_1 = S_2$ $x_1 = x_2$ spez. extensive Größe gleich

Keine Umwandlungswärme

$$\left. \frac{\partial S_1}{\partial T} \right|_p dT + \left. \frac{\partial S_1}{\partial p} \right|_T dp = \left. \frac{\partial S_2}{\partial T} \right|_p dT + \left. \frac{\partial S_2}{\partial p} \right|_T dp$$

$$\left. \frac{\partial S}{\partial T} \right|_p = \frac{C_p}{T} \quad \left. \frac{\partial S}{\partial p} \right|_T = - \left. \frac{\partial v}{\partial T} \right|_p = -v \alpha_p$$

$$\frac{C_{p1}}{T} dT - v \alpha_{p1} dp = \frac{C_{p2}}{T} dT - v \alpha_{p2} dp$$

$$C_{p2} - C_{p1} = T v (\alpha_{p2} - \alpha_{p1}) \frac{dp}{dT}$$

$$\rightarrow \boxed{\frac{dp}{dT} = \frac{\Delta C_p}{T v \Delta \alpha_p}}$$

1. Ehrenfest'sche Gleichung

$\hat{=}$ Clausius-Clapeyron

$$v_1 = v_2$$

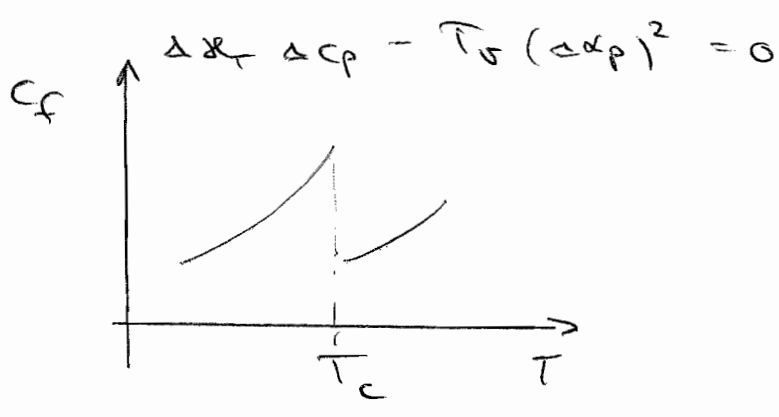
$$\left. \frac{\partial v}{\partial T} \right|_p dT + \left. \frac{\partial v}{\partial p} \right|_T dp = \left. \frac{\partial v}{\partial T} \right|_p dT + \left. \frac{\partial v}{\partial p} \right|_T dp$$

$$\left. \frac{\partial v}{\partial p} \right|_T = -v \alpha_T$$

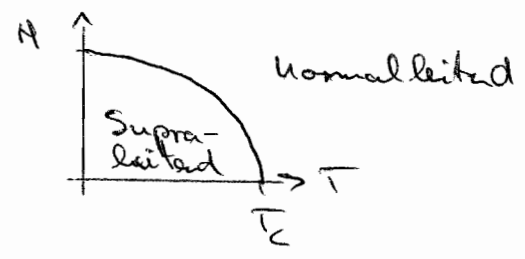
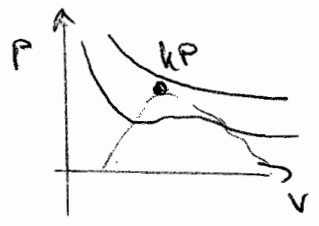
$$\boxed{\frac{dp}{dT} = \frac{\Delta \alpha_p}{\Delta \alpha_T}}$$

2. Ehrenfest'sche Gleichung

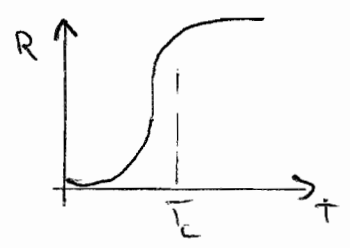
→ Zusammenhänge der Sprünge



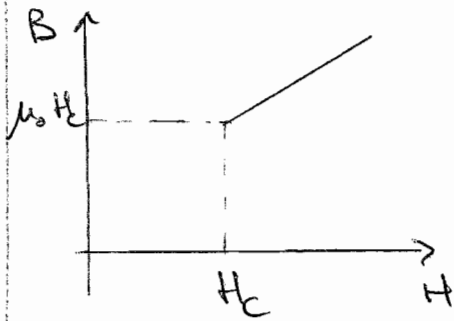
$P_{\dot{v}}$ an lit. P_{lit} = kontinuierlicher $P_{\dot{v}}$



Bsp. Supraleitung



Meissner-Ochsenfeld : $B=0$
 große Magnetfelder zerstören Supraleitung



$$m_s = \mu_0 H$$

$$m_n = (\mu - 1) \mu_0 H$$

$$= 0$$

Phasenübergang: normalleitend/supraleitend

$$H_{gk}(T) = H_c \left[1 - \frac{T^2}{T_c^2} \right] \text{ Näherung der Grenzkurve}$$

$\mu_n = \mu_s$ Gleichsetzung für Beschreibung Phasenübergang

$$\rightarrow -s_n dT - m_n dH = -s_s dT - m_s dH$$

$$-(s_n - s_s) = (m_n - m_s) \frac{dH}{dT}$$

$$\frac{dH}{dT} \approx - \frac{q_{12}}{\mu_0 T H_{gk}}$$

$$\rightarrow q_{12} = 2\mu_0 H_c^2 \left(\frac{T}{T_c} \right)^2 \left[1 - \frac{T^2}{T_c^2} \right]$$

für $T = T_c$ $q_{12} = 0$ kont. $P_{\ddot{u}}$

$T < T_c$ $q_{12} \neq 0$ $P_{\ddot{u}}$ 1. Art

Änderung der Wärmekapazität

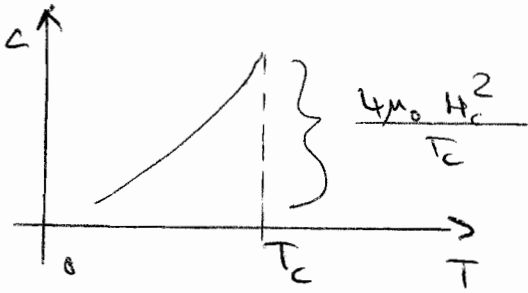
$$[c_n - c_s] = T \frac{\partial (s_n - s_s)}{\partial T} \Big|_{gk}$$

$$= T \frac{\partial}{\partial T} \left[\mu H_c \left(1 - \frac{T^2}{T_c^2} \right) \frac{dH}{dT} \right]_{gk}$$

$$= \frac{2\mu_0 H_c^2}{T_c} \left[\frac{T}{T_c} - \frac{3T^2}{T_c^2} \right]$$

an krit. Pkt.:

$$[c_m - c_s]_{T=T_c} = - \frac{4 \mu_0 H_c^2}{T_c}$$



Differenz d. spez. freien Enthalpien:

$$dg = -s dT - m dH$$

$$g_u(T, H) - g_u(T, 0) = - \int_0^H m dH = 0$$

$$g_s(T, H) - g_s(T, 0) = \frac{\mu_0}{2} H^2$$

auf der Grenzkurve:

$$g_s(T, H_{gk}) = g_u(T, H_{gk})$$

$$\rightarrow g_s(T, 0) = g_u(T, 0) - \underbrace{\frac{\mu_0}{2} H_{gk}^2(T)}_{\text{Kondensationsenergie}}$$

$$\text{im Nullfeld: } g_s < g_u$$

Ordnungsparameter (order parameter)

= physik. Größen, die an krit. Pkt. unbestimmt ist

$$\text{Bsp.: van-der-Waals-} g_s = \Delta e = e_l - e_g$$

$$\Delta v = v_l - v_g$$

Ferro-magnet: spontane Magnetisierung

Supraleiter: Energieücke im $1e^-$ Anregungsspektrum

Ginzburg-Landau-Theorie

Ordnungsparameter $\vec{\eta}$ i. A. Vektor z. B. \vec{M}

F minimiert für $\eta = 0$ $T > T_c$

$\eta \neq 0$ $T < T_c$

$$F(T, \eta) = F_0(T) + \alpha_2(T) |\eta|^2 + \alpha_4(T) |\eta|^4 + \dots$$

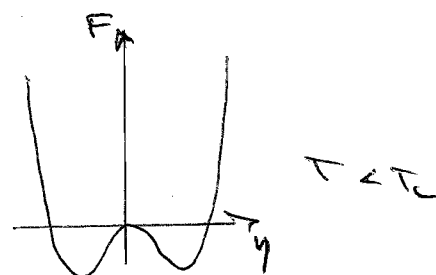
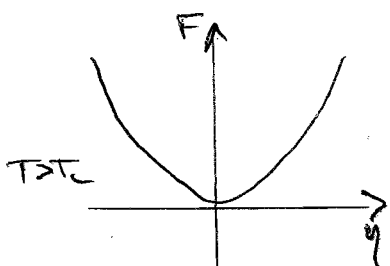
Wahl von $\alpha_2(T)$:

für $T \geq T_c$

F_{\min} nur für $|\eta| = 0 \rightarrow \alpha_2(T) > 0$

für $T < T_c$

F_{\min} nur für $|\eta| > 0 \rightarrow \alpha_2(T) < 0$



$$\alpha_2(T) = \alpha_0 (T - T_c)$$

$$\alpha_0 = \alpha_0(T)$$

Wahl von $\alpha_4(T)$:

$\alpha_4(T) > 0$ wg. globaler Stabilität

Extrema der freien Energie:

$$\frac{dF}{d\eta} = 0 = 2\alpha_2(T)\eta + 4\alpha_4(T)\eta^3$$

$$\rightarrow \eta = 0$$

$$\rightarrow \eta = \pm \sqrt{-\frac{\alpha_2}{2\alpha_4}}$$

$$\rightarrow \eta = 0$$

$$\alpha_2 > 0$$

$$T > T_c$$

$$\rightarrow F = F_0(T)$$

$$\alpha_2 < 0$$

$$T < T_c$$

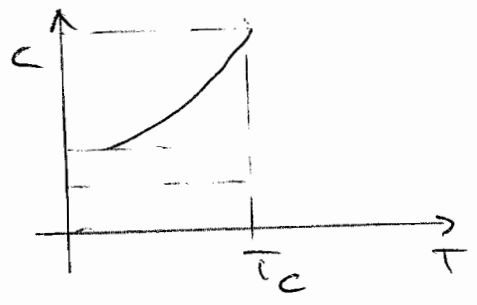
$$\eta = \pm \sqrt{\frac{\alpha_0(T_c - T)}{2\alpha_4}} \eta \sim (T - T_c)^{1/2}$$

$$F = F_0(T) - \frac{\alpha_0^2 (T - T_c)^2}{2\alpha_4}$$

→ Sprung der Wärmekap.

$$c = -T \frac{\partial^2 F}{\partial T^2} \quad \frac{\partial \alpha_0}{\partial T} \approx 0 \quad \frac{\partial \alpha_4}{\partial T} \approx 0$$

$$\Delta c = \frac{T_c \alpha_0^2}{2\alpha_4}$$



16.12.07

Universalität

nahe an kritischem Punkt sind die physikalische Eigenschaften eines Vielteilchensystems unabhängig von den mikroskopischen Details des Systems.

Ursache + Divergenz der Korrelationsfunktion an krit. Punkt.

Erinnerung:

$$C_{ij} = \langle A_i A_j \rangle - \langle A_i \rangle \langle A_j \rangle = \frac{\partial^2 \ln Z}{\partial \lambda_i \partial \lambda_j}$$

$$Z = \text{Tr} [\exp[-\sum_i \lambda_i A_i]]$$

Bsp.: Spin-System

$$C_{ij} = \langle S_i S_j \rangle - \langle S_i \rangle \langle S_j \rangle$$

Spins an Platz ij

$$\text{Dichte } \hat{A}_i = \hat{u}(\vec{r}) \quad \hat{N} = \sum_{\vec{r}} \hat{u}(\vec{r})$$

$$c(\vec{r}, \vec{r}') = \langle \hat{u}(\vec{r}) \hat{u}(\vec{r}') \rangle - \langle \hat{u}(\vec{r}) \rangle \langle \hat{u}(\vec{r}') \rangle$$

$$\approx C(|F - F'|) \xrightarrow{r \rightarrow \infty} 0$$

off: $C(r) = \frac{C_0}{r} e^{-r/\xi(T)}$; $\xi(T) =$ Korrelationslänge
 $\xi(T) \rightarrow \infty$
für $T \rightarrow T_c$

Kritische Exponenten

wie nähern sich physikal. Größen dem krit. Punkt?

Entwicklungsparameter $\epsilon = \frac{T - T_c}{T_c}$

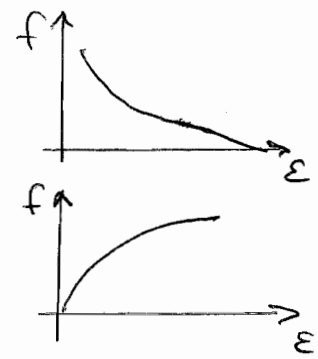
$f(\epsilon) = A \cdot \epsilon^\lambda [1 + B\epsilon^\alpha + \dots]$ Thermodyn. Abt. f

Def.: kritischer Exponent

$$\lambda = \lim_{\epsilon \rightarrow 0} \frac{\ln(|f(\epsilon)|)}{\ln|\epsilon|}$$

$\lambda < 0$: $f \xrightarrow{\epsilon \rightarrow 0} \infty$

$\lambda > 0$: $f \xrightarrow{\epsilon \rightarrow 0} 0$



$\lambda = 0$: versch. Möglichkeiten

z.B. $f(\epsilon) = A \ln(\epsilon) + B$

$f(\epsilon) = A + B\epsilon^{1/2}$

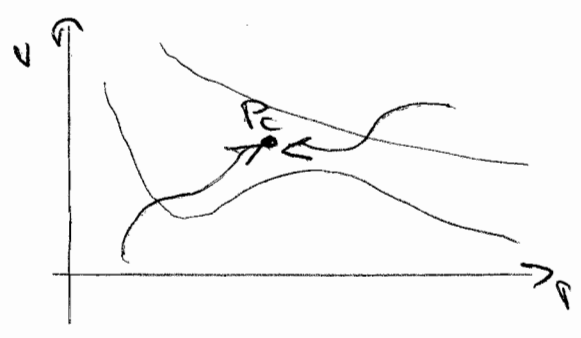
Def. $\lambda' = j + \lim_{\epsilon \rightarrow 0} \frac{\ln \frac{df}{d\epsilon^j}}{\ln|\epsilon|}$; $j \in \mathbb{N}$; kleinste Zahl, bei der $\frac{df}{d\epsilon^j}$ divergiert

Universalitätshypothese

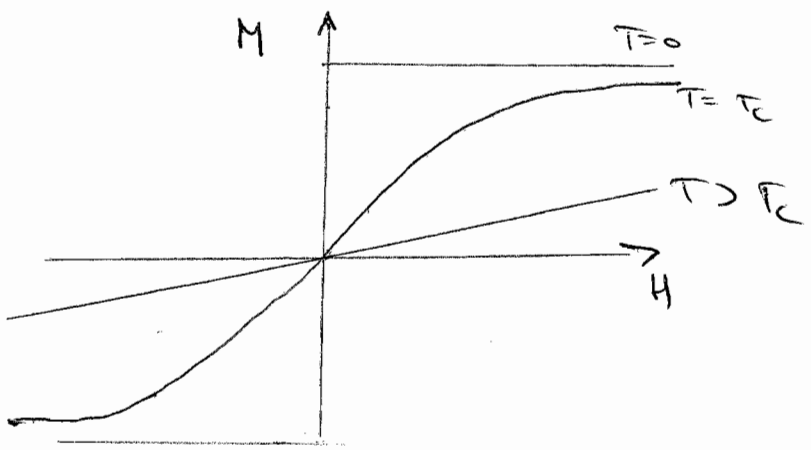
λ hängt nur ab von

- Dimension des Systems (räumlicher Spin)
- Reichweite der Teilchen - Wechselwirkung

auf welchem Weg wird der krit. Punkt erreicht



→ versch. krit. Exponenten



(1) Wärmekapazität

$$C = \begin{cases} A' (-\epsilon)^{-\alpha'} \\ A \epsilon^{-\alpha} \end{cases}$$

$$\begin{aligned} T < T_c \\ T > T_c \end{aligned}$$

Exp.: $\alpha = \alpha' = 0$

(2) Ordnungparameter (Grad der Grenzkurve)

$$\frac{\Delta S}{S_c} = B (-\epsilon)^{\beta}$$

$$\frac{M_s(T)}{M_s(0)} = B (-\epsilon)^{\beta} \text{ spontane Magnetisierung}$$

$$\text{Dichte} = \rho = \rho_c - \rho_g$$

Exp. $\beta = 0,35$

(3) Kompressibilität / Suszeptibilität

$$\chi_T = -\frac{1}{V} \left. \frac{\partial V}{\partial p} \right|_T = \frac{1}{\epsilon} \left. \frac{\partial \epsilon}{\partial p} \right|_T$$

[Steigung der
Isotherme]⁻¹ im
p^e/H^M-Diagramm

$$\chi_T = \left. \frac{\partial M}{\partial H} \right|_T$$

$$\frac{\chi_T}{\chi_{T_c}^0} = \begin{cases} c' (-\epsilon)^{-\gamma} & T < T_c \\ c \epsilon^{-\gamma} & T > T_c \end{cases}$$

$$\frac{\chi_T}{\chi_{T_c}^0} = \begin{cases} c' (-\epsilon)^{-\gamma} & T < T_c \\ c \epsilon^{-\gamma} & T > T_c \end{cases}$$

$$\chi_{T_c}^0 = \frac{c^*}{T_c} ; c^* = \frac{N_A \mu_0 \mu^2}{3k_B} \quad \text{Curie-Konstante}$$

Suszeptibilität eines idealen Gases

$$\gamma \approx \gamma' \approx 1.3$$

4) Grad der kritischen Isotherme $p = p(r)$
 $= p(\epsilon)$

$$\frac{p-p_c}{p_c^0} = D \left| \frac{\epsilon - \epsilon_c}{\epsilon_c} \right|^\delta \operatorname{sign}(\epsilon - \epsilon_c) \quad \begin{matrix} T = T_c \\ \text{Exp. } \delta = 8.55 \end{matrix}$$

$$p_c^0 = k_B T_c \epsilon_c \quad \text{Druck d. idealen Gases bei } T_c, \epsilon_c$$

5) Korrelationslänge

$$\xi = \begin{cases} (-\epsilon)^{-\nu'} & T < T_c \\ \epsilon^{-\nu} & T > T_c \end{cases}$$

Ungleichung für die kritischen Exponenten

Lemma: Falls $f(x) \sim x^{\alpha_1}$, $g(x) \sim x^{\alpha_2}$

und $|f(x)| \leq |g(x)|$ für $|x| < 1$, dann

$$\alpha_1 \geq \alpha_2$$

Beweis: $|f(x)| \leq |g(x)|$

$$\rightarrow \ln |f(x)| \leq \ln |g(x)|$$

$$|x| < 1 \rightarrow \ln |x| < 0$$

$$\rightarrow \frac{\ln |f(x)|}{\ln |x|} \geq \frac{\ln |g(x)|}{\ln |x|}$$

$$\alpha = \lim_{\epsilon \rightarrow 0} \frac{\ln |f(\epsilon)|}{\ln |\epsilon|} \rightarrow \alpha_1 \geq \alpha_2$$

Rushbrook - Ungleichung

$$\alpha' + 2\beta + \gamma' \geq 2$$

Beweis: $\chi_T (C_H - C_M) = \mu_0 V T \beta_H^2$

$$\beta_P = \frac{1}{V} \left. \frac{\partial V}{\partial T} \right|_P$$

$$\beta_H = - \left. \frac{\partial M}{\partial T} \right|_H$$

$$\dots = \mu_0 V T \left[\left. \frac{\partial M}{\partial T} \right|_H \right]^2 \cdot \frac{1}{\chi_T}$$

$$C_M \geq 0$$

$$C_H \geq \mu_0 V T \left[\left. \frac{\partial M}{\partial T} \right|_H \right]^2 \cdot \frac{1}{\chi_T}$$

$$\mu \sim (-\epsilon)^\beta$$

$$\frac{\partial \mu}{\partial T} \sim (-\epsilon)^{\beta-1}$$

$$(-\varepsilon)^{-\alpha'}$$

$$-\alpha' \leq 2(\beta - 1) + \gamma'$$

Griffiths - Ungleichung: $\alpha + \beta(1 - \delta) \geq 2$

Widom - Ungleichung: $\gamma' \geq \beta(\delta - 1)$

Nelking Bd 4
Kap. 4.2.4

Skalenhypothese

Def.: Eine Funktion $f(x)$ ist homogen von Grad m , falls $f(\lambda x) = \lambda^m f(x) \quad \forall \lambda \in \mathbb{R}$

$\forall x_0 \neq 0: x = \lambda x_0$, sodass $f(x) = \lambda^m f(x_0)$

Skalentransformation

Def.: Eine Fkt $f(x, y)$ ist eine verallgemeinert homog. Fkt, falls

$$f(\lambda^a x, \lambda^b y) = \lambda f(x, y) \quad \forall \lambda \in \mathbb{R} \\ a, b \in \mathbb{R}$$

Bsp: $f(x, y) = x^2 + 3y^5$

$$a = \frac{1}{2} \quad b = \frac{1}{5}$$

Homogenitätspostulat

Der krit. Anteil der freien Enthalpie $g(T, y)$ ist eine verallgemeinerte homogene Fkt.

$$g(\lambda^a \varepsilon, \lambda^b y) = \lambda \frac{\partial}{\partial y} g(\varepsilon, y)$$

diff. $\frac{\partial}{\partial y}$:

$$\lambda^b \frac{\partial}{\partial (\lambda^b y)} g(\lambda^a \varepsilon, \lambda^b y) = \lambda \frac{\partial}{\partial y} g(\varepsilon, y)$$

(38) $\lambda^b X(\lambda^a \varepsilon, \lambda^b y) = \lambda X(\varepsilon, y)$

$$\frac{\partial g}{\partial y} = -X \\ \frac{\partial g}{\partial \varepsilon} = -H \\ = V$$

für $y=0$ in (*) :

$$X(\lambda^{a_E} \varepsilon, 0) = \lambda^{1-a_y} X(\varepsilon, 0)$$

gilt $\forall \lambda$, wähle $\lambda(-\varepsilon)^{-\frac{1}{a_E}}$

$$\rightarrow X(\varepsilon, 0) = -\varepsilon^{\frac{1-a_y}{a_E}} X(-1, 0)$$

$$\rightarrow \boxed{\beta = \frac{1-a_y}{a_E}}$$

für $\varepsilon=0$ in (*):

$$X(0, y) = \lambda^{a_y-1} X(0, \lambda^{a_y} y)$$

wähle $\lambda = y^{-1/a_y}$

$$X(0, y) = y^{\frac{1-a_y}{a_y}} X(0, 1)$$

$$\rightarrow \delta = \frac{a_y}{1-a_y}$$

2-faches Differenzieren nach y :

$$y=0, \text{ Wähl von } \lambda \rightarrow \delta = \delta' = \frac{2a_y-1}{a_E}$$

2-faches Differenzieren nach ε :

$$y=0, \text{ Wähl von } \lambda \rightarrow \alpha = \alpha' = \frac{2a_E-1}{a_E}$$

$$\rightarrow \alpha' = 2 - \beta(1+\delta)$$

$$\delta' = \beta(\delta-1)$$

$$\alpha' - \delta' + 2\beta = 2$$

nicht behandelt - Feldtheoretisch \rightarrow Bilanzgleichung
Wärmeleitungsgleichungen

19.12.07

5. Ideale Quantengase

= Systeme von N nicht-wechselwirkende ununterscheidbare Teilchen

$$Z_N = \frac{1}{N!} \left(Z_1 \right)^N \text{ (naiv)}$$

ist nicht richtig

Annahme, die naiv gemacht wird:

Teilchen immer in verschiedenen 1-Teilchen-Zuständen

Bsp.: $E=0$ ----- $e^{-\beta E} = 1$

unterscheidbare T. ----- ● ----- ○ $Z_2 = 5.5$

ununterscheidbare T. ----- ● ----- ● ----- $Z_2 = \frac{1}{2!} 5.5 = \underline{\underline{12.5}}$

muss mind. ganze Zahl sein

Wie muss ich korrekt abzählen:

11000	10100	10010	10001	01100
01010	01001	00110	00101	00011
20000	02000	00002	00002	00200

$$Z = 15$$

de-Broglie - Wellenlänge

immer: ideales Gas $Z_1 = \frac{V}{\lambda_T^3}$

$$\lambda_T = \frac{h}{\sqrt{2\pi m k_B T}}$$

$$\frac{p^2}{2m} \sim k_B T$$

Wenn $Z_T \gg N$:

2 Teilchen in demselben 1 Teilchen-Zustand
vernachlässigbar

$$\lambda_T^3 \ll \frac{V}{N} = v$$

→ Quanteneffekte wichtig bei $Z_T \approx v^{1/3}$

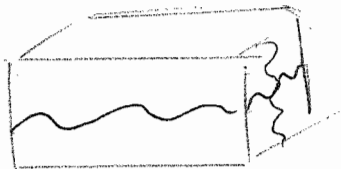
5.1 Quantenmechanische Beschreibung von N-Teilchen Systemen

für ideale Gase \hat{H} bekannt:

$$\hat{H} = \sum_{i=1}^N \frac{\hat{p}_i^2}{2m}$$

Bsp zur Näherung:

1 Teilchen im Kasten: $V = L^3$



period. PB

→ ebene Wellen

$$\psi_{\vec{p}}(\vec{x}) = \langle \vec{x} | \vec{p} \rangle = \frac{1}{\sqrt{V}} e^{i \frac{\vec{p}}{\hbar} \cdot \vec{x}}$$

$$E_{\vec{p}} = \frac{\vec{p}^2}{2m} \quad \vec{p} = \frac{2\pi\hbar}{L} (n_1, n_2, n_3)$$

Spin s : magnet QZ m_s (2S+1 Werte)

$$\rightarrow |p\rangle = |\vec{p}\rangle |m_s\rangle$$

vollst. Satz von
QZ für 1 Teilchen
im Kasten

Allgemein:

$$\hat{H}_1^{(i)} |\psi_{\alpha_i}^{(i)}\rangle = E_{\alpha_i} |\psi_{\alpha_i}^{(i)}\rangle \quad \alpha_i \text{ vollst. Satz von } \mathcal{H}_1^{(i)}$$

$$\mathcal{H}_1^{(i)} \text{ 1-Teilchen-} \hat{H}$$

i: Nummerierung der Teilchen

↳ nicht erlaubt für ununterscheidbare Teilchen.

kann als Redehilfe gemacht werden, es muss aber sichergestellt werden, dass am Ende für Erwartungswerte von i unabhängige Ausdrücke stehen

zuerst aber:

N unterscheidbare Teilchen

$$\mathcal{H}_N = \mathcal{H}_1^{(1)} \otimes \mathcal{H}_1^{(2)} \otimes \dots \otimes \mathcal{H}_1^{(N)} \quad \text{Produktraum}$$

$$|\psi_N\rangle = |\psi_{\alpha_1}^{(1)} \dots \alpha_N\rangle = |\psi_{\alpha_1}^{(1)}\rangle |\psi_{\alpha_2}^{(2)}\rangle \dots |\psi_{\alpha_N}^{(N)}\rangle$$

Bsp. #2

$$|\psi_2\rangle = \sum_{ij} a_{ij} |\psi_i^{(1)}\rangle |\psi_j^{(2)}\rangle \quad a_{ij} \in \mathbb{C}$$

$$|\psi_i^{(1)}\rangle \in \mathcal{H}_1$$

$$|\psi_j^{(2)}\rangle \in \mathcal{H}_1^{(2)}$$

• Zz. $\langle \psi_2 | \psi_2 \rangle$ Skalarprodukt

• $\langle a_n | b_m | a_n | b_m \rangle = \sum_n \sum_m$ Orthogonalität

• $\sum_{nn} |a_n b_n\rangle \langle a_n b_n| = \mathbb{1}_2$

$$|\psi_2\rangle = \sum_{ijmn} a_{ij} c_{ij} d_{ij} |a_n^{(1)}\rangle |b_m^{(2)}\rangle$$

$$= \sum_{nm} \chi_{nm} |a_n^{(1)}\rangle |b_m^{(2)}\rangle$$

Wahrscheinlichkeitsinterpretation -

$|\chi_{nm}|^2 =$ Wkt., Teilchen 1 in $|a_n^{(1)}\rangle$ und Teilchen 2 in $|b_m^{(2)}\rangle$ anzutreffen

$$\hat{H}_2 = \hat{H}_1^{(1)} \otimes \mathbb{1}^{(2)} + \mathbb{1}^{(1)} \otimes \hat{H}_1^{(2)} + \hat{H}_2^{(1,2)}$$

N unterscheidbare Teilchen

$$|\psi_N^{(\pm)}\rangle = |\psi_{a_1} \dots \psi_{a_N}\rangle^{(\pm)}$$

bestimmte Kombinationen von 1-Teilchen-Zuständen

$$= \hat{O} |\psi_{a_1}^{(1)} \psi_{a_2}^{(2)} \dots \psi_{a_N}^{(N)}\rangle$$

$$= \hat{O} |\psi_{a_i}\rangle$$

Erwartungswerte:

- notwendig N-Teilchen-Operatoren
- Vertauschen der unphysik. Nummerierung darf EW nicht verändern:

$$\langle \dots \psi_{a_i}^{(i)} \dots \psi_{a_j}^{(j)} \dots | \hat{A} | \dots \psi_{a_i}^{(i)} \dots \psi_{a_j}^{(j)} \dots \rangle$$

$$\stackrel{!}{=} \langle \dots \psi_{a_j}^{(j)} \dots \psi_{a_i}^{(i)} \dots | \hat{A} | \dots \psi_{a_j}^{(j)} \dots \psi_{a_i}^{(i)} \dots \rangle$$

Transpositionsoperator

$$\hat{P}_{ij} | \dots \varphi_{\alpha_i}^{(i)} \dots \varphi_{\alpha_j}^{(j)} \rangle = | \dots \varphi_{\alpha_j}^{(j)} \dots \varphi_{\alpha_i}^{(i)} \rangle$$

vertauscht i und j

beliebige \hat{P}_{ij} nicht vertauschbar

$$\hat{P}_{ij}^2 = 1 \quad \rightarrow \quad \hat{P}_{ij} = \hat{P}_{ij}^{-1} = \hat{P}_{ij}^+$$

Permutationsop.: $\hat{P}(\varphi_{\alpha_1}^{(1)} \varphi_{\alpha_2}^{(2)} \dots \varphi_{\alpha_N}^{(N)}) = |\varphi_{\alpha_1}^{(1)} \varphi_{\alpha_2}^{(2)} \dots \rangle$

$$\hat{P}^+ = \hat{P}^{-1} \quad \therefore \hat{A} \text{ nicht hermitesch}$$

$$\langle \varphi_N | \hat{A}_N | \varphi_N \rangle \stackrel{!}{=} \langle \varphi_N | \hat{P}_{ij}^+ \hat{A}_N \hat{P}_{ij} | \varphi_N \rangle$$

$$\langle \varphi_N | \hat{A}_N | \varphi_N \rangle \stackrel{!}{=} \langle \varphi_N | \hat{P}_{ij}^+ \hat{A}_N \hat{P}_{ij} | \varphi_N \rangle$$

da $\langle \varphi_N | \hat{A}_N | \varphi_N \rangle = \frac{1}{4} \sum \langle \varphi_N + \varphi_N | \hat{A}_N | \varphi_N + \varphi_N \rangle - \sum \langle \varphi_N - \varphi_N | \hat{A}_N | \varphi_N - \varphi_N \rangle$

+ : $\langle \dots \rangle$
- : $\langle \dots \rangle$

$$\rightarrow \hat{A}_N = \hat{P}_{ij}^+ \hat{A}_N \hat{P}_{ij}$$

$$\rightarrow [\hat{A}_N, \hat{P}_{ij}] = 0 \quad \forall i, j$$

$$[\hat{A}_N, \hat{P}] = 0$$

erlaubte Zustände?

$$|\varphi_N\rangle \langle \varphi_N| = \hat{P}_{ij}^+ |\varphi_N\rangle \langle \varphi_N| \hat{P}_{ij} = |\hat{P}_{ij} \varphi_N\rangle \langle \hat{P}_{ij} \varphi_N|$$

$|\varphi_N\rangle, |\hat{P}_{ij} \varphi_N\rangle$ spannen denselben Unterraum auf

$$\rightarrow \hat{P}_{ij} |\Psi_N\rangle = \lambda_{ij} |\Psi_N\rangle \quad ; \quad |\Psi_N\rangle \text{ ist EZ zu } \hat{P}_{ij}$$

$$\lambda_{ij} = \pm 1 \quad \text{wg. } \hat{P}_{ij}^2 = \hat{P}_{ij}^{-1}$$

$$\boxed{\hat{P}_{ij} |\Psi_N^{(\pm)}\rangle = \pm |\Psi_N^{(\pm)}\rangle}$$

Die Zustände eines Systems unterschiedl. Teilchen sind unter Vertauschung zweier Teilchen entweder symmetrisch oder antisymmetrisch

Eigenschaften der $|\Psi_N^{(\pm)}\rangle$

$$\bullet [\hat{A}_N, \hat{P}_{ij}] = 0 \quad \hat{U}_N(t, t_0) = e^{-\frac{i}{\hbar} \hat{H}_N(t-t_0)}$$

$$\rightarrow [\hat{U}_N, \hat{P}_{ij}] = 0 \quad \text{Symmetriedarakter für alle } t \text{ erhalten}$$

$$\bullet \langle \Psi_N^{(+)} | \Psi_N^{(-)} \rangle = \langle \Psi_N^{(+)} | \hat{P}_{ij}^+ \hat{P}_{ij}^- | \Psi_N^{(-)} \rangle$$

$$= - \langle \Psi_N^{(+)} | \Psi_N^{(-)} \rangle = 0$$

orthogonal

$$\bullet \langle \Psi_N^{(+)} | \hat{A}_N | \Psi_N^{(-)} \rangle = 0$$

d.h. es existiert keine Observable, die $|\Psi_N^{(+)}\rangle$ in

$|\Psi_N^{(-)}\rangle$ abbilden kann

• alle Zustände eines Systems identischer Teilchen sind entweder symmetrisch oder antisymmetrisch

$$\mathcal{X}_N^{(+)} : |\Psi_N^{(+)}\rangle \in \mathcal{X}_N \quad \mathcal{X}_N^{(-)} : |\Psi_N^{(-)}\rangle \in \mathcal{X}_N$$

getrennte Räume

Konstruktion der $|\Psi_N^{(\pm)}\rangle$

aus Produktzuständen $|\Psi_N\rangle = |\Psi_{\alpha_1} \dots \Psi_{\alpha_N}\rangle$
 $= |\Psi_{\alpha_1}\rangle \dots |\Psi_{\alpha_N}\rangle$
 Basis des \mathcal{H}_N

Gesucht: (Anti)Symmetrisierungsoperator

$$S_N^{\pm} = \frac{1}{N!} \sum_{\mathcal{P}} (\pm)^P \hat{P}$$

$$\hat{S}_N^{\pm} : \mathcal{H}_N \rightarrow \mathcal{H}_N^{(\pm)} \text{ Projektionsop.}$$

$$\text{d.h. } \hat{S}_N^{\pm} |\Psi_N\rangle = |\Psi_N^{(\pm)}\rangle$$

$$\hat{S}_N^{\pm} |\Psi_N^{\pm}\rangle = |\Psi_N^{\pm}\rangle$$

- $$\left[\hat{S}_N^{\pm} \right]^2 = \hat{S}_N^{\pm} \quad \text{idempotent}$$

$$\left[\hat{S}_N^{\pm} \right]^{\dagger} = \hat{S}_N^{\pm} \quad \text{hermitesch}$$
- } Projektionsoperator

21.12.07

Spin - Statistik - Theorem

Siehe Pauli, Phys. Rev. 58, 716 (1940):

* Die Wellenfkt. eines Systems identischer Teilchen mit ganzzahliger Spin sind symmetrisch unter Vertauschung zweier Teilchen.

$S = 0, 1, 2, \dots$ Bosone $\mathcal{H}_N^{(+)} \quad |\Psi_N^{(+)}\rangle$
 Photonen, Phononen, Cooper-Paare
 $^{23}\text{Na} \quad ^{87}\text{Rb} \quad ^{39}\text{K}$ Atome

Die Wellenfunktion eines Systems identischer Teilchen mit halbzahligem Spin sind anti-symmetrisch unter Vertauschung zweier Teilchen.

$S = \frac{1}{2}, \frac{3}{2}, \dots$ Fermionen $\mathcal{H}_N^{(-)}$ $|\Psi_N^{(-)}\rangle$
e⁻, Protonen, Neutronen
Wirk-Atome

$$|\Psi_N^{(-)}\rangle = \frac{1}{N!} \begin{vmatrix} |\varphi_{a_1}^{(1)}\rangle & \dots & |\varphi_{a_1}^{(N)}\rangle \\ \vdots & \ddots & \vdots \\ |\varphi_{a_N}^{(1)}\rangle & \dots & |\varphi_{a_N}^{(N)}\rangle \end{vmatrix} \quad \text{Slaterdeterminant}$$

wenn zwei Zeilen (Spalten identisch): Det = 0
⇔ Pauli-Prinzip = zwei identische Fermionen können nie in allen QZ übereinstimmen

Hilbert-Raum $\mathcal{H}_N^{(\pm)}$

erinnern = $\{ |\varphi_{a_i}\rangle \}$ vollst. ONS in \mathcal{H}_1
 $\{ |\varphi_N\rangle \}$ vollst. ONS in \mathcal{H}_N

Produktzustände $|\Psi_N\rangle = \sum_{\alpha_1, \dots, \alpha_N} a_{\alpha_1, \dots, \alpha_N} \underbrace{|\varphi_{\alpha_1} \dots \varphi_{\alpha_N}\rangle}_{|\varphi_{\alpha_1}^{(1)}\rangle \dots |\varphi_{\alpha_N}^{(N)}\rangle}$

$$a_{\alpha_1, \dots, \alpha_N} = \langle \varphi_{\alpha_1} \dots \varphi_{\alpha_N} | \Psi_N \rangle$$

$$|\Psi_N^{(\pm)}\rangle = \sum_{\alpha_1, \dots, \alpha_N} b_{\alpha_1, \dots, \alpha_N} |\varphi_{\alpha_1} \dots \varphi_{\alpha_N}^{(\pm)}\rangle$$

$$b_{\alpha_1, \dots, \alpha_N} = \langle \varphi_{\alpha_1}^{(\pm)} \dots \varphi_{\alpha_N}^{(\pm)} | \Psi_N^{(\pm)} \rangle$$

Für Hilbertraumüberprüfung:

2.2. Skalarprodukt

$$\begin{aligned}
 \langle^{(\pm)} \varphi_{\beta_1} \dots \varphi_{\beta_N} | \varphi_{\alpha_1} \dots \varphi_{\alpha_N}^{(\pm)} \rangle &= \langle^{(\pm)} \varphi_{\beta_1} \dots \varphi_{\beta_N} | \hat{S}_N | \varphi_{\alpha_1} \dots \varphi_{\alpha_N}^{(\pm)} \rangle \\
 \hat{S}_N | \varphi_{\alpha_1} \dots \varphi_{\alpha_N}^{(\pm)} \rangle &= | \varphi_N^{(\pm)} \rangle \\
 &= \langle \varphi_{\beta_1} \dots \varphi_{\beta_N} | \varphi_{\alpha_1} \dots \varphi_{\alpha_N}^{(\pm)} \rangle \\
 &= \frac{1}{N!} \sum_P (\pm 1)^P \langle \varphi_{\beta_1} \dots \varphi_{\beta_N} | \hat{P} | \varphi_{\alpha_1} \dots \varphi_{\alpha_N} \rangle
 \end{aligned}$$

$$\dots = \frac{1}{N!} \sum_P (\pm 1)^P \left(\langle \varphi_{\beta_1}^{(1)} | \langle \varphi_{\beta_2}^{(2)} | \dots \langle \varphi_{\beta_N}^{(N)} | \hat{P} (| \varphi_{\alpha_1}^{(1)} \rangle \dots | \varphi_{\alpha_N}^{(N)} \rangle) \right)$$

$$= \frac{1}{N!} \sum_{\substack{P \\ \uparrow \\ \text{Wicht} \\ \text{auf } \alpha}} (\pm 1)^P \hat{P}_\alpha \left[\langle \varphi_{\beta_1}^{(1)} | \varphi_{\alpha_1}^{(1)} \rangle \dots \langle \varphi_{\beta_N}^{(N)} | \varphi_{\alpha_N}^{(N)} \rangle \right]$$

$$= \hat{P}_\alpha \left[s_{\beta_1, \alpha_1} \dots s_{\beta_N, \alpha_N} \right]$$

2.7. Vollständigkeit

s. Literatur

$$\sum_{\alpha_1 \dots \alpha_N} | \varphi_{\alpha_1} \dots \varphi_{\alpha_N}^{(\pm)} \rangle \langle^{(\pm)} \varphi_{\alpha_1} \dots \varphi_{\alpha_N} | = \mathbb{1}_N$$

2.2. Orthogonalität

$$\begin{aligned}
 \langle^{(\pm)} \varphi_{\alpha_1} \dots \varphi_{\alpha_N} | \varphi_{\alpha_1} \dots \varphi_{\alpha_N}^{(\pm)} \rangle &= \frac{1}{N!} \sum_P (\pm 1)^P \left(\langle \varphi_{\alpha_1}^{(1)} | \langle \varphi_{\alpha_2}^{(2)} | \dots \right. \\
 &\quad \left. \langle \varphi_{\alpha_N}^{(N)} | \hat{P} \right. \\
 &\quad \left. | \varphi_{\alpha_1}^{(1)} \rangle | \varphi_{\alpha_2}^{(2)} \rangle \dots | \varphi_{\alpha_N}^{(N)} \rangle \right)
 \end{aligned}$$

$$= \frac{1}{N!} \prod_{i=1}^N n_{\alpha_i}!$$

Permutation der Teilchen in $| \varphi_{\alpha_i} \rangle$

$n_{\alpha_i} = 0, 1$ für Fermionen

n_{α_i} Besetzungszahl

→ Normierung

Normierung

$$C_- = \sqrt{N!}$$

$$C_+ = \sqrt{\frac{N!}{\prod_{i=1}^N n_{\alpha_i}!}}$$

Fock-Zustände / Besetzungszustände

bei fest gegebener, diskreter 1-Teilchen-Basis

$\{ |p_{\alpha_i}\rangle \}$ ist $|\Psi_N^{(\pm)}\rangle$ vollständig durch Angabe der n_{α_i} bestimmt

$$|N; n_{\alpha_1}, n_{\alpha_2}, \dots, n_{\alpha_N}\rangle^{(\pm)} = \frac{C_{\pm}}{\sqrt{N!}} \sum_{\mathcal{P}} (\pm 1)^P \hat{P} [|p_{\alpha_1}^{(1)}\rangle |p_{\alpha_2}^{(2)}\rangle \dots |p_{\alpha_1}^{(j)}\rangle |p_{\alpha_i}^{(j+1)}\rangle \dots |p_{\alpha_N}^{(N)}\rangle]$$

$$\rightarrow \langle^{(\pm)} N; \dots, n_{\alpha_i} | N'; \dots, n'_{\alpha_i} \rangle^{(\pm)} = \delta_{nn'} \prod_i \delta_{n_{\alpha_i}, n'_{\alpha_i}}$$

$$\sum_{\alpha_1, \alpha_2, \dots, \alpha_N} \sum_{n_{\alpha_1}, n_{\alpha_2}, \dots, n_{\alpha_N}} |N; n_{\alpha_1}, \dots, n_{\alpha_N}\rangle^{(\pm)} \langle^{(\pm)} N; n_{\alpha_1}, \dots, n_{\alpha_N} | = 1 \rightarrow \text{Fock-Raum}$$

n_{α_i} Häufigkeit, mit der 1-Teilchen-Zustand $|p_{\alpha_i}\rangle$ in $|\Psi_N^{(\pm)}\rangle$ vorkommt

$$\sum_i n_{\alpha_i} = N$$

$$n_{\alpha_i} = 0, 1$$

Fermionen

$$n_{\alpha_i} = 0, 1, \dots$$

Bosonen

Zweite Quantisierung

Besetzungszahl \leftrightarrow Besetzungszahl - Operator

(Anti)Symmetrie \Leftrightarrow (Anti) Kommutator - Relationen
 der Zustände f. Erzeuger / Vernichter

$$\hat{n}_{\alpha_i} = \hat{a}_{\alpha_i}^+ \hat{a}_{\alpha_i}$$

Vakuumzustand : $|0\rangle \quad \langle 0|0\rangle = 1$

Erzeuger : $\hat{a}_{\alpha}^+ : \mathcal{H}_N^{(\pm)} \rightarrow \mathcal{H}_{N+1}^{(\pm)}$

Vernichter : $\hat{a}_{\alpha} : \mathcal{H}_N^{(\pm)} \rightarrow \mathcal{H}_{N-1}^{(\pm)}$

(i) Erzeugung

$$\hat{a}_{\beta}^+ | \varphi_{\alpha_1} \dots \varphi_{\alpha_N}^{(\pm)} \rangle = \sqrt{N+1} | \varphi_{\beta} \varphi_{\alpha_1} \dots \varphi_{\alpha_N}^{(\pm)} \rangle$$

$$| \varphi_{\alpha_1} \dots \varphi_{\alpha_N}^{(\pm)} \rangle = \frac{1}{\sqrt{N!}} \hat{a}_{\alpha_1}^+ \hat{a}_{\alpha_2}^+ \dots \hat{a}_{\alpha_N}^+ |0\rangle$$

Vertauschungsrelationen:

$$\hat{a}_{\alpha_1}^+ \hat{a}_{\alpha_2}^+ | \varphi_{\alpha_3} \dots \varphi_{\alpha_N}^{(\pm)} \rangle = \underbrace{\sqrt{N(N-1)}}_{\in \mathcal{H}_{N-2}^{(\pm)}} | \varphi_{\alpha_1} \varphi_{\alpha_2} \varphi_{\alpha_3} \dots \varphi_{\alpha_N}^{(\pm)} \rangle$$

$$\hat{a}_{\alpha_2}^+ \hat{a}_{\alpha_1}^+ | \dots \rangle = \sqrt{N(N-1)} | \varphi_{\alpha_2} \varphi_{\alpha_1} \varphi_{\alpha_3} \dots \varphi_{\alpha_N}^{(\pm)} \rangle$$

$$= \pm \sqrt{N(N-1)} | \varphi_{\alpha_1} \varphi_{\alpha_2} \varphi_{\alpha_3} \dots \varphi_{\alpha_N}^{(\pm)} \rangle$$

$$[\hat{a}_{\alpha_1}^+, \hat{a}_{\alpha_2}^+]_{\pm} = \hat{a}_{\alpha_1}^+ \hat{a}_{\alpha_2}^+ \mp \hat{a}_{\alpha_2}^+ \hat{a}_{\alpha_1}^+ = 0$$

(ii) Umkehr $\langle^{(\pm)} \psi_{\alpha_1} \dots \psi_{\alpha_N} | \hat{a}_j = \sqrt{N+1} \langle^{(\pm)} \psi_j \psi_{\alpha_1} \dots \psi_{\alpha_N} |$

$\langle^{(\pm)} \psi_{\alpha_1} \dots \psi_{\alpha_N} | = \frac{1}{\sqrt{N!}} \langle 0 | \hat{a}_{\alpha_N} \dots \hat{a}_{\alpha_1}$

$\hat{a}_j | 0 \rangle = | 0 \rangle$

$$[\hat{a}_{\alpha_1}, \hat{a}_{\alpha_2}]_{\mp} = ([\hat{a}_{\alpha_1}^+, \hat{a}_{\alpha_2}^+]_{\mp})^{\dagger} = 0$$

$$\begin{aligned} \hat{a}_{\beta} \hat{a}_{\gamma} | \psi_{\alpha_1} \dots \psi_{\alpha_N}^{(\pm)} \rangle &= \sqrt{N+1} \hat{a}_{\beta} | \psi_{\beta} \psi_{\alpha_1} \dots \psi_{\alpha_N}^{(\pm)} \rangle \\ &= \delta_{\beta\gamma} | \psi_{\alpha_1} \dots \psi_{\alpha_N}^{(\pm)} \rangle + (\pm 1) \delta_{\alpha_1} \\ &\quad \cdot | \psi_{\beta} \psi_{\alpha_2} \dots \psi_{\alpha_N}^{(\pm)} \rangle + \dots + \\ &\quad + (\pm 1)^N \delta_{\beta, \alpha_N} | \psi_j \psi_{\alpha_1} \dots \psi_{\alpha_{N-1}}^{(\pm)} \rangle \quad (*) \end{aligned}$$

$$\begin{aligned} \hat{a}_{\gamma}^+ \hat{a}_{\beta}^+ | \psi_{\alpha_1} \dots \psi_{\alpha_N}^{(\pm)} \rangle &= \delta_{\beta\alpha_1} | \psi_{\beta} \psi_{\alpha_2} \dots \psi_{\alpha_N}^{(\pm)} \rangle \\ &\quad + (\pm 1) \delta_{\beta, \alpha_2} | \psi_{\gamma} \psi_{\alpha_1} \psi_{\alpha_3} \dots \psi_{\alpha_N}^{(\pm)} \rangle \\ &\quad + \dots \\ &\quad + (\pm 1)^{N-1} \delta_{\beta, \alpha_N} | \psi_{\gamma} \psi_{\alpha_1} \dots \psi_{\alpha_{N-1}}^{(\pm)} \rangle \quad (** \end{aligned}$$

multipl. (**) mit ± 1 und ziehe von (*) ab:

$$(\hat{a}_{\beta} \hat{a}_{\gamma}^+ \mp \hat{a}_{\gamma}^+ \hat{a}_{\beta}) | \psi_{\alpha_1} \dots \psi_{\alpha_N}^{(\pm)} \rangle = \delta_{\beta\gamma} | \psi_{\alpha_1} \dots \psi_{\alpha_N}^{(\pm)} \rangle$$

$$\rightarrow [\hat{a}_{\beta}, \hat{a}_{\gamma}^+]_{\mp} = \delta_{\beta\gamma}$$

erinnern: Fock-Zustand:

$$| N, \alpha_{\alpha_1} \dots \alpha_{\alpha_N}^{(\pm)} \rangle = \frac{c_{\pm}}{\sqrt{N!}} \sum_{\mathcal{P}} (\pm 1)^{\mathcal{P}} [| \psi_{\alpha_1}^{(1)} \rangle | \psi_{\alpha_2}^{(2)} \rangle \dots | \psi_{\alpha_i}^{(i)} \rangle \dots | \psi_{\alpha_{N-1}}^{(N-1)} \rangle \dots | \psi_{\alpha_N}^{(N)} \rangle]$$

$$--- = C_{\pm} |\varphi_{\alpha_1} \dots \varphi_{\alpha_N}^{(\pm)}\rangle$$

$$\hat{a}_i^+ |N_i \dots n_{\alpha_i} \dots^{(\pm)}\rangle = \hat{a}_i^+ C_{\pm} |\varphi_{\alpha_1} \dots \varphi_{\alpha_N}^{(\pm)}\rangle$$

$$= C_{\pm} \sqrt{n_{\alpha_i} + 1} |\varphi_{\alpha_1} \varphi_{\alpha_2} \dots \varphi_{\alpha_N}^{(\pm)}\rangle$$

$$= C_{\pm} (\pm)^{N_i} \sqrt{n_{\alpha_i} + 1} |\varphi_{\alpha_1} \dots \underbrace{\varphi_{\alpha_i} \varphi_{\alpha_i} \dots \varphi_{\alpha_N}}_{n_{\alpha_i} + 1}^{(\pm)}\rangle$$

$$\hat{a}_i^+ |N_i \dots n_{\alpha_i} \dots^{(\pm)}\rangle = (\pm 1)^{N_i} \sqrt{n_{\alpha_i} + 1} |N_i + 1; \dots n_{\alpha_i} + 1 \dots^{(\pm)}\rangle$$

Erzeugung von Fockzustand aus Vakuum $|0\rangle$:

$$|N_i; n_{\alpha_1} \dots n_{\alpha_N} \dots^{(\pm)}\rangle = \frac{(\pm 1)^{N_i}}{i! \sqrt{n_{\alpha_i}!}} [\hat{a}_i^+]^{n_{\alpha_i}} |0\rangle$$

$$\text{Vernichter } \hat{a}_i = (\hat{a}_i^+)^{\dagger}$$

$$\langle^{(\pm)} N_i \dots n_{\alpha_i} | \hat{a}_i | N_i' \dots n_{\alpha_i}' \dots^{(\pm)} \rangle =$$

$$(\pm 1)^{N_i} \sqrt{n_{\alpha_i} + 1} \langle^{(\pm)} N_i + 1; \dots n_{\alpha_i} + 1 \dots | N_i' \dots n_{\alpha_i}' \dots^{(\pm)} \rangle$$

$$= (\pm 1)^{N_i} \sqrt{n_{\alpha_i} + 1} \delta_{N_i + 1, N_i'} [\delta_{n_{\alpha_1}, n_{\alpha_1}'} \dots \delta_{n_{\alpha_i} + 1, n_{\alpha_i}'} \dots]$$

$$= (\pm 1)^{N_i} \sqrt{n_{\alpha_i}} \delta_{N_i + 1, N_i'} [\delta_{n_{\alpha_1}, n_{\alpha_1}'} \dots \delta_{n_{\alpha_i}, n_{\alpha_i}'} \dots]$$

$$= (\pm 1)^{N_i} \sqrt{n_{\alpha_i}} \langle^{(\pm)} N_i \dots n_{\alpha_i} \dots | N_i' - 1; \dots n_{\alpha_i}' - 1 \dots^{(\pm)} \rangle$$

$$N_i = \sum_{j=1}^{i-1} n_{\alpha_j} = \sum_{j=1}^{i-1} n_{\alpha_j}' = N_i'$$

$$\rightarrow \hat{a}_i |N_i \dots n_{\alpha_i} \dots^{(\pm)}\rangle = (\pm 1)^{N_i} \sqrt{n_{\alpha_i}} |N_i - 1; \dots n_{\alpha_i} - 1 \dots^{(\pm)}\rangle$$

Wdh: $a_{\alpha}^{\pm} |N; \dots n_{\alpha}; \dots\rangle^{(\pm)} = (\pm 1)^{N_{\alpha}} \sqrt{n_{\alpha} \pm 1} |N \pm 1; \dots n_{\alpha} \pm 1; \dots\rangle^{(\pm)}$

Bosonen: $\hat{a}_{\alpha}^{\pm} |N; \dots n_{\alpha}; \dots\rangle^{(\pm)} = \sqrt{n_{\alpha} \pm 1} |N \pm 1; \dots n_{\alpha} \pm 1; \dots\rangle^{(\pm)}$
 Fermionen: $= (-1)^{N_{\alpha}} S_{n_{\alpha}, 0} |N \pm 1; \dots n_{\alpha} \pm 1; \dots\rangle^{(\pm)}$

Vorsicht:

$\hat{a}_{\alpha}^{\pm} |N; \dots n_{\alpha}; \dots\rangle^{(\pm)} = (\pm 1)^{N_{\alpha}} \sqrt{n_{\alpha}} |N-1; \dots n_{\alpha}-1; \dots\rangle^{(\pm)}$

getrennt in Bosonen u. Fermionen:

Bosonen: $\hat{a}_{\alpha}^{\pm} |N; \dots n_{\alpha}; \dots\rangle^{(\pm)} = \sqrt{n_{\alpha}} |N-1; \dots n_{\alpha}-1; \dots\rangle^{(\pm)}$

Fermionen: $\hat{a}_{\alpha}^{\pm} |N; \dots n_{\alpha}; \dots\rangle^{(\pm)} = (\pm 1)^{N_{\alpha}} S_{n_{\alpha}, 1} |N-1; \dots n_{\alpha}-1; \dots\rangle^{(\pm)}$

(Anti)-Kommutatorrelationen im Fock-Raum

$[\hat{a}_{\alpha_i}, \hat{a}_{\alpha_j}]_{\mp} = [\hat{a}_{\alpha_i}^{\pm}, \hat{a}_{\alpha_j}^{\pm}]_{\mp} = 0$

$[\hat{a}_{\alpha_i}, \hat{a}_{\alpha_j}]_{\mp} = \delta_{\alpha_i, \alpha_j}$

Darstellung beliebiger Operatoren über $\hat{a}_{\alpha_i}, \hat{a}_{\alpha_j}^{\pm}$

$$\hat{A}_N = \mathbb{1} \hat{A}_N \mathbb{1} = \sum_{\alpha_1, \dots, \alpha_N} \sum_{\beta_1, \dots, \beta_N} |\varphi_{\alpha_1, \dots, \alpha_N}\rangle^{(\pm)} \langle \varphi_{\beta_1, \dots, \beta_N} |^{(\pm)} \hat{A} |\varphi_{\alpha_1, \dots, \alpha_N}\rangle^{(\pm)} \langle \varphi_{\beta_1, \dots, \beta_N} |^{(\pm)}$$

$$= \frac{1}{N!} \sum_{\alpha_1, \dots, \alpha_N} \sum_{\beta_1, \dots, \beta_N} \hat{a}_{\alpha_1}^{\pm} \dots \hat{a}_{\alpha_N}^{\pm} |0\rangle \langle 0| \hat{a}_{\beta_N}^{\pm} \dots \hat{a}_{\beta_1}^{\pm}$$

Was soll \hat{A}_N eigentlich sein? \rightarrow Zerlegung

$\hat{A}_N = \sum_{i=1}^N \hat{A}_1^{(i)} + \sum_{i \neq j} \hat{A}_2^{(i,j)} + \sum_{i \neq j \neq k} \hat{A}_3^{(i,j,k)} + \dots$

Vielteilchenoperator kann zerlegt werden in
 Einteilchen-, Zweiteilchen-, Dreiteilchen-, ... Operatoren.

Matrixelemente in Bezug auf diese Zerlegung (nur Einteilchen)

$$\begin{aligned}
 & \langle \pm \psi_{\alpha_1} \dots \psi_{\alpha_N} | \hat{A}_N | \psi_{\beta_1} \dots \psi_{\beta_N}^{(\pm)} \rangle \\
 \xrightarrow{1\text{-Teilchen}} & = \frac{1}{N!} \sum_P (\pm 1)^P \hat{P} \left[\langle \psi_{\alpha_1}^{(1)} | \hat{A}_1^{(1)} | \psi_{\beta_1}^{(1)} \rangle \langle \psi_{\alpha_2}^{(2)} | \psi_{\beta_2}^{(2)} \rangle \right. \\
 & \dots \langle \psi_{\alpha_N} | \psi_{\beta_N} \rangle + \dots \text{(für alle Einteilchenops)} \\
 & \left. \dots \langle \psi_{\alpha_N}^{(N)} | \hat{A}_1^{(N)} | \psi_{\beta_N}^{(N)} \rangle \right]
 \end{aligned}$$

Permutationen liefern N-mal dasselbe

$$\begin{aligned}
 \sum_i A_i^{(1)} & = \frac{N}{N!} \sum_{\alpha_1 \dots \alpha_N} \sum_{\beta_1 \dots \beta_N} \hat{a}_{\alpha_1}^+ \dots \hat{a}_{\alpha_N}^+ |0\rangle \left[\langle \psi_{\alpha_1}^{(1)} | \hat{A}_1^{(1)} | \psi_{\beta_1} \rangle \right. \\
 & \left. S_{\alpha_2, \beta_2} \dots S_{\alpha_N, \beta_N} \right] \langle 0 | \hat{a}_{\beta_N} \dots \hat{a}_{\beta_1} \\
 & = \sum_{\alpha_1} \sum_{\beta_1} \langle \psi_{\alpha_1}^{(1)} | \hat{A}_1^{(1)} | \psi_{\beta_1} \rangle \hat{a}_{\alpha_1}^+ \left[\frac{1}{(N-1)!} \sum_{\alpha_2 \dots \alpha_N} \hat{a}_{\alpha_2}^+ \dots \hat{a}_{\alpha_N}^+ |0\rangle \right. \\
 & \left. \langle 0 | \hat{a}_{\alpha_N} \dots \hat{a}_{\alpha_2} \right] \hat{a}_{\beta_1} \\
 & \quad \downarrow \text{d.h. wg.} \\
 & \quad \downarrow \text{S-Funktion}
 \end{aligned}$$

[...] oben ist 1 im N-1-Teilchen-Raum
 => fällt weg

$$\sum_i A_i^{(1)} = \sum_{\alpha \beta} \langle \psi_{\alpha} | \hat{A}_1 | \psi_{\beta} \rangle \hat{a}_{\alpha}^+ \hat{a}_{\beta}$$

analog (aber mit mehr Indizes) für 2- und
 mehrteilchen-operatoranteile; Ergebnis für 2-Teilchen:

$$\sum_{i,j} \hat{A}_2^{(i,j)} = \sum_{\alpha_1 \alpha_2 \beta_1 \beta_2} \langle \psi_{\alpha_1} \psi_{\alpha_2} | \hat{A}_2 | \psi_{\beta_1} \psi_{\beta_2} \rangle \hat{a}_{\alpha_1}^+ \hat{a}_{\alpha_2}^+ \hat{a}_{\beta_2} \hat{a}_{\beta_1}$$

speziell: Besetzungszahl-op: $\hat{n}_{\alpha_i} = \hat{a}_{\alpha_i}^+ \hat{a}_{\alpha_i}$

2. Quantisierung \rightarrow Vielteilchentheorie

Für die stat. Physik: Fock-Zustände

$$|N; n_{\alpha_1} \dots n_{\alpha_N}\rangle^{(\pm)} = c_{\pm} |\varphi_{\alpha_1} \dots \varphi_{\alpha_N}\rangle$$

$$= \frac{c_{\pm}}{\sqrt{N!}} \sum_{\mathcal{P}} (\pm 1)^P \mathcal{P} [$$

$$|\varphi_{\alpha_1}^{(1)}\rangle \dots |\varphi_{\alpha_i}^{(j)}\rangle \dots |\varphi_{\alpha_i}^{(j+1)}\rangle \dots |\varphi_{\alpha_N}^{(N)}\rangle$$

$$]$$

2 Teilchen in
einem Zustand (Boson)

$$c_+ = \sqrt{\frac{N!}{n_1! n_2! \dots}}$$

$$c_- = \sqrt{N!}$$

$$\hat{N} = \sum_i \hat{n}_{\alpha_i}$$

$$\hat{H} = \sum_i \epsilon_i \hat{n}_{\alpha_i}$$

$$N = \sum_i n_{\alpha_i}$$

$$E = \sum_i \epsilon_i n_{\alpha_i} = E(\{n_{\alpha_i}\})$$

5.2 großkanonische Zustandssumme

$$Z_{gr} = \text{Tr} [e^{-\beta(\hat{H} - \mu \hat{N})}]$$

$$Z_{gr} = \sum_{N=0}^{\infty} \sum_{\substack{\{n_i\} \\ \sum_i n_i = N}} \exp[-\beta(\sum_i (\epsilon_i - \mu) n_i)]$$

$$\sum_{N=0}^{\infty} \sum_{\substack{\{n_i\} \\ \sum_i n_i = N}} = \sum_{n_1} \sum_{n_2} \dots \sum_{n_i} \dots = \sum_{\{n_i\}}$$

Dieser Möglichkeit der Umschreibung der Summe begründet, warum man die Quantengase großkanonisch behandeln kann

$$Z_g = \sum_{\{n_i\}} e^{-\beta \sum_i (\epsilon_i - \mu) n_i}$$

$$= \prod_i \sum_{n_i} e^{-\beta (\epsilon_i - \mu) n_i}$$

$$= \prod_i \left\{ \begin{array}{l} \sum_{n_i=0}^{\infty} e^{-\beta (\epsilon_i - \mu) n_i} \\ 1 + e^{-\beta (\epsilon_i - \mu)} \end{array} \right. \quad \begin{array}{l} \text{Bosonen} \\ \text{Fermionen} \end{array}$$

$$= \prod_i \left\{ \begin{array}{l} [1 - e^{-\beta (\epsilon_i - \mu)}]^{-1} \\ 1 + e^{-\beta (\epsilon_i - \mu)} \end{array} \right. \quad \text{geom. Reihe}$$

→ großkanon. Potential

$$\begin{aligned} \phi &= -k_B T \ln Z_g \\ &= \pm k_B T \sum_i \ln [1 \mp e^{-\beta (\epsilon_i - \mu)}] \\ &= \phi(T, V, \mu) \end{aligned}$$

Volumen? → implizit über die ϵ_i

$$d\phi = -SdT - pdV - N d\mu$$

$$\begin{aligned} \langle N \rangle &= - \frac{\partial \phi}{\partial \mu} \Big|_{T, V} \\ &= - (\pm k_B T) \sum_i \frac{\mp \beta e^{-\beta (\epsilon_i - \mu)}}{1 \mp e^{-\beta (\epsilon_i - \mu)}} \\ &= \sum_i \frac{e^{-\beta (\epsilon_i - \mu)}}{1 \mp e^{-\beta (\epsilon_i - \mu)}} \\ &= \sum_i \frac{1}{e^{+\beta (\epsilon_i - \mu)} \mp 1} \\ &= \sum_i n(\epsilon_i) \end{aligned}$$

$$n_{FD}(\epsilon_i) = \frac{1}{e^{\beta(\epsilon_i - \mu)} + 1}$$

Fermi-Dirac-Verteilungsfkt.

$$n_{BE}(\epsilon_i) = \frac{1}{e^{\beta(\epsilon_i - \mu)} - 1}$$

Bose-Einstein-Verteilungsfkt.

klass. Grenzfall $\beta(\epsilon_i - \mu) \gg 1$

$$\left. \begin{array}{l} n_{FD}(\epsilon_i) \\ n_{BE}(\epsilon_i) \end{array} \right\} \rightarrow e^{-\beta(\epsilon_i)} \quad \text{Boltzmann-Verteilungsfkt.}$$

Im klass. Grenzfall verschwindet der Unterschied
zw. Fermionen u. Bosonen

Innere Energie

$$U = \phi + TS + \mu N$$

Legendre-Transformation

$$S = - \left. \frac{\partial \phi}{\partial T} \right|_{\mu, V} = \frac{1}{k_B T^2} \left. \frac{\partial \phi}{\partial \beta} \right|_{\mu, V}$$

$$U = \phi + \frac{1}{k_B T} \left. \frac{\partial \phi}{\partial \beta} \right|_{\mu, V} + \mu N$$

$$= \left. \frac{\partial (\beta \phi)}{\partial \beta} \right|_{\mu, V} + \mu N \quad | \text{ einsetzen}$$

$$= \pm \frac{\partial}{\partial \beta} \sum_i \ln [1 \mp e^{-\beta(\epsilon_i - \mu)}] + \mu N$$

$$= \pm \sum_i \frac{\pm(\epsilon_i - \mu) e^{-\beta(\epsilon_i - \mu)}}{1 \mp e^{-\beta(\epsilon_i - \mu)}} + \mu N$$

$$\begin{aligned}
 U &= \sum_i \varepsilon_i u(\varepsilon_i) - \mu \sum_i u(\varepsilon_i) + \mu N \\
 &= \sum_i \varepsilon_i n(\varepsilon_i) \\
 &= \sum_i \varepsilon_i \langle n_i \rangle
 \end{aligned}$$

Volumen steckt implizit in ε_i , dies soll näher betrachtet werden

Kontinuumslimes

Teilchen im Kasten $V = L^3$

$$\sum_{\nu_1, \nu_2, \nu_3} \longrightarrow S d^3 \nu = \left(\frac{L}{2\pi\hbar} \right)^3 S d^3 p$$

$$\sum_p \longrightarrow g \frac{V}{(2\pi\hbar)^3} S d^3 p$$

↑
Entartungsfaktor

$$N = \sum_p u(\varepsilon_p) = g \frac{V}{(2\pi\hbar)^3} S d^3 p n(\varepsilon_p)$$

$$= g \frac{V}{(2\pi\hbar)^3} 4\pi S dp p^2 u(\varepsilon_p)$$

$$\varepsilon_p = \frac{p^2}{2m}$$

$$\frac{d\varepsilon}{dp} = \frac{p}{m}$$

$$\dots = g \frac{V}{(2\pi\hbar)^3} 4\pi \frac{1}{2} (2m)^{3/2} S d\varepsilon \sqrt{\varepsilon} u(\varepsilon)$$

subst. $x := \beta\varepsilon$

$$\dots = g \frac{V}{(2\pi\hbar)^3} 2\pi (2m)^{3/2} (\hbar^3 T)^{3/2} S dx \sqrt{x} n(x)$$

$$= g V \left[\frac{\sqrt{2\pi m \hbar^3 T}}{h} \right]^3 \frac{2}{\sqrt{\pi}} \int_0^\infty dx \frac{\sqrt{x}}{e^{x-\beta\mu} \mp 1}$$

$$N = \frac{2Vg}{\lambda_T^3 \sqrt{\pi}} \int_0^\infty dx \frac{\sqrt{x}}{e^x z^{-1} + 1} \quad z = e^{\beta\mu}$$

$$\frac{N}{V} = \frac{g}{\lambda_T^3} \begin{cases} g_{3/2}(z) & \text{Bosone} \\ f_{3/2}(z) & \text{Fermione} \end{cases}$$

Verallgemeinerte ζ -Funktionen

$$\left. \begin{matrix} g_\nu \\ f_\nu \end{matrix} \right\} \equiv \frac{1}{\Gamma(\nu)} \int_0^\infty dx \frac{x^{\nu-1}}{e^x z^{-1} + 1}$$

$$g_\nu = \sum_{m=0}^\infty \frac{z^m}{m^\nu}$$

$$f_\nu = \sum_{m=0}^\infty (-1)^{m+1} \frac{z^m}{m^\nu}$$

11.1.08

großkanonisches Potential

$$\begin{aligned} \phi &= \pm k_B T \sum_p \ln [1 \mp e^{-\beta(\epsilon_p - \mu)}] \\ &= \pm k_B T \frac{gV}{(2\pi\hbar)^3} \int d^3p \ln [1 \mp e^{-\beta(\epsilon_p - \mu)}] \\ &\quad d^3p = 4\pi dp^2 \quad \epsilon_p = \frac{p^2}{2m} \end{aligned}$$

$$\begin{aligned} \phi &\stackrel{x=\beta p^2}{=} \pm k_B T \frac{gV}{\lambda_T^3} \frac{2}{\sqrt{\pi}} \int dx \sqrt{x} \ln [1 \mp e^{-x} z] \\ &\quad \underbrace{\quad}_{\approx u} \quad \underbrace{\quad}_{\approx v} \\ &\quad \text{part. Int} \end{aligned}$$

~~$$\int dx \dots = \frac{2}{3} x^{3/2} \ln [1 + e^{-x} z] \Big|_0^\infty - \int_0^\infty dx \frac{2}{3} x^{3/2} \frac{\pm e^{-x} z}{1 \mp e^{-x} z}$$~~

$$= \pm k_B T \frac{gV}{\lambda_T^3} \frac{2}{\sqrt{\pi}} \int_0^\infty dx \left[-\frac{2}{3} x^{3/2} \right] \frac{\pm e^{-x} z}{1 \mp e^{-x} z}$$

$$\phi = - \frac{gV}{\lambda^3} k_B T \frac{4}{3\sqrt{\pi}} \int_0^{\infty} dx \frac{x^{3/2}}{e^{x-1} + 1}$$

$$= - \frac{gV}{\lambda^3} k_B T \begin{cases} g_{5/2}(z) & \text{Bosonen} \\ f_{5/2}(z) & \text{Fermionen} \end{cases}$$

Energie

$$E = \sum_p \epsilon_p n(\epsilon_p) = \frac{gV}{h^3} \int d^3p \epsilon_p n(\epsilon_p)$$

$$= \frac{gV}{h^3} z \tau (2\pi)^{3/2} \int d\epsilon \epsilon^{3/2} n(\epsilon)$$

$$\stackrel{x=\beta\epsilon}{=} k_B T \frac{gV}{\lambda^3} \frac{2}{\sqrt{\pi}} \int_0^{\infty} dx \frac{x^{3/2}}{e^{x-1} + 1}$$

$$= \frac{1}{\lambda^3} \frac{2gV}{\sqrt{\pi}} k_B T \frac{3\sqrt{\pi}}{4} \begin{cases} g_{5/2}(z) \\ f_{5/2}(z) \end{cases}$$

$$E = -\frac{3}{2} \phi = \frac{3}{2} pV \quad (\text{siehe Gibbs-Duhem})$$

5.3 klassischer Grenzfall

$g_{5/2}$, $f_{5/2}$ haben Reihenentwicklung, diese können betrachtet werden um den klass. Grenzfall zu finden bzw. wie die Quantenkorrekturen aussehen

Es wird sich herausstellen, dass der klass. Grenzfall eintritt, wenn $\lambda_T \ll V$

Reihenentwicklung der ζ -Funktionen

$$\left. \begin{matrix} g_\nu \\ f_\nu \end{matrix} \right\} \equiv \frac{1}{\Gamma(\nu)} \int_0^{\infty} dx \frac{x^{\nu-1}}{e^{x-1} + 1} \quad (\text{s.o.})$$

$$\dots = \frac{1}{\Gamma(\nu)} \int_0^{\infty} dx x^{\nu-1} e^{-x} z \underbrace{\sum_{k=0}^{\infty} (\pm 1)^k e^{-xk} z^k}_{\frac{1}{1 \mp e^{-x} z}}$$

$$= \frac{1}{\Gamma(\nu)} \int_0^{\infty} dx x^{\nu-1} \sum_{m=0}^{\infty} (\pm 1)^m e^{-x(m+1)} z^{m+1}$$

$$\text{Inverses.} = \frac{1}{\Gamma(\nu)} \int_0^{\infty} dx x^{\nu-1} \sum_{m=1}^{\infty} (\pm 1)^{m+1} e^{-xm} z^m$$

$$= \frac{1}{\Gamma(\nu)} \sum_{m=1}^{\infty} (\pm 1)^{m+1} z^m m^{-\nu} \underbrace{\int_0^{\infty} d(mx) (mx)^{\nu-1} e^{-mx}}_{= \Gamma(\nu)}$$

$$= \sum_{m=1}^{\infty} (\pm 1)^{m+1} \frac{z^m}{m^{\nu}}$$

$$\frac{U}{V} = \frac{1}{V} = \frac{g}{\lambda_T^3} \left\{ \begin{matrix} g_{3/2}(z) \\ f_{3/2}(z) \end{matrix} \right\} = \frac{g}{\lambda_T^3} \left[z \pm \frac{z^2}{2^{3/2}} + o(z^3) \right]$$

Iteratives Auflöse

$$z = \frac{\lambda_T^3}{Vg} \mp \frac{1}{2^{3/2}} \left(\frac{\lambda_T^3}{Vg} \right)^2 + o \left[\left(\frac{\lambda_T^3}{Vg} \right)^3 \right]$$

$$\phi = - \frac{gV}{\lambda_T^3} \ln_T \left\{ \begin{matrix} g_{5/2} \\ f_{5/2} \end{matrix} \right\} = - \frac{gV}{\lambda_T^3} \ln_T \left[z \pm \frac{z^2}{2^{5/2}} + o(z^3) \right]$$

$$= - \frac{gV}{\lambda_T^3} \ln_T \frac{\lambda_T^3}{Vg} \left[1 \mp \frac{\lambda_T^3}{2^{5/2} Vg} \right] + o \left[\left(\frac{\lambda_T^3}{Vg} \right)^3 \right]$$

$$-\phi = \boxed{pV \approx Nk_B T \left[1 \mp \frac{1}{2^{5/2} g} \frac{\lambda_T^3}{V} \right]}$$

Zustandsgleichung idealer Quantengase

Symmetrisierung
Antisymmetrisierung \rightarrow Verringerung
Erhöhung des Drucks

$$U = \frac{3}{2} pV \approx 3Nk_B T \left[1 + \frac{1}{2^{5/2} g} \frac{\lambda_T^3}{v} \right]$$

Austausch - korrektur
 $\sim \lambda^3$

$$z = e^{\beta\mu} \quad \text{Fugazität}$$

$$\mu = k_B T \ln z$$

$$\approx k_B T \ln \left[\frac{\lambda_T^3}{g v} + \frac{1}{2^{5/2} g} \left(\frac{\lambda_T^3}{v} \right)^2 \right]$$

$$\text{freie Energie} \quad F = \phi + \mu N$$

$$F \approx \underbrace{Nk_B T (-1 + \ln \left(\frac{\lambda_T^3}{g v} \right))}_{F_{\text{class}}} + Nk_B T \frac{1}{2^{5/2}} \frac{\lambda_T^3}{g v}$$

klassischer Grenzfalle: $z \ll 1 \rightarrow \lambda_T^3 \ll v$
stark verdünnter Gase
(encl. diluted)

5.4 Entartetes ideales Fermi-Gas

Was passiert bei $T=0$?

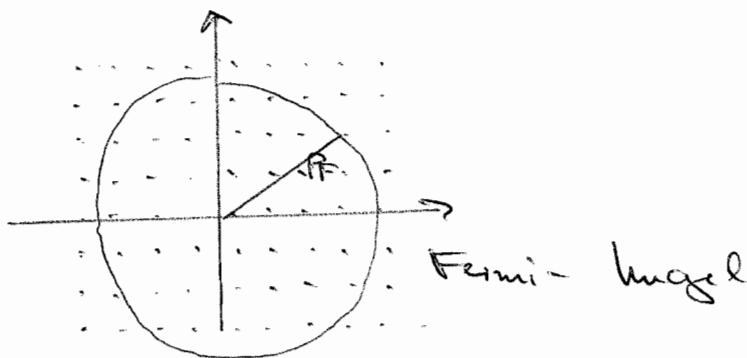
System von N Fermionen \rightarrow N niedrigste 1-Teilchen-
Zustände sind besetzt. (Pauli-
Prinzip)
 $n_{FD}(\epsilon_p) \rightarrow \theta(\mu - \epsilon_p)$ Aufenthalt

$$N = g \sum_{\mathbf{p} \leq p_F} 1 = g \frac{V}{(2\pi\hbar)^3} \int d^3p \delta(p_F - p)$$

$$= \frac{g V p_F^3}{6\pi^2 \hbar^3}$$

$$n = \frac{N}{V}$$

$$\text{Fermi-Impuls } p_F = \left(\frac{6\pi^2}{g} \right)^{1/3} \hbar n^{2/3}$$



$$\text{Fermi-Energie } E_F = \frac{p_F^2}{2m} = \left(\frac{6\pi^2}{g} \right)^{2/3} \frac{\hbar^2}{2m} n^{2/3}$$

Grundzustandsenergie

$$E = \frac{gV}{(2\pi\hbar)^3} \int d^3p \frac{p^2}{2m} \delta(p_F - p) = \frac{3}{5} E_F N$$

$$\text{Druck } p = \frac{2}{5} E_F n$$

Grundzustand nicht entartet $\rightarrow S=0$ bei $T=0$

den. Potential mit Legendre-Transform. ausrechnen

$$\mu N = E + pV - TS$$

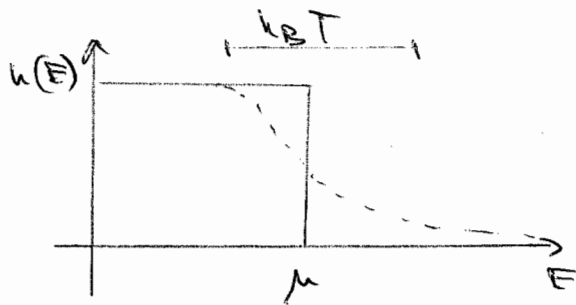
$$\left| \mu = \frac{E}{N} + pV = E_F \right|$$

Bei $T=0$ ist das den. Pot. gleich der Fermienergie

Fermi-Temperatur $T_F = \frac{E_F}{k_B}$

$T \ll T_F$: (fast) entartetes Fermigas

$T \gg T_F$: klass. Grenzfall



bekanntestes Beispiel:

Freies Elektronengas

e^- -Metall = ideales Fermigas \leftarrow Abschirmung (screening)

$$E_F \approx 10 \text{ eV} \quad \rightarrow \quad T_F = 120\,000 \text{ K}$$

$$k_B T \approx \frac{1}{40} \text{ eV} \quad \text{für Zimmertemp.} \quad \rightarrow \quad \frac{k_B T_{\text{Zimmer}}}{E_F} \ll 1$$

Elektrona stellen (bei Zimmertemp.) ein Tieftemperatur-System dar

mittl. Energie der Fermionen

$$U = \frac{gV}{(2\pi\hbar)^3} \int d^3p \quad E_p \quad u(E_F)$$

$$d^3p = 4\pi dp^2$$

$$E_p = \frac{p^2}{2m}$$

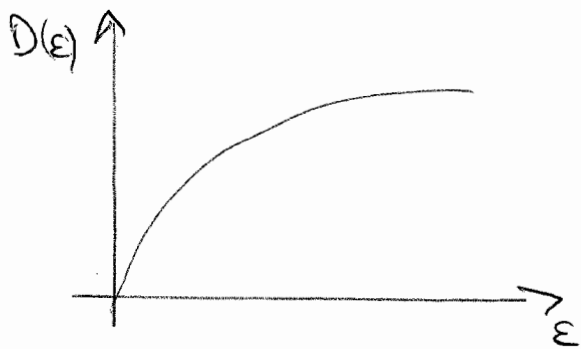
$$= \frac{gV}{(2\pi\hbar)^3} \frac{1}{2} 4\pi (2m)^{3/2} \int dE \sqrt{E} \quad u(E)$$

$$U = \int dE \quad D(E) \quad E \quad u(E)$$

\uparrow
definiert "Zustandsdichte"

$$D(E) = \frac{gV}{4\pi^2} \left(\frac{2m}{\hbar^2}\right)^{3/2} \sqrt{E} = \frac{3N}{2E_F^{3/2}} \sqrt{E}$$

(eigentlich Abhängigkeit ist aber kleiner)



Zustandsdichte:

Anzahl der 1-Teilchen-Zustände pro Energie-einheit

$$T=0 \quad u = \frac{3N}{2 E_F^{3/2}} \int_0^{E_F} dE E^{3/2} = \frac{3}{5} N E_F$$

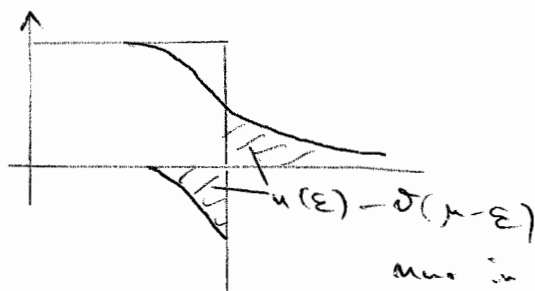
$$pV = \frac{2}{3} u \quad \rightarrow \quad p = \frac{2}{5} u E_F \quad \text{Entartungsdruck}$$

$$N(E) = \int_0^E D(E) u(E) = \frac{3N}{2 E_F^{3/2}} \int_0^E \sqrt{E} u(E)$$

Vereinfachung der Integrale?

Sommerfeld - Entwicklung

$$I = \int_0^{\infty} dE f(E) u(E) \\ = \int_0^{\mu} dE f(E) + \int_0^{\infty} dE f(E) [u(E) - \delta(\mu - E)]$$



nur in Umgebung von $\mu \neq 0$;
antisymmetrisch

$$I \approx \int_0^{\mu} dE f(E) + \int_{-\infty}^{+\infty} dE f(E) [u(E) - \delta(\mu - E)]$$

$$\stackrel{\text{Taylor}}{\approx} \int_0^{\mu} dE f(E) + \int_{-\infty}^{+\infty} dE \left[f(\mu) + f'(\mu)(E-\mu) + \frac{1}{2} f''(\mu)(E-\mu)^2 + \dots \right] [u(E) - \delta(\mu - E)]$$

antisymmetrie \rightarrow gerade Potenzen fallen weg $\textcircled{1}$

$$I \approx \int_0^{\mu} d\varepsilon f(\varepsilon) + (k_B T)^2 f'(\mu) \int_0^{\infty} dx x [u(x) - \vartheta(-x)] + \frac{1}{3!} (k_B T)^4 f'''(\mu) \int_0^{\infty} dx x^3 [u(x) - \vartheta(-x)]$$

$$\textcircled{1} = 2 \int_0^{\infty} dx x u(x)$$

$$= \int_0^{\mu} d\varepsilon f(\varepsilon) + (k_B T)^2 f'(\mu) 2 \int_0^{\infty} dx x u(x) + \frac{2}{3!} (k_B T)^4 f'''(\mu) \int_0^{\infty} dx x^3 u(x)$$

mit $\int_0^{\infty} dx \frac{x^{2h-1}}{e^x + 1} = [1 - 2^{1-2h}] \zeta(2h) \Gamma(2h)$
 \uparrow
Riemannsche ζ -Funktion

$$\zeta(2) = \frac{\pi^2}{6}$$

$$\zeta(4) = \frac{\pi^4}{90}$$

$$\zeta(6) = \frac{\pi^6}{945}$$

$$\Gamma(n) = (n-1)!$$

$$I \approx \int_0^{\mu} d\varepsilon f(\varepsilon) + \frac{\pi^2}{6} (k_B T)^2 f'(\mu) + \frac{\pi^4}{360} (k_B T)^4 f'''(\mu) + o[(k_B T)^6]$$

16.1.08

$$N = \frac{3N}{2\varepsilon_F^{3/2}} \int_0^{\mu} d\varepsilon \sqrt{\varepsilon} u(\varepsilon)$$

$$I = \frac{3}{2} \frac{1}{\varepsilon_F^{3/2}} \int_0^{\mu} d\varepsilon \sqrt{\varepsilon} u(\varepsilon)$$

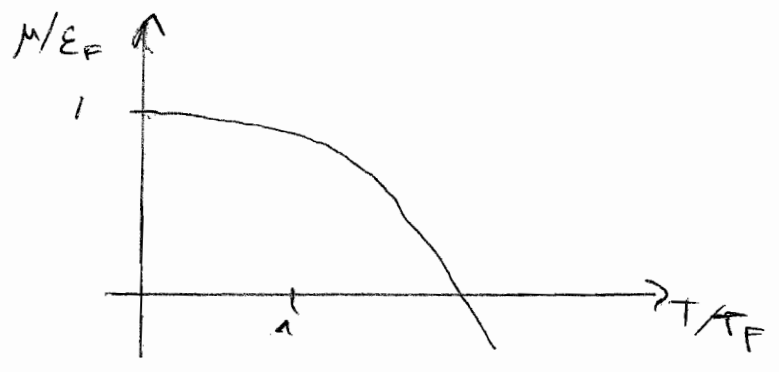
$$= \frac{3}{2} \frac{1}{\varepsilon_F^{3/2}} \left[\frac{2}{3} \mu^{3/2} + \frac{\pi^2}{6} (k_B T)^2 \frac{1}{2} \mu^{-1/2} + o((k_B T)^4) \right]$$

$$= \left(\frac{\mu}{\varepsilon_F} \right)^{3/2} \left[1 + \frac{\pi^2}{8} \left(\frac{k_B T}{\mu} \right)^2 + o[(k_B T)^4] \right]$$

$$\int_{-\infty}^{\infty} \frac{h_B T}{\mu} \ll 1$$

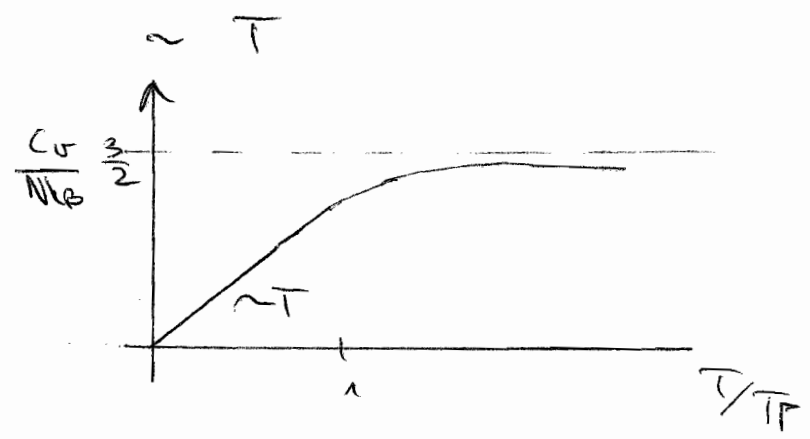
$$(1+x)^{1/m} \approx 1 + \frac{1}{m} x$$

$$\Rightarrow \mu \approx \epsilon_F \left[1 - \frac{\pi^2}{12} \left(\frac{h_B T}{\epsilon_F} \right)^2 \right]$$



$$\begin{aligned} u &= \frac{3}{2} \frac{N}{\epsilon_F^{3/2}} \int_0^{\epsilon_F} \sqrt{\epsilon} \epsilon u(\epsilon) d\epsilon = \dots \text{ (Sommerfeld ...)} \\ &= \frac{3}{5} N \epsilon_F \left[1 + \frac{5\pi^2}{12} \left(\frac{h_B T}{\epsilon_F} \right)^2 + o\left[(h_B T)^4 \right] \right] \end{aligned}$$

$$\Rightarrow C_V = N h_B \frac{\pi^2}{2} \frac{T}{T_F} + o\left[(h_B T)^3 \right] \quad \left(= \frac{dU}{dT} \right)$$



$$pV = \frac{2}{3} u \quad \Rightarrow \quad pV = \frac{2}{3} N \epsilon_F \left[1 + \frac{5\pi^2}{12} \left(\frac{h_B T}{\epsilon_F} \right)^2 + o\left[(h_B T)^4 \right] \right]$$

Zustandsgleichung

5.5 Bose-Einstein-Kondensation

161

N Bosone, $S=0 \rightarrow g=1$

$$\rightarrow N = \sum_p n(\epsilon_p)$$

Kontinuierliches

$$\frac{N}{V} = n = \frac{1}{\lambda_T^3} g^{3/2} \quad (*)$$

- klass. Grenzfall:

$$\mu = k_B T \ln \left[\frac{\lambda_T^3}{v} + o\left(\left(\frac{\lambda_T^3}{v}\right)^2\right) \right]$$

$$\text{wobei } \frac{\lambda_T^3}{v} \ll 1 \rightarrow \mu \leq 0$$

- $T \rightarrow 0$:

alle N Bosone gehen in Grundzustand $\epsilon_0 = 0$
(für ideal. Bose-Gas ohne äußeres Feld)

mathematisch ausgedrückt:

$$\lim_{T \rightarrow 0} n(0) = \lim_{T \rightarrow 0} \frac{1}{e^{-\mu/k_B T} - 1} = N$$

$$\rightarrow z^{-1} = e^{-\beta\mu} \rightarrow 1$$

$$\rightarrow -\frac{\mu}{k_B T} \ll 1 \rightarrow \text{Näherung der exp-Funktion:}$$

$$\frac{1}{e^{-\mu/k_B T} - 1} \approx \frac{1}{1 - \frac{\mu}{k_B T} - 1} \approx N$$

$$\rightarrow \mu \approx -\frac{k_B T}{N} \quad \text{für } T \rightarrow 0$$

$$\rightarrow -\infty \leq \mu \leq 0$$

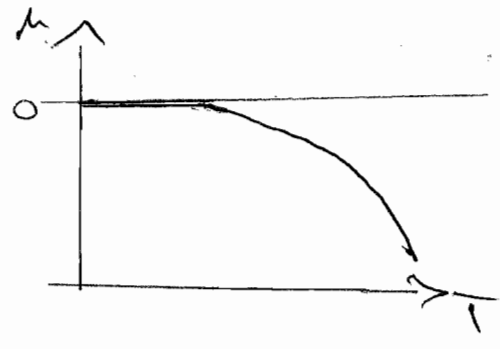
$$0 \leq z < 1$$

hemodyn. lines ($N \rightarrow \infty$)

$\mu = 0$ bis

a) $T = 0$

b) $T = T_c > 0$

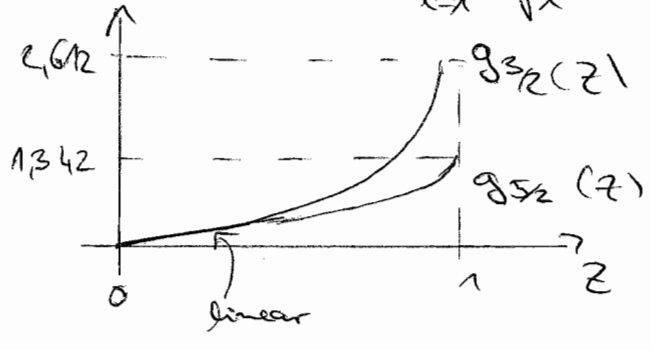


löse implizite gg. $n \lambda_T^3 = g_{3/2}(z)$

$$g_{3/2}(1) = \sum_{k=1}^{\infty} k^{-3/2} = 2,612... = g\left(\frac{3}{2}\right)$$

Ausgang:

$$z \frac{d}{dz} g_{3/2}(z) = g_{1/2}(z) = \sum_{k=1}^{\infty} \frac{z^k}{\sqrt{k}} \xrightarrow{z \rightarrow 1} \infty$$



was passiert für feste Teilchendichte n

$T \downarrow \rightarrow \lambda_T \uparrow \rightarrow z \uparrow$ bis $z=1$

$$n \lambda_{T_c}^3 = \frac{\lambda_{T_c}^3}{v} = g_{3/2}(1) = 2,612$$

$$n_{0,3} T_c(v) = \frac{2 \sigma h^2}{m} \frac{1}{(2,612 v)^{2/3}}$$

mit Temp
(Kondensations-
Temp)

! Was wenn $T < T_c$?

(*) hat keine Lösung

Problem: \sum_p wurde ersetzt Sd^3_p

dabei wurde angenommen, dass die stat. gewichte gleich sind. Dies ist nicht mehr gültig wenn alle Teilchen im Grundzustand sind.

Mathematisch

$$z \rightarrow 1 : n z_T^3 \rightarrow 2,612 \rightarrow u(0) = \lim_{z \rightarrow 1} \frac{1}{z^{-1} - 1} \rightarrow \infty$$

→ betrachte ϵ_0 - Term getrennt

$$N = \sum_p n(\epsilon_p) = n(0) + \sum_{p \neq 0} n(\epsilon_p)$$

$$N = \frac{1}{z^{-1} - 1} + \frac{V}{(2\pi\hbar)^3} Sd^3_p n(\epsilon_p)$$

$$= \underbrace{\frac{1}{z^{-1} - 1}}_{u(0)} + \underbrace{N \frac{V}{z_T^3} g_{3/2}(z)}_{N'}$$

$$\frac{V}{z_T^3} g_{3/2}(z) = \frac{V}{z_T^3} g_{3/2}(z) \frac{z^2}{z^2} \frac{1}{z} \frac{1}{g_{3/2}(1)} = \frac{g_{3/2}(z)}{g_{3/2}(1)} \left(\frac{T}{T_c}\right)^{3/2}$$

$$= \frac{1}{z^{-1} - 1} + N \left(\frac{T}{T_c}\right)^{3/2} \frac{g_{3/2}(z)}{g_{3/2}(1)}$$

$$T > T_c : z < 1 \rightarrow u(0) \ll N$$

$$T < T_c : \mu \sim -\frac{1}{N} \rightarrow z = 1 - o\left(\frac{1}{N}\right) \rightarrow u(0) \sim N$$

$$N \approx n(0) + N \left(\frac{T}{T_c} \right)^{3/2}$$

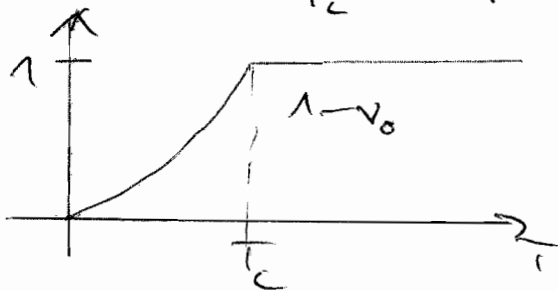
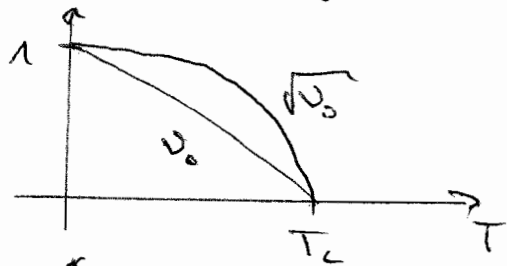
$$\rightarrow \boxed{n(0) = N \left[1 - \left(\frac{T}{T_c} \right)^{3/2} \right]}$$

makroskop. Anzahl von Bosonen im
1-Teilchen - Grundzustand

= Bose-Einstein Kondensat

Kondensat - Anteil

$$v_0 = \frac{n(0)}{N} = \begin{cases} 0 & T > T_c \\ 1 - \left(\frac{T}{T_c} \right)^{3/2} & T \leq T_c \end{cases}$$



Phaseübergang
im Impulsraum
verursacht durch
Unterscheidbarkeit

reiner Quanteneffekt

Bedingungen für Bose-Einstein-Kondensation:

$$n \lambda_T^3 \geq 2,612 = g_{3/2}(1) = \zeta(3/2)$$

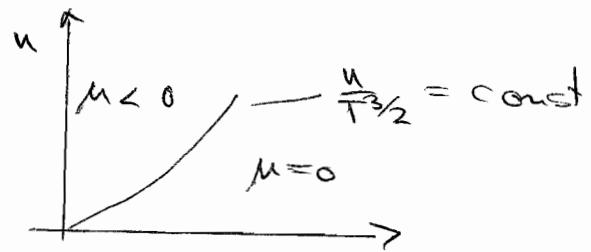
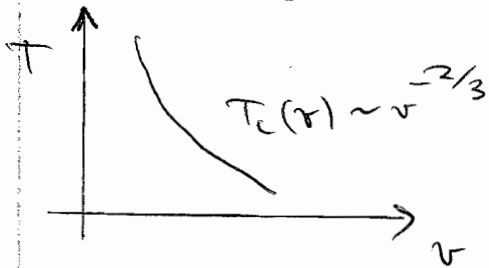
für T fest:

$$\frac{N}{V} \geq n_c = \zeta(3/2) \left(\frac{m}{2\pi\hbar^2} \right)^{3/2} (\hbar^2 T)^{3/2}$$

für n fest.

$$k_B T \leq k_B T_c = \frac{2\alpha t^2}{m} \left(\frac{N/V}{f(3/2)} \right)^{2/3}$$

Phasendiagramm



Zustandsgleichung

$$\frac{P}{k_B T} = \frac{1}{V} \ln Z_g = -\frac{1}{V} \sum_p \ln [1 - z e^{-\beta \epsilon_p}]$$

$$\frac{P}{k_B T} = \frac{1}{V} \ln \left(\frac{1}{1-z} \right) + \frac{1}{\lambda_T^3} g_{5/2}(z)$$

$$= \frac{1}{V} \ln [n(0)+1] + \frac{1}{\lambda_T^3} g_{5/2}(z)$$

weil $n(0)+1 = 1 + \frac{1}{z^{-1}-1}$

$$= 1 + \frac{z}{1-z}$$

thermodyn. limit ($V \rightarrow \infty$)

$$= \frac{1-z+z}{1-z}$$

$$\frac{1}{V} \ln [n(0)+1] \leq \frac{1}{V} \ln [nV] \xrightarrow{V \rightarrow \infty} 0$$

$\leq N = nV$

→ Das Kondensat liefert keine Beitrag zum Druck

Das ist nicht verwunderlich, da alle kond. Teilchen $p=0$ haben

$$p = \frac{k_B T}{\lambda_T^3} g_{5/2}(z) = \frac{k_B T}{\lambda_T^3} \begin{cases} g_{5/2}(z) & T \geq T_c \\ 1,342 = g_{5/2}(1) & T \leq T_c \end{cases}$$

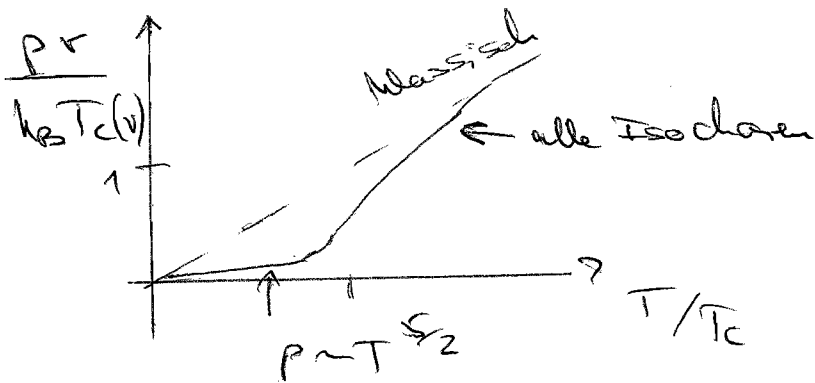
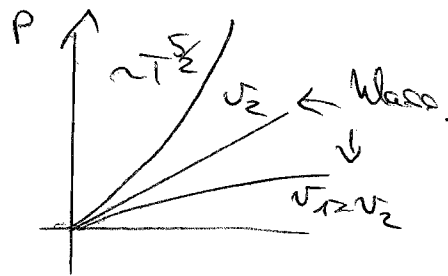
d.h. für $T \leq T_c$: $p \sim T^{5/2}$

p unabhängig von n bzw v

im Koexistenzbereich ist der Druck konstant, wie auch z.B. beim Phasenübergang des van-der-Waals-Gases

krit. Isochore

$$p_c(T) = 1,342 \frac{k_B T}{\lambda_T^3}$$



Klass. Grenzfall $T \geq T_c$:

$$p_r = k_B T \frac{g_{5/2}(z)}{g_{3/2}(z)}$$

$$z \ll 1$$

$$g_{5/2}(z) \sim g_{3/2}(z) = z$$

\Rightarrow gerade

$$\frac{p_V}{k_B T} = \begin{cases} \frac{S(5/2)}{S(3/2)} \left(\frac{T}{T_c}\right)^5 & T < T_c \\ 1 & T > T_c \end{cases}$$

→ Wärmekapazität

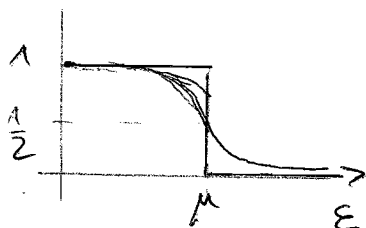
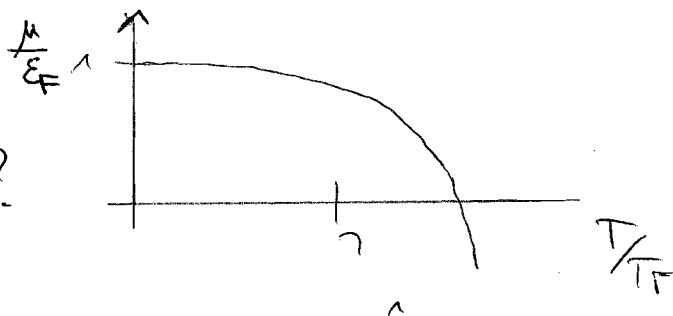
1. $T \leq T_c$

$$\begin{aligned} c_V &= \frac{\partial U}{\partial T} \Big|_V = \frac{\partial}{\partial T} \left[\frac{3}{2} \frac{k_B T V}{\lambda_T^3} S(5/2) \right] \\ &= \frac{3}{2} k_B V \frac{S(5/2)}{\lambda_T^3} + \frac{3}{2} k_B T V S(5/2) \frac{3}{2} \frac{(2\pi m k_B)^{3/2}}{h^3} T^{1/2} \\ &= \frac{15}{4} k_B V S(5/2) \frac{1}{\lambda_T^3} \\ &= \frac{15}{4} N k_B S(5/2) \frac{V}{\lambda_T^3} \\ &= \frac{15}{4} N k_B \frac{S(5/2)}{S(3/2)} \left(\frac{T}{T_c}\right)^{3/2} = 1,925 N k_B \left(\frac{T}{T_c}\right)^{3/2} \end{aligned}$$

18.1.08

Nachtrag

Wie ist der Verlauf $\frac{\mu}{E_F}$ von μ zu verstehen?



$$n_{FD}(E) = \frac{1}{e^{(E-\mu)/k_B T} + 1}$$

$$E = \mu \Rightarrow n_{FD}(\mu) = \frac{1}{2}$$

$$\mu < 0 \Rightarrow n_{FD}(E) < \frac{1}{2} \quad \forall E$$

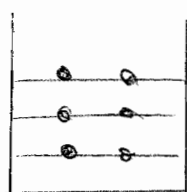
Teilchen wollen nicht mehr im selben (tiefstmöglichen)

Zustand sein → klass. Grenzfall → Boltzmannverteilung

Nachtrag 2: Begriff "Entartung"

- 1) QM : Energieniveau: ϵ_i mit Teil
 2) GM : Gesamtsystem: alle Teilchen wollen in denselben Zustand \rightarrow Quantenstatistik

Entartete Quantengase



Fermiona

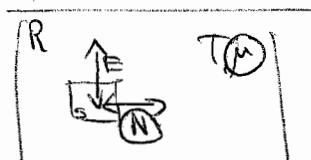


Bosona

Nachtrag 3: "den Potential"

$$dU = T dS - p dV + \mu dN$$

$$\mu = \left. \frac{dU}{dN} \right|_{S, V}$$



$$\mu = E(N+1) - E(N)$$

Energieunterschied durch versch. Teilchenzahl

N -Teilchen in der Falle

$$\frac{1}{e^{\beta(E_0 - \mu)} - 1}$$

$$\begin{matrix} T \rightarrow T_c \\ \mu \rightarrow \epsilon_0 \end{matrix}$$

Bedingung für Kond. in dieser Falle

Wärmekapazität (cont.)

2. $T > T_c$ $\lambda_T^3 = g_{3/2}(\lambda)$ (*)

$$C_V = \frac{\partial}{\partial T} \left[\frac{3}{2} pV \right] = \frac{\partial}{\partial T} \left[\frac{3}{2} N k_B \frac{k_B T}{\lambda^3} g_{5/2}(\lambda) \right]$$

$$= \frac{3}{2} N k_B \nu \left[\frac{\partial}{\partial T} \left(\frac{T}{\lambda^3} \right) g_{5/2}(\lambda) + \frac{T}{\lambda^3} \frac{d g_{5/2}}{d \lambda} \frac{d \lambda}{d T} \right]$$

NR: $\lambda \frac{d g_{5/2}}{d \lambda} = g_{3/2}(\lambda)$

$$C_V = \frac{3}{2} N k_B \nu \left[\frac{5}{2} \frac{1}{\lambda^3} g_{5/2}(\lambda) + \frac{T}{\lambda^3} g_{3/2}(\lambda) \frac{1}{\lambda} \frac{d \lambda}{d T} \right]$$

NR: $0 = \frac{\partial n}{\partial T} \uparrow = g_{3/2}(\lambda) \frac{\partial}{\partial T} \left[\frac{1}{\lambda^3} \right] + \frac{1}{\lambda^3} \frac{d g_{3/2}(\lambda)}{d \lambda} \cdot \frac{d \lambda}{d T}$

$$= \frac{3}{2} \frac{1}{T \lambda^3} g_{3/2}(\lambda) + \frac{1}{\lambda^3} g_{1/2}(\lambda) \cdot \frac{1}{\lambda} \frac{d \lambda}{d T}$$

$$\Rightarrow \frac{1}{\lambda} \frac{d \lambda}{d T} = - \frac{3}{2} \frac{g_{3/2}(\lambda)}{g_{1/2}(\lambda)} \cdot \frac{1}{T}$$

$$C_V = \frac{3}{2} N k_B \left[\frac{5}{2} \frac{g_{5/2}(\lambda)}{g_{3/2}(\lambda)} - \frac{3}{2} \frac{g_{3/2}(\lambda)}{g_{1/2}(\lambda)} \right]$$

\uparrow
 $\nu = \frac{1}{\lambda^3}$

$$\frac{C_V}{N k_B} = \begin{cases} \frac{15}{4} \frac{g_{5/2}(\lambda)}{g_{3/2}(\lambda)} - \frac{3}{4} \frac{g_{3/2}(\lambda)}{g_{1/2}(\lambda)} & T > T_c \\ 1,925 \left(\frac{T}{T_c} \right)^{3/2} & T \leq T_c \end{cases}$$

wie verhält sich C_V wenn $T \rightarrow T_c$?

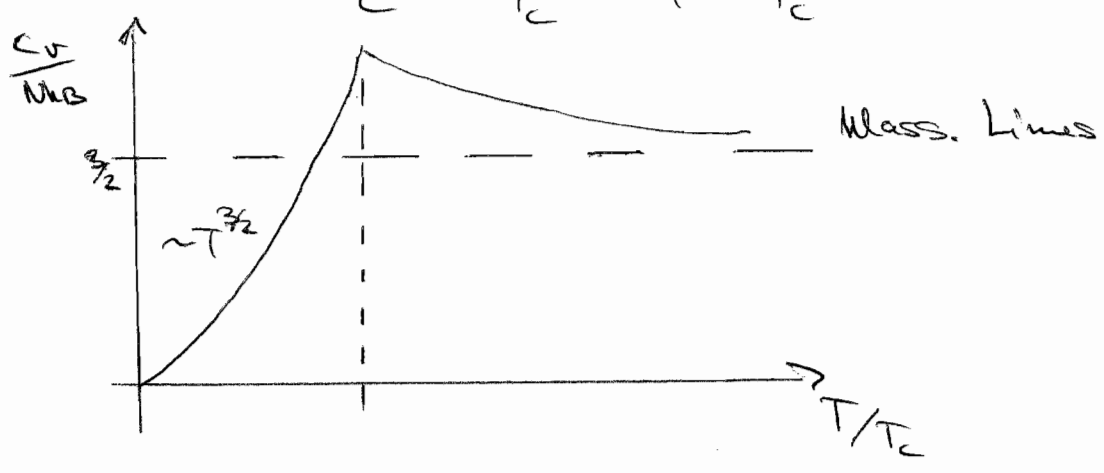
$$\lim_{z \rightarrow 1} g_{DM/2}(z) = \infty$$

$$\lim_{T \rightarrow T_c} \frac{c_v}{Nk_B} = \lim_{T \rightarrow T_c} \frac{c_v}{Nk_B} = \frac{15}{4} \frac{\zeta(5/2)}{\zeta(3/2)} = 1,925 > 3/2$$

→ c_v bei T_c stetig

aber: Sprung in der 1. Ableitung

$$\frac{\partial}{\partial T} \frac{c_v}{Nk_B} = \begin{cases} 2,89/T_c & T \rightarrow T_c^- \\ -0,77/T_c & T \rightarrow T_c^+ \end{cases}$$

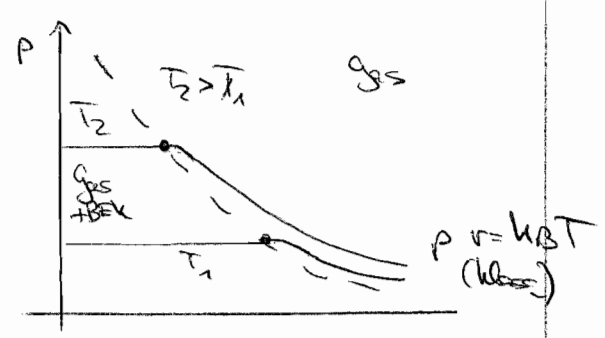


Isothermen

best. Isotherme durch Elimination v.T aus zwei Gleichung

$$p_c(T) = g_{5/2}(1) \frac{k_B T}{\lambda_T^3}$$

$$\frac{1}{r_c} = n_c(T) = \frac{g_{3/2}(1)}{\lambda_T^3}$$



$$\rightarrow p_c r_c^{5/2} = \frac{2\pi h^2}{m} \frac{\zeta(5/2)}{\zeta(3/2)} = \text{const}$$

→ $P \hat{u}$ 1. Ordnung → Clausius-Clapeyron

$$\frac{dp_c}{dT} = \frac{\Delta q}{T \Delta v}$$

$$\begin{aligned} \frac{dp_c}{dT} &= \frac{d}{dT} \left[\frac{k_B T}{\lambda_T^3} S(5/2) \right] \\ &= \frac{5}{2} \frac{k_B S(5/2)}{\lambda_T^3} \\ &= \frac{5}{2} k_B \frac{S(5/2)}{S(3/2)} n_c \end{aligned}$$

$$\Delta v = v_c - 0 = v_c = \frac{1}{n_c}$$

$$\Delta q = \frac{5}{2} k_B T \frac{S(5/2)}{S(3/2)} \quad \text{spez. Umwandlungswärme}$$

$\Delta q = T \Delta S$ wäre zu überprüfen, um PV-Ordnung zu verifizieren

Thermodyn. Potentiale

$$u = \frac{3}{2} pV = \frac{3}{2} \frac{k_B T V}{\lambda_T^3} \begin{cases} g_{5/2}(z) & T \geq T_c \\ g_{5/2}(1) & T \leq T_c \end{cases}$$

$$F = [-k_B T \ln Z_g] + [\mu N]$$

$$= [pV] + [N k_B T \ln z]$$

$$= -k_B T \begin{cases} \frac{V}{\lambda_T^3} g_{5/2}(z) - \ln(z) \cdot N & T \geq T_c \\ \frac{V}{\lambda_T^3} g_{5/2}(1) & T \leq T_c \end{cases}$$

$$TS = u - F$$

$$S = \begin{cases} \frac{5}{2} \frac{k_B V}{\lambda_T^3} g_{5/2}(z) - \ln(z) & T \geq T_c \\ \frac{5}{2} \frac{k_B V}{\lambda_T^3} S(5/2) & T \leq T_c \end{cases}$$

$$v = N v \quad \frac{v}{\lambda_T^3} = \frac{1}{g_{3/2}(1)} \left(\frac{T}{T_c} \right)^{3/2} \quad z = e^{\beta \mu}$$

$$\rightarrow S = \begin{cases} \frac{5}{2} N k_B \frac{g_{5/2}(z)}{g_{3/2}(1)} \left(\frac{T}{T_c} \right)^{3/2} - \frac{\mu}{k_B T} \\ \frac{5}{2} N k_B \frac{S(5/2)}{S(3/2)} \left(\frac{T}{T_c} \right)^{3/2} \end{cases}$$

für $T \leq T_c$: $S \sim T^{3/2} \rightarrow S \xrightarrow{T \rightarrow 0} 0$ B.H.S

$T=0$: $V_0 = 1 \rightarrow$ Kondensat liefert keinen Beitrag zur Entropie

$$\begin{aligned} \Delta S \Big|_{T=T_c} &= S(T_c) \\ &= \frac{5}{2} N k_B T \frac{S(5/2)}{S(3/2)} \end{aligned}$$

$\Rightarrow \Delta q = T \Delta S$ ist erfüllt

\Rightarrow PÜ 1. Ordnung